

290  
1990



თაღლისის ცხიმელსიფეზის გარევაზი  
ТРУДЫ ТБИЛИССКОГО УНИВЕРСИТЕТА

PROCEEDINGS OF TBILISI UNIVERSITY

300

---

ISSN 0376-2637

კიბერნეტიკა. გამოყენებითი მათემატიკა  
КИБЕРНЕТИКА, ПРИКЛАДНАЯ МАТЕМАТИКА  
CYBERNETICS. APPLIED MATHEMATICS

13

თბილისი თბილისი Tbilisi  
1990

თბილისის უნივერსიტეტის გამოცემლობა  
Издательство Тбилисского университета

Tbilisi University Press



თბილისის უნივერსიტეტის მწომები

Proceedings of Tbilisi University

300

კიბერნეტიკა. დამოყენებები და მათ უს  
CYBERNÉTICS. APPLIED MATHEMATICS

თბილისი 1990 Tbilisi



Труды Тбилисского университета  
300

КИБЕРНЕТИКА. ПРИКЛАДНАЯ МАТЕМАТИКА

Тбилиси 1990

Редакционная коллегия

Г.Л.Арсенишвили, Н.Н.Вахания, Р.В.Гамкрелидзе,  
Т.Г.Гачечиладзе, Р.А.Кордзадзе, Р.П.Мегрелишвили  
(секретарь), Г.В.Меладзе, В.В.Чавчанидзе (редактор)

სარეაქციო კოლეგია

გ.არსენიშვილი, რ.გამკრელიძე, თ.გაჩეჩილაძე, ნ.ვახანია,  
რ.კორძაძე, რ.მეგრელიშვილი (მდივანი), ქ.მელაძე, ვ.ჭავ-  
ჭაბუძე (რეაქციონი)

Editorial board

G.Arsenishvili, V.Chavchanidze (editor), T.Gachechiladze,  
R.Gamkrelidze, R.Kordzadze, R.Megrelishvili(secretary),  
H.Meladze, N.Vakhania

Издательство Тбилисского университета, 1990

© ფილისის უნივერსიტეტის გამოცემა, 1990  
Tbilisi University Press, 1990



Труды Тбилисского государственного университета  
им. И. Джавахишвили

კონვერსაციების მრომები

300, 1990

## ПРОГРАММЫ ВЫЯВЛЕНИЯ ЭКСПЕРТНЫХ ЗНАНИЙ И ДИАГНОСТИКИ В СИСТЕМЕ ДИСПАНСЕРНОГО НАБЛЮДЕНИЯ КАРДИОЛОГИЧЕСКИХ БОЛЬНЫХ

О.И. Галицкая

Одной из важнейших задач при разработке экспертной системы диспансерного наблюдения кардиологических больных стала задача выявления медицинских знаний /1/. В данной статье предложена программа *FN*, осуществляющая опрос врача-эксперта с целью создания базы знаний для диагностики кардиологических заболеваний. Опрос проводится в диалоговом режиме по следующему алгоритму:

1. Выдать на экран дисплея список предполагаемых диагнозов и стандартизированную анкету больного, в которой отмечены обнаруженные у пациента симптомы.
  2. На основании отмеченных симптомов врачу предлагается поставить предварительный диагноз (отметить номер его в меню диагнозов).
  3. Выделить наиболее значимые симптомы при постановке диагноза.
  4. Определить те нарушения в организме (патофизиологические состояния), которые могут вызвать указанные симптомы.
  5. Назвать другие симптомы, подтверждающие поставленный

ପାତ୍ରକଣ୍ଠେଲୁଗୁ  
ବିନ୍ଦୁପାତ୍ର  
ପାତ୍ରକଣ୍ଠାକା

диагноз, а также соответствующие нарушения в организме. Здесь и далее предусмотрена возможность указания как одного или нескольких симптомов, так и вообще отсутствия ответа.

6. Перечислить симптомы, не обнаруженные у пациента, но еще более подтверждающие диагноз, и какие патофизиологические состояния они вызывают.

7. Назвать симптомы, обнаруженные у пациента и ставящие диагноз под сомнение.

8. После фиксации всех полученных данных в памяти ЭВМ формируется массив  $S'$  — симптомы для различных состояний и  $FZ$  — массив состояний. На экран дисплея выдается список патофизиологических состояний, выявленных для данного заболевания.

9. Данная операция производится в целях корректировки возможных ошибок, а также выявления значимости каждого симптома для каждого состояния. Операция проводится в цикле для каждого выявленного состояния и разбивается на 4 этапа:

а) на экране печатается номер и название состояния, а также список симптомов, его характеризующих; эксперту предлагается удалить или добавить новые симптомы;

б) эксперту предлагается расположить симптомы по убыванию их значимости для данного состояния;

в) присвоить степень достоверности по пятибалльной системе следующему допущению: состояние  $j$  характеризуется симптомом  $i$ ,  $i = \overline{1, n_j}$ .

г) выдача на экран списка симптомов с их вероятностями, который фиксируется в массиве  $S1$ .

Таким образом, в результате вышеприведенных шагов форми-

руется массив состояний для рассматриваемого заболевания и список симптомов с соответствующими вероятностями, характеризующих каждое из этих состояний. Эти данные могут быть использованы при казуальном подходе к дифференциальной диагностике кардиологических больных в экспертной системе диспансеризации.

IO. Вывод на экран следующих сочетаний симптомов:

главные симптомы,

главные + подтверждающие,

главные + подтверждающие + подтверждающие, не обнаруженные у пациента,

главные + подтверждающие + ставящие диагноз под сомнение.

В каждом случае устанавливается, с какой достоверностью каждая группа симптомов указывает на поставленный диагноз, и как влияет на постановку диагноза каждая группа симптомов.

II. Выдача полученных данных на экран для дополнительной проверки. Запись их в массив  $G$  производится в следующем порядке:

- номер заболевания,
- вероятность,
- группа симптомов.

Таким образом, в процессе диалога производится установление следующих фактов: какие симптомы являются определяющими при постановке диагноза, как влияют на предварительный диагноз симптомы, сопутствующие главным, какие сочетания симптомов являются характерными для данного заболевания, какие изменения (патофизиологические состояния) возникают в организ-

при данном заболевании, какие признаки характеризуют каждое состояние и какова значимость каждого признака для подтверждения у больного данного состояния.

Входными данными являются:

1. Анкета кардиологического больного, записанная на магнитном диске в символьном массиве  $A(35)50$ . Размерность массива - 35 элементов по 50 байтов.
2. Симптомы пациента, записанные на магнитном диске в числовом массиве  $X(12)$ . Данные являются номерами симптомов, размерность - 12 элементов.
3. Список диагнозов на магнитном диске в символьном массиве  $D\chi$ , размерность - 5 элементов по 50 байтов.

Ограничения:

- $N = 35$  - количество элементов массива  $A\chi$ .  
 $N_1 = 12$  - количество элементов массива  $X$ .  
 $M = 6$  - количество элементов массива  $D\chi$ .  
 $N_2 = 11$  - количество состояний.

Программа содержит 9 подпрограмм, выполняющих функции проверки и записи в память ответов на запросы системы:

$DEFFN1$  - запрос о нарушениях в организме, проверка ответа на отсутствие ошибки, запись в память  $F\chi$  и формирование массива симптомов  $S$ .

$DEFFN2$  - проверка на отсутствие ошибки ответа на запрос о номере обнаруженного симптома, формирование массива симптомов  $B$ .

$DEFFN3$  - проверка на отсутствие ошибки при ответе на запрос о номере необнаруженного симптома, формирование массива симптомов  $V$ .

*DEFFN4 + DEFFN5* - формирование матрицы  $G$  и проверка на дублирование признаков.

*DEFFN6* - проверка на отсутствие ошибки при ответе на запрос о вероятности симптома.

*DEFFN7* - запрос о значимости для постановки диагноза различных сочетаний симптомов, проверка на отсутствие ошибки.

*DEFFN8* - печать таблицы групп симптомов.

*DEFFN10* - печать матрицы  $S$ .

Выходными данными являются:

$F(50)50$  - символьный массив выявленных состояний с максимальным числом элементов 50, реальное число определяется индексом ( $i-1$ ).

$S(5,1)$  - числовая матрица номеров симптомов. Максимальное число элементов, соответствующих каждому состоянию, 5, реальное число определяется с помощью индексного массива  $I(1)$ .

$S(5,1)$  - числовая матрица значимостей симптомов с максимальным числом элементов столбца 5: Реальное число определяется с помощью индексного массива  $I(1)$ .

$G(50,50)$  - числовая матрица, определяющая связь между диагнозом, значением группы симптомов для данного заболевания и всей группой симптомов. Максимальное число элементов в строке - 50, в столбце - 50, реальное число определяется с помощью индексного массива ( $j$ ).

Программа написана на языке Бейсик и реализована на ЭВМ "Искра - 226" /2,3/.

Характеристики симптомов, полученные в результате реализации вышеописанной программы, наряду с симптомами пациента явились входными данными для программы  $DD$ , реализующей когнитивный подход к дифференциальной диагностике кардиологи-

ческих больных в экспертной системе /I/.

Согласно алгоритму, изложенному в /I/, программа  $\mathcal{D}\mathcal{D}\mathcal{D}$  на выходе выдает следующие данные:

1. Матрицу значимостей симптомов до и после опроса экспертов.
2. Массив показателей доверия для каждого патофизиологического состояния.
3. Массив патофизиологических состояний, идентифицированных системой как "принятые".
4. Стартовые состояния.
5. Траектории развития болезни.
6. Окончательный диагноз системы.

Программы  $F\mathcal{V}$  и  $\mathcal{D}\mathcal{D}\mathcal{D}$  включены в программное обеспечение экспертной системы диспансерного наблюдения кардиологических больных.

Поступила 25.XII.1989

Проблемная лаборатория физической кибернетики

#### Литература

1. О.И.Галицкая. Принципы построения экспертной системы диспансерного наблюдения кардиологических больных. Труды Тбилисского университета. Кибернетика. Прикладная математика. Тбилиси, 1988.
2. Б.Уолш. Программирование на Бейонике. М., Радио и связь, 1988.
3. Г.Блэнд. Основы программирования на языке Бейоник в стандарте МХ. М., Финансы и статистика, 1989.

### ၃. ပုဂ္ဂန်ပုဂ္ဂန်

ဤပုဂ္ဂန်ပုဂ္ဂန် ဖော်တော် စု စုလေဆိပ်ကဲရေး သုခွဲလောင်း အောက်လာရေး  
မှတ်တမ်းဝန်ကြီး အသုစ္တရွားဝန် စုလေဆိပ်ကဲရေး စုအောက်လာရေး ပုဂ္ဂန်ပုဂ္ဂန်

### ဖော်ဆိပ်

#### ၁၅၈၉၂၄

ပုဂ္ဂန်ပုဂ္ဂန် အရှင်ဗိုလ်ချုပ် ၅၇၀ အောက်လာရေး၊ ရုပ်ပိုင်း နိုင်ငံတော် ပုဂ္ဂန်-  
ကျော်ကျော် အသုစ္တရွားဝန် စုလေဆိပ်ကဲရေး စုအောက်လာရေး ဦးပြော်စွာရေး  
ဦးပြော်စွာရေး အောက်လာရေး ဦးပြော်စွာရေး အောက်လာရေး ပုဂ္ဂန်ပုဂ္ဂန်

O.Galitskaya

### PROGRAMS FOR BRINGING OUT EXPERT KNOWLEDGE IN THE SYSTEM OF DISPENSARIZATION OF CARDIOLOGICAL PATIENTS

#### Summary

The paper discusses two programs included in the software of  
the expert system of dispensarization of cardiological patients.

Труды Тбилисского государственного университета  
им. И. Джавахишвили

№3, გამოცემის სახ. მიმღების სახელმწიფო  
უნივერსიტეტის მიმღები  
300, 1990

НЕКОТОРЫЕ ЗАДАЧИ ОПТИМАЛЬНОГО УПРАВЛЕНИЯ, СВЯЗАННЫЕ С  
УПРУГИМ РАВНОВЕСИЕМ ТЕЛ, ПРИ ЧИСТОМ СДВИГЕ

Д.Ш.Девадзе, Н.Г.Хомасуридзе

I<sup>0</sup>. Постановка задачи оптимального управления при чистом сдвиге. Пусть  $\bar{G} = \{0 \leq x \leq a, 0 \leq y \leq b, 0 \leq z \leq c\}$  – упругое тело.  $U(u, v, w)$  – вектор перемещения при упругой деформации с компонентами  $u, v, w$ , соответственно, вдоль  $x, y, z$ .

$\sigma_x, \sigma_y, \sigma_z$  – нормальные напряжения на соответствующих площадках,  $\tau_y, \tau_z, \tau_x$  – касательные напряжения на указанных индексом площадках,  $\mathcal{Z}$  – массовая сила, относенная к единице объема  $|I|$ .

Будем рассматривать следующие граничные условия:

$$z=0, c: \tau_z = 0; \quad u=0; \quad v=0; \quad (I.1)$$

$$x=0: \tau_y = 0 \quad \text{или} \quad v=0; \quad \tau_x = 0 \quad \text{или} \quad u=0;$$

$$\tau_x = f_1(y) \quad \text{или} \quad w = f_1(y); \quad (I.2)$$

$$x=a: \tau_y = 0 \quad \text{или} \quad v=0; \quad \tau_x = 0 \quad \text{или} \quad u=0; \quad (I.3)$$

$$T_z = f_2(y) \quad \text{или} \quad w = f_2(y) \quad \text{или} \quad w(a, y) = \delta W(x_0, y) + f_2(y);$$

$$y=0: \tau_y = 0 \quad \text{или} \quad u=0; \quad \tau_y = 0 \quad \text{или} \quad v=0; \quad (I.4)$$

$$\tau_z = f_3(x) \quad \text{или} \quad w = f_3(x);$$

$$y = \delta: T_y = 0 \quad \text{или} \quad u = 0; \quad T_y = 0 \quad \text{или} \quad v = 0; \quad (I.5)$$

$$T_z = f_4(x) \quad \text{или} \quad w = f_4(x);$$

где  $f_i$  ( $i=1, 4$ ) — поверхностные силы,  $\delta$  — положительная константа,  $x_0$  — фиксированное число,  $0 < x_0 < a$ .

Потенциальная энергия деформированного упругого тела выражается следующим образом [2]:

$$I_1 = \iiint_G \frac{1}{2H} \left[ T_x^2 + T_y^2 + 2H T_z \right] dx dy dz. \quad (I.6)$$

Рассмотрим также функционал, соответствующий деформативности упругого деформированного тела:

$$I_2 = \int_0^a \int_0^b w(x, y) dx dy. \quad (I.7)$$

Поставим следующие задачи:

Задача А. Определить такую массовую силу  $T_z$  из промежутка  $[\beta_1, \beta_2]$ , при которой равновесие тела удовлетворяет условиям (I.1)–(I.5) и минимизирует потенциальную энергию (деформативность).

Здесь предполагается, что тело  $\bar{D}$  неоднородно,  $H(x, y)$  — заданная функция,  $\beta_1, \beta_2$  — заданные числа.

Задача Б. Определить функцию  $H$  ( $\beta_1 \leq H(x, y) \leq \beta_2$ ) тела  $\bar{D}$  при заданных массовых силах таким образом, чтобы деформированное состояние имело минимальную потенциальную энергию (деформативность).

Система уравнений равновесия упругого тела имеет следующий вид [1]:

$$\frac{\partial T_x}{\partial x} + \frac{\partial T_y}{\partial y} + \frac{\partial T_z}{\partial z} = 0, \quad (I.8)$$

$$\frac{\partial Y_x}{\partial x} + \frac{\partial Y_y}{\partial y} + \frac{\partial Y_z}{\partial z} = 0;$$

$$\frac{\partial Z_x}{\partial x} + \frac{\partial Z_y}{\partial y} + \frac{\partial Z_z}{\partial z} = -Z(x, y).$$

Уравнения закона Гука имеют вид:

$$X_x = A \left( \frac{\partial u}{\partial x} + \frac{\partial v}{\partial y} + \frac{\partial w}{\partial z} \right) + 2\mu \frac{\partial u}{\partial x}, \quad (I.9)$$

$$Y_y = A \left( \frac{\partial u}{\partial x} + \frac{\partial v}{\partial y} + \frac{\partial w}{\partial z} \right) + 2\mu \frac{\partial v}{\partial y},$$

$$Z_z = A \left( \frac{\partial u}{\partial x} + \frac{\partial v}{\partial y} + \frac{\partial w}{\partial z} \right) + 2\mu \frac{\partial w}{\partial z},$$

$$X_y = Y_x = \mu \left( \frac{\partial v}{\partial x} + \frac{\partial u}{\partial y} \right), \quad (I.10)$$

$$X_z = Z_x = \mu \left( \frac{\partial u}{\partial z} + \frac{\partial w}{\partial x} \right),$$

$$Y_z = Z_y = \mu \left( \frac{\partial w}{\partial y} + \frac{\partial v}{\partial z} \right),$$

где  $A = A(x, y) = \mu E / ((1-\nu)(1+\nu))$ , — модуль упругости,  $\mu = \mu(x, y)$  — модуль сдвига,  $\nu = \nu(x, y)$  — коэффициент Пуассона.

Заметим, что ввиду (I.9), граничные условия (I.1) можно записать в следующем виде:

$$z=0, c : u=0, \quad v=0, \quad \frac{\partial w}{\partial z}=0. \quad (I.11)$$

Решение задачи (I.1)-(I.5), (I.8)-(I.10) будем искать в виде:

$$u=0, \quad v=0, \quad w=W(x, y). \quad (I.12)$$

Можно доказать, что если  $f_i$  ( $i=1, 4$ ) — непрерывные функции, то задача (I.1)-(I.5), (I.8)-(I.10) будет иметь единственное решение.

Ввиду того, что вектор перемещения  $\mathcal{U}(0,0, w(x,y))$  не зависит от  $z$ , из (I.8)-(I.10) получим:

$$\begin{aligned} \frac{\partial \mathcal{X}_x}{\partial x} + \frac{\partial \mathcal{X}_y}{\partial y} &= -\mathcal{Z}(x,y), \\ \mathcal{X}_x = \mathcal{Y}_x = 0, \quad \mathcal{X}_y = \mathcal{Y}_x &= 0, \\ \mathcal{Z}_x = \mathcal{Z}_y = f_1 \frac{\partial w}{\partial x}, \\ \mathcal{Z}_y = \mathcal{Y}_z = f_1 \frac{\partial w}{\partial y}. \end{aligned} \tag{I.13}$$

Из равенства (I.13) для определения функции  $w(x,y)$  получим следующее уравнение:

$$\frac{\partial}{\partial x} \left( f_1 \frac{\partial w}{\partial x} \right), \quad \frac{\partial}{\partial y} \left( f_1 \frac{\partial w}{\partial y} \right) = -\mathcal{Z}(x,y). \tag{I.14}$$

Ввиду того, что вектор перемещения  $\mathcal{U}(0,0, w(x,y))$  не зависит от  $z$ , рассмотрим произвольное, перпендикулярное оси  $z$ , сечение  $\Omega$  области  $G$ . Границные условия для этого сечения будут иметь вид:

$$\begin{aligned} x=0 : f_1 \frac{\partial w}{\partial x} &= f_1(y) \quad \text{или} \quad w=f_1(y); \\ x=a : f_1 \frac{\partial w}{\partial x} &= f_2(y) \quad \text{или} \quad w=f_2(y) \quad \text{или} \\ &\quad w(a,y)=\delta w(x_0,y)+f_2(y); \\ y=0 : f_1 \frac{\partial w}{\partial y} &= f_3(x) \quad \text{или} \quad w=f_3(x); \\ y=b : f_1 \frac{\partial w}{\partial y} &= f_4(x) \quad \text{или} \quad w=f_4(x). \end{aligned} \tag{I.15}$$

Решая уравнение (I.14) при граничных условиях (I.15), из (I.12) можно определить все компоненты перемещения и, следовательно, из системы (I.9), (I.10) – все составляющие тензора напряжения. Таким образом, тензор напряжения будет определен в любой точке упругого тела.

Задача А и задача Б связаны с исследованием задач оптимального управления для уравнений Пуассона (I.14), с краевыми условиями Римана–Гильберта или с нелокальными краевыми условиями Бицадзе–Самарского (I.15) при интегральных критериях качества (I.6) или (I.7).

Получение необходимых и достаточных условий оптимальности продемонстрируем для линейной задачи оптимального управления уравнений Пуассона с нелокальными краевыми условиями.

## 2<sup>0</sup>. Необходимые и достаточные условия оптимальности.

Пусть  $\bar{G}$  – прямоугольник,  $\bar{G} = [0, a] \times [0, b]$ ,  $\Gamma$  – граница прямоугольной области  $\gamma = \{(x, y) : 0 \leq y \leq b\}$ ,  $\gamma'_o = \{\gamma_o, y : 0 \leq y \leq b\}$ ,  $x_o$  – фиксированная точка из  $[0, a]$ ,  $V$  – ограниченное подмножество из  $R^2$ ,  $\Omega$  – множество измеримых функций  $V : G \rightarrow V$ .

Для каждого фиксированного  $v \in \Omega$  в области  $G$  рассмотрим задачу Бицадзе–Самарского для уравнения Пуассона

$$\frac{\partial^2 u}{\partial x^2} + \frac{\partial^2 u}{\partial y^2} = a(x, y)v + b(x, y), \quad (x, y) \in G, \quad (2.1)$$

$$u(x, y) = \varphi_i(x, y), \quad (x, y) \in \Gamma \setminus \gamma,$$

$$u(a, y) = \delta u(x_o, y), \quad 0 \leq y \leq b.$$

$$0 < \delta = \text{const.} \quad (2.2)$$

где  $a, b \in L_2(G)$ ,  $\varphi_1$  — функция класса Липшица.  
Тогда решение задачи (2.1), (2.2) существует, единственно и принадлежит пространству  $W_2^2(G) \cap W_2^1(\bar{G})$ . /3/.

Рассмотрим функционал

$$I(V) = \iint_G [c(x,y)u(x,y) + d(x,y)v(x,y)] dx dy, \quad (2.3)$$

$$c, d \in L_2(G),$$

и поставим следующую задачу оптимального управления: найти функцию  $v_0 \in \mathcal{R}$ , при которой решение краевой задачи (2.1), (2.2) придает функционалу (2.3) минимальное значение.

$v_0$  — оптимальное управление,  $u_0(x,y) = u(x,y, v_0(x,y))$  — оптимальное решение,  $(v_0, u_0)$  — оптимальная пара.

Пусть  $v_0 \in \mathcal{R}$  — оптимальное управление,  $v_3 \in \mathcal{R}$  — произвольное допустимое управление,  $u_0$  и  $u_\epsilon$  соответствующие решения задачи (2.1), (2.2). Введем обозначения  $\Delta V = v_3 - v_0$ ,  $\Delta u = u_\epsilon - u_0$ . Тогда получаем следующую задачу:

$$\frac{\partial^2 \Delta u}{\partial x^2} + \frac{\partial^2 \Delta u}{\partial y^2} = a(x,y) \Delta V, \quad (x,y) \in G, \quad (2.4)$$

$$\Delta u(x,y) = 0, \quad (x,y) \in \Gamma \setminus \gamma,$$

$$\Delta u(a,y) = \delta \Delta u(x_0, y), \quad 0 \leq y \leq b. \quad (2.5)$$

Пусть  $\varphi \neq 0$  — произвольная интегрируемая функция.

Умножая уравнение (2.4) на  $\varphi$  и интегрируя по области  $G$ , получим следующее равенство:

$$\begin{aligned} & \iint_G \varphi(x,y) \left[ \frac{\partial^2 \Delta u}{\partial x^2} + \frac{\partial^2 \Delta u}{\partial y^2} \right] dx dy = \\ & = \iint_G a(x,y) \varphi(x,y) \Delta V dx dy. \end{aligned} \quad (2.6)$$

ବାଲକୋତ୍ସମ୍ପଦ
୭୯୩୬୩୩୩୦
୧୦୧୯୦୨୦୨୨୧

При фиксированных  $V_0$  и  $V_\varepsilon$  найдем приращение функционала (2.3):

$$\begin{aligned} \Delta I &= I(U_\varepsilon) - I(U_0) = \\ &= \iint_G [c(x,y)\Delta u + d(x,y)\Delta v] dx dy. \end{aligned} \quad (2.7)$$

Учитывая соотношения (2.6) и (2.7), для приращения  $\Delta I$  получаем следующее выражение:

$$\begin{aligned} \Delta I &= \iint_G [\psi(x,y) \left( \frac{\partial^2 \Delta u}{\partial x^2} + \frac{\partial^2 \Delta v}{\partial y^2} \right) + c(x,y)\Delta u] dx dy + \\ &\quad + \iint_G [d(x,y) - a(x,y)\psi] \Delta v dx dy. \end{aligned} \quad (2.8)$$

Для построения сопряженного уравнения (для определения  $\psi$ ) проведем следующие преобразования:

$$\begin{aligned} &\int_0^a \int_0^b \psi(x,y) \frac{\partial^2 u}{\partial x^2} dx dy = \int_0^b \left( \int_0^{x_0} \psi(x,y) \frac{\partial^2 u}{\partial x^2} dx + \int_{x_0}^a \psi(x,y) \frac{\partial^2 u}{\partial x^2} dx \right) dy = \\ &= \int_0^b [\psi(a,y) u'_x(a,y) - \psi(0,y) u'_x(0,y) + (\psi(x_0^-, y) - \psi(x_0^+, y)) u'_x(x_0, y) + \\ &\quad + (\psi_x'(x_0^+, y) - \psi_x'(x_0^-, y) - 6\psi_x'(0, y)) u(0, y) + \\ &\quad + \int_0^{x_0} \frac{\partial^2 \psi}{\partial x^2} u(x,y) dx + \int_{x_0}^a \frac{\partial^2 \psi}{\partial x^2} u(x,y) dx] dy. \end{aligned}$$

Аналогичными преобразованиями получаем:

$$\int_0^a \int_0^b \varphi(x, y) \frac{\partial^2 u}{\partial y^2} dx dy = \\ = \int_0^a \left[ \varphi(x, b) u'_y(x, b) - \varphi(x, 0) u'_y(x, 0) + \int_0^b \frac{\partial^2 \varphi}{\partial y^2} u(x, y) dy \right] dx.$$

Учитывая полученные выше тождества, заключаем, что если  $\varphi$  – решение следующей задачи:

$$\frac{\partial^2 \varphi}{\partial x^2} + \frac{\partial^2 \varphi}{\partial y^2} = -c(x, y), \quad (x, y) \in G \setminus \gamma_0, \quad (2.9)$$

$$\varphi(x, y) = 0, \quad (x, y) \in \Gamma,$$

$$\varphi'_x(x_0^+, y) - \varphi'_x(x_0^-, y) - \delta \varphi'_x(a, y) = 0, \quad 0 \leq y \leq b, \quad (2.10)$$

то приращение функционала  $\Delta I$  (2.8) примет вид:

$$\Delta I = \iint_G [d(x, y) - a(x, y) \varphi(x, y)] \Delta v dx dy.$$

Справедлива следующая теорема:

Теорема I. Пусть  $\varphi_0$  – решение сопряженной задачи (2.9), (2.10), тогда для оптимальности  $(v_0, u_0)$  необходимо и достаточно почти всюду на  $G$  выполнение следующего соотношения:

$$\inf_{v \in V} \left[ d(x, y) - a(x, y) \varphi(x, y) \right] v = \\ = [d(x, y) - a(x, y) \varphi(x, y)] v_0(x, y). \quad (2.11)$$

3°. Существование и единственность решения сопряженной задачи. Исследуем задачу (2.9), (2.10). Введем обозначение  $f(x, y) = -c(x, y)$  и уравнение (2.9) перепишем уже в следующем виде:

$$\frac{\partial^2 \psi}{\partial x^2} + \frac{\partial^2 \psi}{\partial y^2} = f(x, y), \quad (x, y) \in G \setminus \gamma_0 \quad (3.1)$$

Для доказательства существования решения задачи (3.1), (2.10) воспользуемся методом разделения переменных /4/.

Пусть функция  $f \in L_2 G$  представляется в виде сходящегося ряда по системе  $\{\sin \frac{k\pi x}{a}\}$ ,  $\{\sin \frac{k\pi y}{b}\}$ , т.е.

$$f(x, y) = \sum_{m=1}^{\infty} \sum_{n=1}^{\infty} f_m \cdot \sin \frac{knx}{a} \sin \frac{kny}{b}.$$

Решение неоднородного уравнения (3.1) представим в виде  $\psi = u - v$ , где  $v$  — частное решение

$$v(x, y) = \sum_{n=1}^{\infty} \sum_{m=1}^{\infty} \frac{-f_{mn}}{\left(\frac{kn}{a}\right)^2 + \left(\frac{km}{b}\right)^2} \sin \frac{knx}{a} \sin \frac{kny}{b},$$

а  $u$  — решение следующей неоднородной краевой задачи:

$$\frac{\partial^2 u}{\partial x^2} + \frac{\partial^2 u}{\partial y^2} = 0, \quad (x, y) \in G \setminus \gamma_0, \quad (3.2)$$

$$u(x, y) = 0, \quad (x, y) \in \Gamma, \quad (3.3)$$

$$u'_x(x_0^+, y) - u'_x(x_0^-, y) - \delta u'_x(a, y) = \\ = \sum_{m=1}^{\infty} \sum_{n=1}^{\infty} \frac{\frac{kn}{a}}{\left(\frac{kn}{a}\right)^2 + \left(\frac{km}{b}\right)^2} \frac{(-1)^n f_{mn}}{\left(\frac{kn}{a}\right)^2 + \left(\frac{km}{b}\right)^2} \sin \frac{kny}{b}. \quad (3.4)$$



Значения неизвестной на  $\gamma_0$  функции  $U(x_0, y)$  обозначим через  $\varphi(y)$  и пусть она определяется в виде сходящегося ряда:

$$\varphi(y) = \sum_{k=1}^{\infty} \beta_k \sin \frac{k\pi y}{b}, \quad \beta_k = \frac{2}{b} \int_0^b \varphi(y) \sin \frac{k\pi y}{b} dy.$$

Существование решения задачи (3.2)-(3.4) будет доказано, если определим значения числа  $\beta_k$ . Для этого рассмотрим следующие граничные задачи:

$$\frac{\partial^2 U_\alpha}{\partial x^2} + \frac{\partial^2 U_\alpha}{\partial y^2} = 0, \quad (x, y) \in G_\alpha, \quad (3.5)$$

$$U_\alpha(x, y) = 0, \quad (x, y) \in \partial G_\alpha \setminus \gamma_0,$$

$$U_\alpha(x_0, y) = \varphi(y), \quad y \in \gamma_0,$$

где  $\alpha = 1, 2$ ;  $G_1 \cup \gamma_0 \cup G_2 = G$ .

Если  $\varphi$  — функция класса Липшица, тогда существует решение  $U_\alpha$  из пространства  $W_2^{3/2}(G_\alpha) \cap W_2^{3/2}(\bar{G}_\alpha)$  и, следовательно, решение задачи (3.2)-(3.4) будет иметь вид:

$$U(x, y) = \begin{cases} U_1(x, y), & (x, y) \in G_1, \\ U_2(x, y), & (x, y) \in G_2, \\ \varphi(y) & y \in \gamma_0. \end{cases}$$

В прямоугольниках  $G_1$  и  $G_2$  решения уравнения (3.5) найдем с помощью метода разделения переменных /4/:

$$U_1(x, y) = \sum_{k=1}^{\infty} \beta_k \frac{\sin \frac{k\pi x}{b}}{\sin \frac{k\pi x_0}{b}} \cdot \sin \frac{k\pi y}{b},$$

$$u_x(x, y) = \sum_{k=1}^{\infty} \beta_k \frac{sh \frac{k\pi(a-x)}{b}}{sh \frac{k\pi(a-x_0)}{b}} \sin \frac{k\pi y}{b}$$

Учитывая эти представления, из условия (3.4) будем иметь:

$$\beta_k = \sum_{n=1}^{\infty} \frac{(-1)^n a \beta^3 \delta \cdot n}{k\pi^2 (k^2 a^2 + b^2 n^2) \int \frac{b}{sh \frac{k\pi(a-x_0)}{b}}} f_{kn} \\ - cth \frac{k\pi(a-x_0)}{b} - cth \frac{k\pi x_0}{b} \quad (3.6)$$

Тем самым построена функция  $\Psi(y)$ . Этим заканчивается доказательство существования решения.

Из представления (3.6) сразу видно, что однородная задача (3.1), (2.10) ( $f(x, y) = 0$ ) имеет только тривиальное решение, следовательно, задача имеет единственное решение.

Поступила 26. XII. 1989

Кафедра математического обеспечения ЭВМ

#### Литература

1. Н.И.Мусхелишвили. Некоторые основные задачи математической теории упругости. - М.:Наука, 1966. - 707 с.
2. С.П.Тимошенко, Дж.Гудье. Теория упругости. - М.:Наука, 1975. - 576 с.
3. Г.В.Меладзе, Т.С.Ццунаева, Д.Ш.Девадзе. Задача оптималь-



ного управления для квазилинейных дифференциальных уравнений первого порядка на плоскости с нелокальными краевыми условиями. Тбилис. гос.ун-т. - Тбилиси, 1987. - 61 с.  
Деп. в Груз. НИИНТИ 25.12.1987, № 372-Г87.

4. В.И.Лебедев, В.И.Агошков. Операторы Пуанкаре-Стеклова и их приложения в анализе. - М.: ОВМ АН СССР, 1983.

ବେଳାରୁ, ବେଳାରୁ

ପାଇଁବି ଦେଖିବ କରିବ ବାବାଙ୍କରିବ କରିଯାଉ କରିବିଲୁଗାରେ କରିବିଲୁଗାରେ

Digitized by srujanika@gmail.com

D.Devadze, N.Khomasuridze

## SOME PROBLEMS OF OPTIMAL CONTROL CONNECTED WITH ELASTIC EQUILIBRIUM OF BODIES UNDER PURE BENDING

## Summary

The paper deals with some problems of optimal control connected with the elastic equilibrium of a rectangular parallelepiped under its pure bending (antiplane strain). The directing tendency is the mass force which minimizes the elastic deformability of the body under consideration.

Труды Тбилисского государственного университета  
им. И.Джавахишвили

№3. ხავების სახ. ინიციატივის  
ენერგეტიკის მიმდევი  
300, 1990

ДВУХФАКТОРНАЯ МОДЕЛЬ ЭКОНОМИЧЕСКОГО РОСТА  
Н.Р.Николадзе, К.Т.Микеладзе

Динамика физического объема и изменение качественного уровня и состава производственных ресурсов образуют предпосылки процесса производства, а выпуск продукции является завершением этого процесса. В этом процессе производственные ресурсы выступают в качестве непосредственных факторов производства, их экономический потенциал реализуется в выпуске физического объема продукции определенного состава и качества. Предметом факторного анализа и прогноза являются определение и предвидение влияния физического объема и динамики факторов производства на физический объем и динамику продукции, а также взаимодействия самих факторов производства.

Предположим, что объемы валового общественного продукта (ВОП), производственных материальных затрат (ПМЗ) и основных производственных фондов (ОПФ) в моменты времени

$t_0 < t_1 < \dots < t_k$  имеют вид функции  $e^{y_i}$ ,  $i = \overline{0, k}$ ,  $k \geq 2$ .

С экономической точки зрения процессы формирования категорий ВОП, ПМЗ и ОПФ находятся в таком взаимоотношении, что требуется минимизация колебаний в скорости роста объема этих показателей в данном регионе при условии достижения целевых значений. Иными словами, задача состоит в отыскании такой

оптимальной траектории  $e^{f(t)}$ , чтобы она достигала целевых показателей, но при этом минимизировала колебания скорости роста. Математическая формулировка этой целевой установки оптимального управления процессом стыковки основных показателей может быть найдена следующим образом: найти

$$\min \int_{\bar{t}_0}^{\bar{t}_K} |f''(t)|^q dt$$

при условии

$$e^{f(\bar{t}_i)} = y_i$$

$$e^{f(\bar{t}_0)} < e,$$

где  $i = 0, K$ .

Данная функция оценивает колебания скорости изменения роста, то есть  $f''(t)$ , на временном интервале  $[\bar{t}_0, \bar{t}_K]$  и, по всей вероятности, дает разумный критерий с точки зрения эффективного функционирования стационарного процесса формирования ВОП, ПМЗ и ОПФ региона – в едином народнохозяйственном комплексе страны.

Очевидным решением этой задачи является функция, с исходным значением  $\exp y_0$ , стремящаяся далее с постоянной скоростью к  $\exp y_1$ , затем с требуемой постоянной скоростью к  $\exp y_2$  и т.д. Такая траектория подразумевает, что  $f(x)$  является кусочно-линейной функцией, которая с учетом условия непрерывности задается линейным сплайнами.

Если  $\int_{\bar{t}_0}^{\bar{t}_K} |f''(t)|^q dt$  определен, то скорость роста оказывается неопределенной в точках промежутка  $[\bar{t}_i, \bar{t}_{i+1}]$ , поскольку в этих точках закрытого интервала скорость роста претерпевает скачки. Наличие таких скачкообразных разрывов практически недопустимо по тем причинам, что плановая социа-

листическая экономика обуславливает пропорциональное управляемое развитие всех отраслей народного хозяйства страны. Не теряя общности, потребуем такие  $f(t)$ , которые удовлетворяют условия непрерывности первых и вторых производных на  $\left[\bar{t}_o, \bar{t}_K\right]$ . Это обеспечивает "гладкость" скроости роста. Решением задачи будет кубический сплайн, интерполирующий значения ординат  $y = \{y_0, y_1, \dots, y_K\}$  на  $t = \bar{t}, \bar{T}$  и экстраполирующий на те же самые промежутки времени  $t = \bar{T} + \bar{t}, \bar{T}^*$ . Таким образом, наше предположение о том, что при помощи кубического сплайна имеется "наилучшее приближение" к функционированию рассматриваемого реального процесса, подтверждает его свойства "минимальной кривизны".

Теперь рассмотрим последовательность построения кубической сплайн-функции (алгоритм), в которой полностью укладывается предусмотренная моделью схема решения вышепоставленной задачи. Введем следующие обозначения:  $x$  - ОПФ,  $y$  - ПМЭ,  $z$  - ВОП.  $f(x, y, z_f)$  показывает промежуточное значение прогнозируемого показателя от одной начальной узловой точки сетки сплайна к другой.

Рассмотрим прямоугольник

$$\mathcal{D} \{(x, y); a \leq x \leq b; c \leq y \leq d\} \quad (1)$$

и построим в  $\mathcal{D}$  сетку

$$\begin{aligned} \mathcal{D}_n = & \{(x_k, y_\ell) : a = x_0 < x_1 < \dots < x_n = b, \\ & c = y_0 < y_1 < \dots < y_m = d\}. \end{aligned} \quad (2)$$

Задача кусочно-кубической интерполяции по значениям функции



$f(x, y)$  в точках  $\mathcal{D}_h$  состоит в построении такой функции  $S(x, y, z_f)$ , которая удовлетворяет следующим условиям:

1.  $S(x, y, z_f) \in C^2(\mathcal{D})$ , где  $C^2(\mathcal{D})$  – класс дважды непрерывно производных функций, определенных на  $\mathcal{D}$ .

2. В каждой узловой точке  $\mathcal{D}_h$  – сетки  $S(x, y, z_f)$  представляет двойной кубический полином следующего вида:

$$S(x, y, z_f) / \{(x_k, y_\ell)\} = \sum_{i=0}^3 \sum_{j=0}^3 S_{ij}^{k,\ell} (x_k - x)^i (y_\ell - y)^j.$$

3. В точках  $\mathcal{D}_h$  – сетки  $S(x, y, z_f)$  принимает значения:

$$S(x_k, y_\ell, z_f) = f_{k\ell} \in \mathcal{Z}_f \quad (k=0, n, \ell=0, m)$$

4. На  $\partial\mathcal{D}$  функция  $S(x, y, z_f)$  удовлетворяет определенным условиям, например,

$$\left. \frac{\partial^2 S(x, y, z_f)}{\partial V^2} \right|_{\partial\mathcal{D}} = 0,$$

где  $V(x, y)$  – внешняя нормаль к  $\mathcal{D}$ .

$S(x, y, z_f)$  строим в узловых точках в терминах производного второго порядка относительно каждого переменного, то есть  $S_{ij}^{k\ell}$  представляет функции от

$$S_{ij}^{k\ell}(x_k, y_\ell, z_f); S_{ij}^{k\ell}(x_k, y_\ell, z_f); S_{xxyy}^{k\ell}(x, y, z_f). \quad (3)$$

Алгоритм построения двухмерных сплайнов сводится к слу-

чаю одномерного. Тогда в  $S(x, y, z_f)$   $y$  рассмотрим как параметр и получим функцию от одного переменного, которая представляется в следующем виде:

$$\begin{aligned}
 S(x, y, z_f) = & S''_{xx}(x_{i-1}, y_i, z_f) \frac{(x_i - x)^3}{6h_i} + \\
 & + S''_{xx}(x_i, y_i, z_f) \left( \frac{(x - x_{i-1})^3}{6h_i} \right) + \left[ S(x_{i-1}, y_j, z_f) - \right. \\
 & - \frac{1}{6} h_i^2 S''_{xx}(x_{i-1}, y_j, z_f) \left. \frac{(x_i - x)}{h_i} \right] + \\
 & + \left[ S(x_i, y_j, z_f) - \frac{1}{6} h_i^2 S''_{xx}(x_i, y_j, z_f) \right] \frac{x - x_{i-1}}{h_i},
 \end{aligned} \tag{4}$$

где  $h_0 = x_i - x_{i-1}$ . Если в (4) подставим  $x_{i-1} = x_i - h_i$ , получим:

$$\begin{aligned}
 S(x, y, z_f) = & \left[ S''_{xx}(x_{i-1}, y_j, z_f) - \right. \\
 & - S''_{xx}(x_i, y_j, z_f) \left. \right] \frac{(x_i - x)^3}{6h_i} + \frac{1}{2} S''(x_i, y_j, z_f) \times \\
 & \times (x_i - x)^2 + \left[ S(x_{i-1}, y_j, z_f) - S(x_i, y_j, z_f) - \right. \\
 & - \frac{1}{6} h_i^2 S''_{xx}(x_{i-1}, y_j, z_f) - \frac{1}{3} h_i^2 S''_{xx}(x_i, y_j, z_f) \left. \right] \times \\
 & \times \frac{x_i - x}{h_i} + S(x_i, y_j, z_f).
 \end{aligned} \tag{5}$$

Теперь уже ясно, что обобщенный алгоритм построения двойного кубического сплайна сводится к алгоритмам построения  $S''(x_i, y_j, z_f)$  и  $S(x_i, y_j, z_f)$  одномерных сплайнов, и общая блок-схема этого алгоритма состоит в следующем:

I. В узлах  $y = y_j$ , ( $j = \overline{0, m}$ ), должны решаться  $m+1$  задач построения одномерных сплайнов в терминах производных второго порядка, то есть должны решаться системы уравнений

$$\mathcal{A}_h M^{(j)} = H_h f^{(j)} \quad (j = 0, 1, \dots, m), \quad (6)$$

где  $\mathcal{A}_h$  и  $H_h$  — матрицы независимы от  $y_j$ :

$$\mathcal{A}_h = \begin{pmatrix} \frac{h_1 + h_2}{3} & \frac{h_2}{6} & 0 & 0 & 0 \\ \frac{h_2}{6} & \frac{h_2 + h_3}{3} & \frac{h_3}{6} & 0 & 0 \\ 0 & \frac{h_3}{6} & \frac{h_3 + h_4}{3} & 0 & 0 \\ 0 & 0 & 0 & \frac{h_{n-1}}{6} & \frac{h_{n-1} + h_n}{3} \end{pmatrix}$$
  

$$H_h = \begin{pmatrix} \frac{1}{h_1} & -\frac{1}{h_1} - \frac{1}{h_2} & \frac{1}{h_2} & 0 & 0 \\ 0 & \frac{1}{h_2} & -\frac{1}{h_2} - \frac{1}{h_3} & 0 & 0 \\ \cdots & \cdots & \cdots & \cdots & \cdots \\ 0 & 0 & 0 & -\frac{1}{h_{n-1}} & \frac{1}{h_n} \end{pmatrix} \quad (7)$$

$\mathcal{A}_h$  — квадратичная,  $H_h$  — прямоугольная;

$$\mathcal{M}^{(j)} = \begin{pmatrix} M_0^{(j)} \\ M_1^{(j)} \\ \vdots \\ M_{n-1}^{(j)} \end{pmatrix}; \quad f^{(j)} = \begin{pmatrix} f(x_1, y_j) \\ f(x_2, y_j) \\ \vdots \\ f(x_n, y_j) \end{pmatrix}. \quad (8)$$

В результате получаются значения функции  $S''_{xx}(x, y, z_f)$  в узловых точках  $\mathcal{D}_f$  сетки

$$M_i^{(j)} = S''_{xx}(x_i, y_j, z_f).$$

2. Вдоль линии  $x = x_i$ ,  $i = \overline{0, n}$ , должны решаться  $n+1$  задач построения линейных сплайнов в терминах производных второго порядка, то есть должны решаться системы

$$\mathcal{A}_\tau N^{(i)} = H_\tau f^{(i)} \quad (i = \overline{0, n}), \quad (9)$$

где  $\mathcal{A}_\tau$  и  $H_\tau$  - матрицы независимы от  $y_i$ :

$$\mathcal{A}_\tau = \begin{pmatrix} \frac{\tau_1 + \tau_2}{3} & \frac{\tau_2}{3} & 0 & 0 & 0 \\ \frac{\tau_2}{6} & \frac{\tau_2 + \tau_3}{3} & \frac{\tau_3}{6} & 0 & 0 \\ 0 & \frac{\tau_3}{6} & \frac{\tau_3 + \tau_4}{3} & 0 & 0 \\ 0 & 0 & 0 & \frac{\tau_{m-1}}{6} & \frac{\tau_{m-1} + \tau_m}{3} \end{pmatrix}.$$

$$H_T = \begin{pmatrix} \frac{4}{\tau_1} & -\frac{4}{\tau_1} - \frac{4}{\tau_2} & \frac{4}{\tau_2} & 0 & 0 \\ 0 & \frac{4}{\tau_2} & -\frac{4}{\tau_2} - \frac{4}{\tau_3} & 0 & 0 \\ \vdots & & & & \\ 0 & 0 & 0 & -\frac{4}{\tau_{m-1}} - \frac{4}{\tau_m} & \frac{4}{\tau_m} \end{pmatrix} \quad (10)$$

$H_T$  — квадратичная,  $H_T$  — прямоугольная;

$$\mathcal{N}^{(i)} = \begin{pmatrix} \mathcal{N}_0^{(i)} \\ \mathcal{N}_1^{(i)} \\ \vdots \\ \mathcal{N}_m^{(i)} \end{pmatrix}; \quad f^{(i)} = \begin{pmatrix} f(x_i, y_0) \\ f(x_i, y_1) \\ \vdots \\ f(x_i, y_m) \end{pmatrix}, \quad (II)$$

В результате получаются значения кусочно-кубической сплайн-функции  $S''_{yy}(x_i, y_i, z_f)$  в отношении  $x, y$  в узлах  $\mathcal{D}$ -сетки

$$\mathcal{N}_j^{(i)} = S''_{yy}(x_i, y_j, z_f).$$

В точках  $(x_{i-1}, y)$  и  $(x_i, y)$  вычисление значения функции  $S(x, y, z_f)$  производится на основе следующих формул:

$$S(x_{i-1}, y_j, z_f) = \mathcal{N}_{j-1}^{(i-1)} \frac{(y_j - y)^3}{6 \tau_j} + \mathcal{N}_j^{(i-1)} \frac{(y - y_{i-1})^3}{6 \tau_j} + \\ + \left[ f(x_{i-1}, y_{j-1}) - \frac{\mathcal{N}_{j-1}^{(i)} \tau_j^3}{6} \right] \frac{y_j - y}{\tau_j} + \quad (12)$$

$$+ \left[ f(x_{i-1}, y_j) - \frac{N_{j-1}^{(i-1)} \tau_j^2}{6} \right] \frac{y - y_{j-1}}{\tau_j}$$

или, если вставим  $y_{j-1} = y_j - \tau_j$ , то

$$\begin{aligned} S(x_{i-1}, y_j, z_f) &= \left( N_{j-1}^{(i-1)} - N_j^{(i-1)} \right) \frac{(y_j - y)^3}{6\tau_j} + \\ &+ \frac{1}{3} N_j^{(i-1)} (y_j - y)^2 + \left[ f(x_{i-1}, y_{j-1}) - \right. \\ &\left. - f(x_{i-1}, y_j) - \frac{\tau_j^2}{6} N_{j-1}^{(i-1)} - \frac{\tau_j^2}{3} N_j^{(i-1)} \right] \frac{y_i - y}{\tau_j} + \\ &+ f(x_{i-1}, y_i). \end{aligned} \quad (I3)$$

Аналогично

$$\begin{aligned} S(x_i, y_j, z_f) &= N_{j-1}^{(i)} \frac{(y_i - y)^3}{6\tau_j} + N_j^{(i)} \frac{(y - y_{j-1})^3}{6\tau_j} + \\ &+ \left[ f(x_{i-1}, y_{j-1}) - \frac{N_{j-1}^{(i)} \tau_j^2}{6} \right] \frac{y - y_{j-1}}{\tau_j} + \\ &+ \left[ f(x_{i-1}, y_j) - \frac{N_j^{(i)} \tau_j^2}{6} \right] \frac{y - y_{j-1}}{\tau_j} \end{aligned} \quad (I4)$$

или

$$S(x_i, y_j, z_f) = \left( N_{j-1}^{(i)} - N_j^{(i)} \right) \frac{(y_i - y)^3}{6\tau_j} +$$

$$+\frac{1}{2} N_j^{(i)} (y_i - y_j)^3 + \int f(x_i, y_{j+1}) - f(x_i, y_i) - \\ - \frac{\alpha_j^2}{6} N_{j-1}^{(i)} - \frac{\alpha_j^2}{3} N_j^{(i)} \int \frac{y_j - y}{\alpha_j} + f(x_i, y_j). \quad (15)$$

Вдоль линии  $x = c_i$  ( $i = \overline{0, n}$ ) решаем  $n+1$  задачи интерполяции  $S''_{xx}(x, y_i, z_f)$  функции. Решение их возможно после выполнения I-го этапа вышеописанной блок-схемы, потому что  $S''_{xx}(x, y_j, z_f)$  — значения она дает в узловых точках, то есть можно решаться системе

$$A_i K^{(i)} = H_i S''_{xx} \quad (i = \overline{0, n}), \quad (16)$$

где

$$K^{(i)} = \begin{pmatrix} K_0^{(i)} \\ K_1^{(i)} \\ \vdots \\ K_m^{(i)} \end{pmatrix}, \quad S''_{xx}^{(i)} = \begin{pmatrix} S''_{xx}(x_i, y_0) \\ S''_{xx}(x_i, y_1) \\ \vdots \\ S''_{xx}(x_i, y_m) \end{pmatrix} \quad (17)$$

В результате получаются значения  $S''_{xx}(x, y_j, z_f)$  функции  $K_j^{(i)} = S''_{xyy}(x, y_j, z_f)$  в узловых точках сетки;

Вычисления значений функции  $S''(x, y_j, z_f)$  в точках  $(x_{i-1}, y)$  и  $(x_i, y)$  производятся по следующим формулам:

$$S''(x_{i-1}, y_j, z_f) = K_{j-1}^{(i-1)} \frac{(y_i - y)^3}{6\alpha_j} +$$

$$\begin{aligned}
 & + \left( M_{i-1}^{(j)} - \frac{\tau_j^2}{6} K_{j-1}^{(i-1)} \right) \frac{y_j - y}{\tau_j} + \\
 & + K_j^{(i-1)} \frac{(y - y_{j-1})}{6\tau_j} + \left( M_{i-1}^{(j)} - \frac{\tau_j^2}{6} K_j^{(i-1)} \right) \frac{y - y_{j-1}}{\tau_j} .
 \end{aligned} \tag{18}$$

или

$$\begin{aligned}
 S''_{xx}(x_{i-1}, y_j, z_f) = & \left( K_{j-1}^{(i-1)} - K_j^{(i-1)} \right) \frac{(y_j - y)^3}{6\tau_j} + \\
 & + \frac{1}{2} K_j^{(i-1)} (y_j - y)^2 + \int M_{i-1}^{(i-1)} - M_{i-1}^{(j)} - \frac{\tau_j^2}{6} K_{j-1}^{(i-1)} - \\
 & - \frac{\tau_j^2}{6} K_j^{(i-1)} \int \frac{y_j - y}{\tau_j} + M_{i-1}^{(j)} .
 \end{aligned} \tag{19}$$

Аналогично

$$\begin{aligned}
 S''_{xx}(x_i, y_j, z_f) = & K_{j-1}^{(i-1)} \frac{(y_j - y)^3}{6\tau_j} + K_j^{(i)} \frac{(y - y_{j-1})^3}{6\tau_j} + \\
 & + \left( M_i^{(j)} - \frac{\tau_j^2}{6} K_{j-1}^{(i)} \right) \frac{y_j - y}{\tau_j} + \\
 & + \left( M_i^{(j)} - \frac{\tau_j^2}{6} K_j^{(i)} \right) \frac{y - y_{j-1}}{\tau_j} .
 \end{aligned} \tag{20}$$

или

$$S''_{xx}(x_i, y_j, z_f) = \left( K_{j-1}^{(i)} - K_j^{(i)} \right) \frac{(y_j - y)^3}{6\tau_j} +$$

$$+ \frac{1}{2} K_j^{(i)} (y_j - y)^2 + \left[ M_i^{(j-1)} - M_i^{(j)} - \frac{\tau_j^2}{6} K_{j-1}^{(i)} - \right.$$

$$\left. - \frac{\tau_j^2}{6} K_j^{(i)} \right] \frac{y_j - y}{\tau_j} + M_i^{(j)},$$

$\xi_{i,j}^{k,\ell}$  - коэффициенты вычисляются на основе следующих

формул:

$$S(x, y, z_f) = \left\{ \left[ (K_{j-1}^{(i-1)} - K_j^{(i-1)}) - (K_{j-1}^{(i)} - K_j^{(i)}) \right] \frac{(y_j - y)^3}{6\tau_j} + \right.$$

$$+ \frac{1}{2} (K_j^{(i-1)} - K_j^{(i)}) (y_j - y)^2 + (M_i^{(j-1)} - M_i^{(j-1)}) - (M_i^{(j-1)} - M_i^{(j)}) -$$

$$- \frac{\tau_j^2}{6} (K_{j-1}^{(i-1)} - K_{j-1}^{(i)}) - \frac{\delta_j^2}{6} (K_j^{(i-1)} - K_j^{(i)}) \frac{y_j - y}{\tau_j} +$$

$$+ (M_{i-1}^{(j)} - M_i^{(j)}) \left\{ \frac{(x_i - x)^3}{6h_i} + \frac{1}{2} (K_{j-1}^{(i-1)} - K_j^{(i)}) \right\} \frac{y_j - y}{\tau_j} +$$

$$+ \frac{1}{2} K_j^{(i)} (y_j - y)^2 + M_i^{(j-1)} - M_i^{(j)} - \frac{\tau_j^2}{6} K_{j-1}^{(i)} -$$

$$- \frac{\tau_j^2}{6} K_j^{(i)} \left\{ \frac{y_j - y}{\tau_j} + M_i^{(j)} \right\} (x_i - x)^2 +$$

$$+ \left\{ \left[ (N_{j-1}^{(i-1)} - N_j^{(i-1)}) - (N_{j-1}^{(i)} - N_j^{(i)}) \right] \frac{(y_j - y)^3}{6\tau_j} + \right.$$

$$+ \frac{1}{2} (N_j^{(i-1)} - N_j^{(i)}) (y_j - y)^2 + \left[ (f(x_{i-1}, y_{i-1}) - f(x_i, y_i)) - \right.$$

$$- (f(x_i, y_{j-1}) - f(x_i, y_j)) - \frac{\tau_j^2}{6} (N_{j-1}^{(i-1)} - N_{j-1}^{(i)}) -$$

$$- \frac{\tau_j^2}{6} (N_j^{(i-1)} - N_j^{(i)}) \left\{ \frac{y_j - y}{\tau_j} + (f(x_{i-1}, y_i) - f(x_i, y_j)) - \right.$$

$$- \frac{1}{6} h_i \left[ (K_{j-1}^{(i-1)} - K_j^{(i-1)}) \frac{(y_j - y)^3}{6\tau_j} + \frac{1}{2} K_j^{(i-1)} (y_j - y)^2 + M_i^{(j)} \right] -$$

$$\begin{aligned}
 & -\frac{1}{3} h_i^2 \left[ K_{j-1}^{(i)} - K_j^{(i)} \right] \frac{(y_{j-1} - y)^3}{6x_j} + \frac{1}{2} K_j^{(i)} (y_{j-1} - y)^2 + \\
 & + \left[ M_i^{(j-1)} - M_i^{(i)} - \frac{\tau_j^2}{6} K_{j-1}^{(i)} - \frac{\tau_j^2}{6} K_j^{(i)} \right] \frac{y_j - y}{\tau_j} + \\
 & + M_i^{(j)} \left\} \frac{x_i - x}{h_i} + \left\{ (N_{j-1}^{(i)} - N_j^{(i)}) \frac{(y_{j-1} - y)^3}{6x_j} + \right. \\
 & \left. + \frac{1}{2} N_j^{(i)} (y_{j-1} - y)^2 + \left[ f(x_i, y_{j-1}) - f(x_i, y_j) - \right. \right. \\
 & \left. \left. - \frac{\tau_j^2}{6} N_{j-1}^{(i)} - \frac{\tau_j^2}{3} N_j^{(i)} \right] \frac{y_j - y}{\tau_j} + f(x_i, y_j) \right\}; \quad (22)
 \end{aligned}$$

$P$  - мерный сплайн строится следующим образом: берем  
 $n$ -мерный параллелепипед

$$D = \left\{ (x_1, \dots, x_n) : a_1 \leq x_1 \leq b_1, \dots, a_p \leq x_p \leq b_p \right\}. \quad (23)$$

Определим сетку на  $\mathcal{D}$  :

$$\mathcal{D}_h = \{(x_{1k_1}, \dots, x_{pk_p}) : x_1 \equiv x_{10} < x_{11} < \dots < x_{1n_1} \equiv b_1\}, \quad (24)$$

$$K_1 = \{1, \dots, n_1\} \dots : x_{1k_1} \leq x_{P_0} \leq x_{P_1} < \dots < x_{P_{n_1}} \equiv b_P,$$

$$k_p \in \{1, \dots, n_p\}.$$

Скажем, на  $\mathcal{D}$  дается  $f(x_1, \dots, x_p)$  функция и по значениям этой функции в узловых точках  $\mathcal{D}_h$ -сетки должны построить кусочно  $P$ -кубический полином  $S(x_1, \dots, x_p, z_f)$ , который удовлетворяет следующим условиям:

$$1. S(x_1, \dots, x_p, z_f) \in C^2 \mathcal{D}.$$

2.  $\mathcal{D}_h$   $S(x_1, \dots, x_p, z_f)$  в каждой ячейке  $P$ -сетки представляет  $P$ -кубический полином следующего вида:

$$S(x_1, \dots, x_p) / \{x_{1k_1}, \dots, x_{pk_p}\} = \\ = \sum_{i_1=0}^3 \dots \sum_{i_p=0}^3 G_{i_1 \dots i_p}^{k_1 \dots k_p} (x_{ik_1} - x_i)^{i_1} \dots (x_{pk_p} - x_p)^{i_p}.$$

3.  $S(x_1, \dots, x_p, z_f)$  в точках  $\mathcal{D}_h$ -сетки принимает следующие значения:

$$S(x_{1k_1}, \dots, x_{pk_p}, z_f) = f(x_{1k_1}, \dots, x_{pk_p}) \in \mathbb{Z}_f,$$

$$k_1 = 0 \dots n_1, \quad k_p = 0 \dots n_p.$$

4. Функция  $S(x_1, \dots, x_p, z_f)$  на  $\mathcal{D}_h$  удовлетворяет определенным условиям, скажем

$$\frac{\partial^2 S(x_1, \dots, x_P, z_f)}{\partial V^2} \Bigg|_{\partial D} = 0,$$

$V(x_1, \dots, x_P)$  — внешняя нормаль в отношении  $\partial D$ .  
 Алогично для случая  $P=2$   $x_2, \dots, x_P$  рассмотрим как параметры, тогда обобщением формулы (4) имеем:

$$S(x_1, \dots, x_P, z_f) = S''_{x_1, x_1}(x_{1K_1-1}, x_2, \dots, x_P, z_f) \frac{(x_{1K_1} - x_1)^3}{6h_{1K_1}} +$$

$$+ S''_{x_1, x_1}(x_{1K_1}, x_2, \dots, x_P, z_f) \frac{(x_1 - x_{1K_1-1})^3}{6h_{1K_1}} +$$

$$+ \left[ S(x_{1K_1-1}, x_2, \dots, x_P, z_f) - \right.$$

$$- \frac{1}{6} h_{1K_1}^2 S''_{x_1, x_1}(x_{1K_1-1}, x_2, \dots, x_P, z_f) \Big] \frac{x_{1K_1} - x_1}{h_{1K_1}} +$$

$$+ \left[ S(x_{1K_1}, x_2, \dots, x_P, z_f) - \right.$$

$$- \frac{1}{6} h_{1K_1}' S'_{x_1, x_1}(x_{1K_1}, x_2, \dots, x_P, z_f) \Big] \frac{x_1 - x_{1K_1-1}}{h_{1K_1}}$$

функции  $S''_{x_1, x_1}(x_{1K_1}, \dots, x_P, z_f)$  и  $S(x_{1K_1}, x_2, \dots, x_P, z_f)$ , входящие в эти формулы, представляют  $(P-1)$ -кубические сплайны в отношении переменных  $x_2, \dots, x_P$ . Поскольку значения этих функций даются в узловых точках  $D_h$ -сетки, мы можем вышеприведенную формулу использовать для каждого узла.

Таким путем мы вычислим производные:  $S'''_{x_1 x_2 x_t x_t} \dots S^{(P)}_{x_1 x_2 \dots x_P x_P}$ .

что дает нам возможность вычислить коэффициенты  $\Theta_{i_1, \dots, i_n}^{k_1, \dots, k_n}$ .

Разработка предложенной модели на ЭВМ наглядно показывает количественные взаимосвязи между ВОП и производственными ресурсами, тенденцию протекания всего процесса в данном промежутке и за его пределами и дает надежные оценки прогнозируемых показателей.

Поступила 27.XII.1989

Проблемная лаборатория физической кибернетики

#### Литература

1. Дж. Альберг, Э. Нильсон, Дж. Уоли. Теория сплайнов и ее применение. - М.: "Мир", 1972.
2. А. И. Анчишкис. Прогнозирование роста социалистической экономики. - М., "Экономика", 1973.
3. С. А. Столин. Сплайны и их применение - экономика и математические методы: вып. 3, 1971.
4. С. Б. Стечкин, Ю. Н. Субботин. Сплайны в вычислительной математике. - М.: "Наука", 1976.

6, ნიკოლავა, ვე მიქელაძე

ეკონომიკური გრძის გრძელების მშენები

წ ე ტ ი კ მ ე

ნაშრომის მიზანია ჩაორენობრივი კუვნირების გამდაწება ერთ-  
ბირვა სამოქადაგებრივი პროცესის ფიზიკური მოცულობის განამდებ  
მრკნებებსა და საწარმოო რესურსების ფიზიკური მოცულობის განამდებ  
მრკნებებს მოწის, გასმური ამოცანის გარანტიება დანართის დრო  
დაქვემდებარება ეკონომიკურ-მარებაზოւრი მოდელის აღენი, რომელიც  
კრიტიკული მიმდინარეობის კუმუნ სპეციალისტებს,

N.Nikoladze, K.Nikeladze

### A TWO-FACTOR MODEL OF ECONOMIC GROWTH

#### Summary

The aim of the study is to establish quantitative relations between the dynamical series of the gross national product and the dynamical series of productive resources. The problem is solved by constructing a two-factor mathematical-economic model based on two-dimensional cubic spline-functions.

Труды Тбилисского государственного университета  
им. И. Джавахишвили

№ 3. ხავანის სახელმწიფო სახელმწიფო  
უნივერსიტეტის მომცემი

300, 1990

ЧИСЛЕННЫЕ МЕТОДЫ НАХОЖДЕНИЯ ВЕРОЯТНОСТНЫХ ХАРАКТЕРИСТИК  
ПОВЕДЕНИЯ АВТОМАТОВ ПРИ ТРЕХ ТИПАХ РЕАКЦИЙ СТАЦИОНАРНОЙ  
СЛУЧАЙНОЙ СРЕДЫ

Т.Д. Хведелидзе

Как известно, асимптотическое (при емкости памяти автомата  $M \rightarrow \infty$ ) поведение последовательности конечных автоматов в случайной среде определяется поведением предельного бесконечного автомата, которое, в свою очередь, достаточно полно описывается вероятностью смены действия и средним временем до смены действия. Вычисление этих основных вероятностных характеристик поведения, без знания которых не могут быть указаны автоматы, выходящие на оптимальный режим /1-3/, является достаточно трудной задачей.

В работах /4,5/ получены явные аналитические формулы для вычислений этих вероятностных характеристик поведения автоматов при двух типах реакций стационарной случайной среды и предложен численный алгоритм их нахождения, реализованный на ЭВМ.

В настоящей работе предлагается численный алгоритм нахождения вероятностных характеристик поведения автоматов при трех типах реакций стационарной случайной среды и обсуждены возможности их приближенного вычисления на основе численного разложения Ньютона-Рафса /6/.

Прежде всего определим стохастический автомат марковского типа и его функционирование в стационарной случайной среде, когда среда на поведение автомата реагирует тремя типами реакций.

Следуя [5], вероятностный автомат определяется как объект

$$A = \langle S, F_x, M, \mu(\alpha', f/\alpha, s), P_0 \rangle, \quad (I)$$

где  $S'$  — конечное множество входных сигналов,  $F_x = \{f_1, f_2, \dots, f_n\}$  — конечное множество выходных сигналов (действий) автомата;  $M$  — конечное или счетное множество состояний автомата;  $\mu(\alpha', f/\alpha, s)$  — условная вероятность перехода автомата из состояния  $\alpha$  при входном сигнале  $s$  в состояние  $\alpha'$  при выходном сигнале (действии)  $f$ ;  $P_0$  — стартовое распределение вероятностей состояний.

В частности, вероятностный автомат Мура определяется (I) и дополнительным предположением, что всегда, где  $\mu(\alpha', f/\alpha, s) \neq 0$ ,

$$\mu(f/\alpha, s, \alpha') = \mu(f/\alpha').$$

В дальнейшем мы будем рассматривать автоматы Мура с тремя входными сигналами — 1, 0, +1 и дополнительно предполагать, что множество  $M$  можно представить как объединение  $\mathcal{X}$  непересекающихся подмножеств  $L_i$ , таких, что всем состояниям из  $L_i$  отвечает один и тот же выходной сигнал  $f_i$ , т.е.

$$\mu(f_i/\alpha') = 0 \quad \text{для } \alpha' \notin L_i,$$

$$\mu(f_i/\alpha') = 1 \quad \text{для } \alpha' \in L_i \quad (i=1, 2, \dots, n).$$

Будем говорить, что автомат функционирует в стационарной случайной среде  $C = C(a_1, t_1; a_2, t_2; \dots; a_n, t_n)$ , если его действие  $f_i$ , произведенное в момент времени  $t$ , влечет появление

- значение на входе автомата в момент  $t+1$  значение сигнала  $S=+1$  (выигрыш, чистый) с вероятностью  $q_i = \frac{1-a_i}{d}(1-\gamma_i)$ , значение сигнала  $S=-1$  (проигрыш, штраф) с вероятностью  $\#$
- $$P_i = \frac{1-a_i}{d}(1-\gamma_i)$$
- и значение сигнала
- $S=0$
- (безразличие) с вероятностью
- $\eta_i = 1-q_i-p_i$
- (
- $i=1, 2, \dots, R$
- ). Здесь величина
- $a_i = \frac{q_i-p_i}{q_i+p_i}$
- (
- $/a_i/ < 1$
- ) имеет смысл условного среднего выигрыша за действие
- $f_i$
- в среде
- $C$
- .

Так как все действия автомата должны быть равноправными, то структура автомата должна обеспечивать некоторое свойство симметричности: при одинаковой последовательности входных сигналов, поступающих при использовании разных действий, автомат должен вести себя одинаково.

Определим теперь широкий класс симметричных стохастических бесконечных автоматов марковского типа с регулярной тактикой, с двумя действиями и тремя входными сигналами  $B_3(\ell, m, v, u)$ .

Итак,  $S=\{-1, 0, +1\}$ ,  $F_2=\{f_1, f_2\}$ ,  $M=\{0, \mp 1, \mp 2, \dots\}$ , ( $t=0, 1, 2, \dots$ ).

Обозначим через  $N(t)$  номер состояния автомата,  $S(t)$  — сигнал, поступающий на вход автомата в момент времени  $t$ .

Для определения автомата необходимо задать три независимые случайные величины  $\xi(-1)$ ,  $\xi(0)$ ,  $\xi(+1)$ , принимающие целочисленные значения. Вероятности того, что они примут значение  $x$ , равны  $V_{-1}(x)$ ,  $V_0(x)$  и  $V_{+1}(x)$  соответственно.

Функция переходов и выхода (действий) автомата определяются равенствами:

$$N(t+1) = \begin{cases} N(t) - \xi(S(t+1)), & \text{если } N(t) < 0, \\ N(t) + \xi(S(t+1)), & \text{если } N(t) > 0, \\ \xi_0(t+1), & \text{если } N(t) = 0, \end{cases} \quad (2)$$

$$f(t) = \begin{cases} f_1, & \text{если } N(t) < 0, \\ f_d, & \text{если } N(t) > 0, \\ f_0, & \text{если } N(t) = 0, \end{cases}$$

где

$$\xi_0(t+1) = \begin{cases} -\xi(S(t+1)), & \text{если } N(t-1) < 0, \\ \xi(S(t+1)), & \text{если } N(t-1) > 0, \end{cases}$$

$$f_0 = \begin{cases} f_1, & \text{если } N(t-1) < 0, \\ f_2, & \text{если } N(t-1) > 0, \end{cases}$$

$$\xi(-t) = \begin{cases} -m \text{ с вероятностью } 1-\nu_1, \\ \ell \text{ с вероятностью } \nu_1, \end{cases}$$

$$\xi(+t) = \begin{cases} -m \text{ с вероятностью } \nu_0, \\ \ell \text{ с вероятностью } 1-\nu_0, \\ \xi(0) \text{ с вероятностью } 1. \end{cases}$$

В данном нами определении симметричного автомата удобно исходное состояние как области  $\lambda_1$ , так и  $\lambda_2$  снабжать номером 0.

Автомат с вероятностью  $\tilde{P}_i = P_i(1-\nu_i) + q_i\nu_0$  движимает решение о прыжке на  $m$  состояний по направлению из области, а вероятностью  $\tilde{q}_i = P_i\nu_1 + q_i(1-\nu_0)$  — о прыжке в глубь области на  $\ell$  состояний, а с вероятностью  $\pi_i = 1 - \tilde{P}_i - \tilde{q}_i$  остается в том же состоянии, в котором он был в предыдущий момент времени.

Аналогичным образом, как в /4/, можно показать, что

вероятностные характеристики автомата инвариантны к одновременному умножению величин  $\ell$  и  $m$  на целое  $d$ ,  $d=2,3,4\dots$ . Так что  $\ell$  и  $m$  можно считать взаимно простыми целыми числами.

При  $m=1$  автоматы являются одновходовыми [7,8]: входным состоянием в каждом действии является состояние с номером  $\alpha$  ( $\alpha=0,1,2,\dots$ ). При  $m>1$  автоматы являются многовходовыми [8] (автомат, находясь в состоянии с номером  $\alpha \in [0,1,2,\dots, m-1]$  в течение одного такта может сменить действие  $f_\alpha$ ).

Автомат  $B_2(1,1,0,0)$  является предельным автоматом стохастического конечного автомата  $W_{2n,2}^{(j)}(\epsilon, \eta)$  линейно-гистерезисного типа, а автомат  $B_2(1,\ell,0,0)$  — бесконечным аналогом глубокого автомата  $D_{2n,2}^{(j)}$  [7].

В дальнейшем мы будем рассматривать поведение автомата в области, отмеченной некоторым действием до его смены, и индекс  $i$ , для сокращения записей, опустим.

Обозначим через  $u_k(\alpha)$  вероятность смены действия  $f$  за  $K$  тактов функционирования, если автомат стартует из состояния с номером  $\alpha > 0$ . Из правил (2) поведения автомата при одном такте функционирования автомат попадает или в состояние  $\alpha-m$ , или в состояние  $\alpha+\ell$ , или остается в состоянии  $\alpha$ . Поэтому относительно вероятностей  $u_k(\alpha)$  получим разностное уравнение

$$u_{k+1}(\alpha) = \tilde{P} u_k(\alpha-m) + \tilde{Q} u_k(\alpha+\ell) + u_k(\alpha), \quad k=1,2,\dots \quad (3)$$

и граничные условия

$$u_0(-j)=1, \quad j=1,2,\dots,m; \quad u_0(\alpha)=0 \quad \forall \alpha > 0. \quad (4)$$

Для производящей функции  $U(\alpha, z) = \sum_{K=0}^{\infty} u_k(\alpha) z^K$

вероятностей смены действия  $f$ , после умножений (3) и (4) на  $\tilde{z}^{k+1}$  и суммирований по всем  $k$ , получим следующее разностное уравнение с граничными условиями:

$$\begin{aligned} U(\alpha, z) &= \frac{\tilde{p}z}{1-\gamma z} U(\alpha-m, z) + \frac{\tilde{q}z}{1-\gamma z} U(\alpha+\ell, z), \\ \alpha &= 0, 1, 2, \dots \\ U(-j, z) &= 1, \quad j = 1, 2, \dots, m. \end{aligned} \tag{5}$$

Из вероятностного смысла  $U_K(\alpha)$  вытекает, что для  $|z|<1$  и  $V_\alpha > 0$   $U(\alpha, z) < 1$ .

Будем искать решение уравнения (5) в виде

$$U(\alpha, z) = \tilde{A}^{\alpha+1}(z).$$

Тогда относительно  $\tilde{A}(z)$  получим алгебраическое уравнение

$$\tilde{A}^m(z) = \frac{\tilde{p}z}{1-\gamma z} + \frac{\tilde{q}z}{1-\gamma z} \tilde{A}^{m+\ell}(z), \tag{6}$$

через корни которого выражается решение задачи (5).

Обозначим через  $\delta$  средний "шаг" блуждания автомата по области:

$$\delta = m\tilde{p} - \ell\tilde{q}.$$

Относительно корней уравнения (6) справедлива следующая лемма, доказательство которой основано на теореме Руше и происходит аналогичным /4/ образом.

Лемма 1. Для  $0 < |z| < 1$  все корни уравнения (6) простые,  $m$  корней  $\tilde{A}_j(z)$ ,  $j = 1, 2, \dots, m$ , лежат в единичном круге  $K_1$  комплексной плоскости, остальные  $\ell$  корней,  $j = m+1, m+2, \dots, m+\ell$  — вне его.

2. При  $\delta > 0$   $A_1(A) = 1$ ,  $|A_j(A)| < 1$ ,  $j = 2, \dots, m$ ,  $|A_{m+j}(A)| > 1$ ,  
 $j = 1, 2, \dots, \ell$ ; при  $\delta = 0$   $A_1(A) = A_{m+j}(A) = 1$ ,  $|A_j(A)| < 1$ ,  
 $j = 2, \dots, m$ ,  $|A_{m+j}(A)| > 1$ ,  $j = 2, \dots, \ell$ ;  
при  $\delta < 0$   $|A_j(A)| < 1$ ,  $j = 1, 2, \dots, m$ ,  $|A_{m+j}(A)| = 1$ ,  
 $|A_{m+j}(A)| > 1$ ,  $j = 2, 3, \dots, \ell$ .

Через  $A_j(z)$  ( $j = 1, 2, \dots, m$ ) производящая функция вероятностей смены действия определяется формулой

$$U(\alpha, z) = \sum_{j=1}^m \frac{\mathcal{D}_j(A) A_j^{\alpha+1}(z)}{\mathcal{D}(z)}, \quad (7)$$

где  $\mathcal{D}(z)$  — определитель Вандермонда, составленный из степеней  $A_1^{-1}(z), A_2^{-1}(z), \dots, A_m^{-1}(z)$ ;  $\mathcal{D}_j(z)$  получается из  $\mathcal{D}(z)$  путем замены  $j$ -го столбца на столбец из единиц.

Из (7) при  $\alpha = 0$ , используя теорему Лапласа, получим

$$U(0, z) = 1 - \prod_{j=1}^m (1 - A_j(z)), \quad A_0(z) = 1. \quad (8)$$

Методом разностных уравнений для среднего времени до смены действия (при  $\delta > 0$ ) выводится формула

$$\tau_\alpha = \left\{ \alpha + 1 + \sum_{j=1}^m \frac{\widetilde{\mathcal{D}}_j(A)}{\mathcal{D}(A)} A_j^{\alpha+1}(1) \right\} \delta^{-1}, \quad (9)$$

где  $\widetilde{\mathcal{D}}_j(A)$  получается из  $\mathcal{D}(A)$  путем замены  $j$ -го столбца столбцом из элементов  $0, 1, 2, \dots, m-1$ .

На основании формул (7), (8), (9) можно доказать следующую теорему.

Теорема I. а) при  $\delta > 0$   $\sigma_0 = U(0, 1) = 1$ ,

$$\sigma_0 = \frac{\partial U(0, z)}{\partial z} \Big|_{z=1} = \delta^{-1} \prod_{j=2}^m (1 - A_j(1));$$

- б) при  $\delta=0$   $\sigma_0=1$ ,  $\tau_0=\infty$  ;  
 в) при  $\delta<0$   $\tau_0=\infty$ ,  $\sigma_0=1-\prod_{j=1}^m(1-\lambda_j(\delta))$ .

В общем случае применение результатов этой теоремы для численных расчетов затруднительно необходимостью вычисления всех корней  $\lambda_j(\delta)$ ,  $j=1, 2, \dots, m$ , уравнения (6). Однако при некоторых ограничениях на  $\ell$  или  $m$  формулы для  $\sigma_0$  и  $\tau_0$  можно существенно упростить.

Действительно, при  $m=1$  уравнение (6) примет вид

$$\tilde{q}z\lambda^{l+1}(z)-(1-\gamma z)\lambda(z)+\tilde{\rho}z=0,$$

а при  $\ell=1$

$$\tilde{\rho}zW^{m+1}(z)-(1-\gamma z)W(z)+\tilde{q}z=0, \quad (10)$$

где  $W(z)=\lambda^{-1}(z)$ .

В этом случае, с учетом леммы, справедлива следующая теорема.

Теорема 2. а) Пусть  $m=1$ , тогда при  $\delta<0$

$$\sigma_\alpha=\lambda_1^{\alpha+1}(1)<1, \quad \tau_\alpha=\infty.$$

а при  $\delta>0$   $\sigma_\alpha=1$ ,  $\tau_\alpha=(\alpha+1)\delta^{-1}$ .

б) Пусть  $\ell=1$ , тогда при  $\delta<0$   $\sigma_0=\frac{m\tilde{\rho}}{\tilde{q}}$ ,  $\tau_0=\infty$ ,

а при  $\delta>0$   $\sigma_0=1$ ,  $\tau_0=[\tilde{q}(W^{-1}(1)-1)]^{-1}$ .

Для построения численных алгоритмов и для непосредственного вычисления вероятностных характеристик автомата удобно использовать известный метод диаграмм Ньютона-Лонзе /6/, который позволяет последовательно вычислять коэффициенты разложения аналитической функции  $U(z, \gamma)$  (см. рис. 1).

Последовательное применение этого метода к производящей



функции  $U(0, z)$  при  $m=1$  приводят к следующему разложению:

$$\begin{aligned} U(0, z) = & \tilde{\rho} \frac{z}{1-\eta z} + \tilde{q} \tilde{\rho}^{\ell+1} \left( \frac{z}{1-\eta z} \right)^{\ell+2} + \\ & + (\ell+1) \tilde{q}^2 \tilde{\rho}^{2\ell+1} \left( \frac{z}{1-\eta z} \right)^{2\ell+3} + \\ & + \frac{(\ell+1)(3\ell+2)}{2} \tilde{q}^3 \tilde{\rho}^{3\ell+1} \left( \frac{z}{1-\eta z} \right)^{3\ell+4} + \dots \end{aligned} \quad (II)$$

С помощью этого разложения можно осуществить приближенные вычисления  $\sigma_0$  при  $\ell > 2$ .

В частности, при  $\ell=1$   $\sigma_0 = \frac{\tilde{\rho}}{\tilde{q}}$ , а при  $\ell=2$

$$\sigma_0 = \left( \sqrt{1+4 \frac{\tilde{\rho}}{\tilde{q}}} - 1 \right) / 2.$$

Теорема 2 дает возможность произвести приближенные вычисления  $\sigma_0$  при  $\ell=1, m>2$ . В этом случае имеем

$$\sigma_0 = \frac{W(G)}{\tilde{q}(1-W(G))}, \quad (I2)$$

где  $W(G)$  является решением уравнения (10):

$$\begin{aligned} W(G) = & \frac{\tilde{q}}{1-\eta} + \frac{\tilde{\rho}}{1-\eta} \left( \frac{\tilde{q}}{1-\eta} \right)^{m+1} + (m+1) \left( \frac{\tilde{\rho}}{1-\eta} \right)^2 \left( \frac{\tilde{q}}{1-\eta} \right)^{2m+1} + \\ & + \frac{(m+1)(3m+2)}{2} \left( \frac{\tilde{\rho}}{1-\eta} \right)^3 \left( \frac{\tilde{q}}{1-\eta} \right)^{3m+1} + \dots \end{aligned}$$

Для построения численных алгоритмов, на основании разложения Ньютона-Плюзье, введем параметры

$$\varepsilon = \sqrt[m+\ell]{\tilde{q}^m \tilde{\rho}^\ell}, \quad \rho = \sqrt[m+\ell]{\frac{\tilde{q}}{\tilde{\rho}}}.$$

и рассмотрим функцию

$$W(\alpha, z) = \rho^{\alpha+1} U(\alpha, z).$$

Тогда на основании (5)  $W(\alpha, z)$  является решением следующей граничной задачи:

$$\begin{aligned} W(\alpha, z) &= \frac{\varepsilon z}{1-\eta z} W(\alpha-m, z) + \frac{\varepsilon z}{1-\eta z} W(\alpha+\ell, z), \quad \alpha \geq 0, \\ W(-j, z) &= \rho^{-j}, \quad j = 1, 2, \dots, m. \end{aligned} \quad (13)$$

Из (13) следует, что

$$W(\alpha, z) = \sum_{K=0}^{\infty} \sum_{j=1}^K \varepsilon^j \gamma^{K-j} \mathcal{A}^{(K-j)}(\alpha, K) z^K,$$

где  $\mathcal{A}^{(K-j)}(\alpha, K)$  удовлетворяют уравнениям

$$\begin{aligned} \mathcal{A}^{(K-j)}(\alpha, K) &= \mathcal{A}^{(K-j)}(\alpha-m, K-1) + \mathcal{A}^{(K-j)}(\alpha+\ell, K-1) + \mathcal{A}^{(K-j-1)}(\alpha, K-1), \\ \alpha &\geq 0, \quad j = 0, 1, 2, \dots, K, \end{aligned} \quad (14)$$

$$\mathcal{A}^{(j)}(-i, 0) = \rho^{-i}, \quad \mathcal{A}^{(j)}(-i, 0) = 0, \quad j = 1, 2, \dots, K, \quad i = 1, 2, \dots, m,$$

$$\mathcal{A}^{(j)}(\alpha, 0) = 0 \quad \forall \alpha \geq 0, \quad j = 0, 1, 2, \dots, K,$$

$$\mathcal{A}^{(j)}(\alpha, K) = \mathcal{A}^{(j)}(\alpha-m, K) = \mathcal{A}^{(j)}(\alpha+\ell, K) = 0.$$

Поэтому  $\tilde{\varepsilon}_\alpha$  и  $\tilde{\tau}_\alpha$  можно представить в виде

$$\tilde{\varepsilon}_\alpha = \rho^{-(\alpha+1)} \sum_{K=0}^{\infty} \sum_{j=1}^K \varepsilon^j \gamma^{K-j} \mathcal{A}^{(K-j)}(\alpha, K), \quad (15)$$

$$\tilde{\tau}_\alpha = \rho^{-(\alpha+1)} \sum_{K=0}^{\infty} \sum_{j=1}^K K \varepsilon^j \gamma^{K-j} \mathcal{A}^{(K-j)}(\alpha, K).$$

Для нахождения  $\mathcal{A}^{(K-j)}(\alpha, K)$  в (15) необходимо определить число путей, которые приводят к смене действия автомата, стартующий из состояния с номером  $\alpha$  (рис. 2). Если для некоторого

$K$  ( $K=1, 2, \dots$ ) условие  $\alpha - K\ell \geq 0$  не выполняется, то это означает, что автомат может на  $K$ -м шаге сменить действие. Состояния с отрицательными номерами будем называть заключительными состояниями. При этом в каждом ярусе число заключительных состояний может быть различным, не превосходящим  $m$ .

Обозначим через  $N(K)$  максимальный номер состояний  $K$ -го яруса, а через  $R^{(K-j)}(\alpha, i, K)$  — количество путей, которые приводят автомат из состояния с номером  $\alpha$  в  $i$ -ое состояние  $K$ -го яруса при  $K-j$  остановках в пути. Легко заметить, что  $N(K) = \alpha + K\ell$ .

Для определения  $R^{(K-j)}(\alpha, i, K)$  имеем следующие рекуррентные соотношения:

$$\begin{aligned}
 R^{(K-j)}(\alpha, N(K)-i, K) &= R^{(K-j)}(\alpha, N(K-1)+m+\ell-i, K-1) \eta(N(K-1)+m+\ell-i) + \\
 &+ R^{(K-j)}(\alpha, N(K-1)-i, K-1) \eta(N(K-1)-i) + \\
 &+ R^{(K-j-1)}(\alpha, N(K-1)+\ell-i, K-1) \eta(N(K-1)+\ell-i),
 \end{aligned} \tag{16}$$

$$R^{(K-j)}(\alpha, N(K), K) = \begin{cases} 1, & \text{если } j=K, \\ 0, & \text{если } j \neq K, \end{cases}$$

$$R^{(K-j)}(\alpha, \alpha-m, 1) = \begin{cases} 1, & \text{если } j=K, \\ 0, & \text{если } j \neq K, \end{cases}$$

$$R^{(K-j)}(\alpha, \alpha, 1) = \begin{cases} 1, & \text{если } j=K-1, \\ 0, & \text{если } j \neq K-1, \end{cases}$$

$$R^{(K-j)}(\alpha, i, 1) = 0 \quad \forall i \neq \alpha, \alpha-m, \alpha+\ell,$$

$$R^{(K-j)}(\alpha, i, K) = 0 \quad \text{для } \forall i, K, \quad N(K) = \alpha + K\ell,$$

где

$$j=1, 2, \dots, K, \quad i=1, 2, \dots, \alpha + K\ell + m, \quad \eta(x) = \begin{cases} 1, & \text{если } x > 0, \\ 0, & \text{если } x \leq 0. \end{cases}$$

Тогда

$$\mathcal{A}^{(K-j)}(\alpha, K) = \sum_{i=1}^m p^{i-j} R^{(K-j)}(\alpha, -i, K), \quad (I7)$$

$$U_K(\alpha) = \int_0^{-(\alpha+1)} \sum_{j=1}^K \mathcal{E}_j \mathcal{H}^{K-j} \mathcal{A}^{(K-j)}(\alpha, K). \quad (I8)$$

Формулы (I6), (I7), (I8), (I5) позволяют последовательно находить  $R^{(K-j)}(\alpha, i, K)$ ,  $\mathcal{A}^{(K-j)}(\alpha, K)$ ,  $U_K(\alpha)$  и, следовательно,  $S_\alpha$  и  $T_\alpha$ .

Таким образом, разложение производящей функции, полученное методом диаграммы Ньютона-Пюизе (при стартовом состоянии автомата  $\alpha=0$ ), позволяет вычислять вероятностные характеристики  $S_\alpha$  и  $T_\alpha$  при широком диапазоне значений параметров  $\ell$  и  $m$  ( $\ell=1$  или  $m=1$ ). Число слагаемых в разложении зависит от параметров среды, от параметров  $\ell$ ,  $m$  и от степени точности. В общем же случае, численный алгоритм дает возможность с достаточной степенью точности вычислять  $S_\alpha$  и  $T_\alpha$  при любом  $\alpha$  ( $\alpha=0, 1, 2, \dots$ ).

Поступила 27.III.1989

Проблемная лаборатория физической кибернетики

#### Литература

1. А.И.Эзрохи. Поведение автоматов с регулярной тактикой в стационарных случайных средах. - Киев (Препринт /ИК АН УССР № 77-76), 1976.
2. Е.Н.Василев, С.Д.Эйдельман, А.И.Эзрохи. Докл. АН УССР, сер. А., № 8, 1977.

3. Е.Н.Вавилов, С.Д.Эйдельман, А.И.Эзрохи. Кибернетика, № 5, 1977.
4. Л.П.Лобанов, А.И.Плетнёв, С.Д.Эйдельман. Кибернетика, 6, 1984.
5. В.С.Королюк, А.И.Плетнёв, С.Д.Эйдельман. Успехи математических наук, т.43, вып.1, 1988.
6. Н.Г.Чеботарев. Теория алгебраических функций. М.-Л. Общегосударственное изд-во техн.-теорет. лит., 1948.
7. Т.Д.Хведелидзе. Труды ТГУ, т.279, 1988.
8. В.Г.Срагович. Теория адаптивных систем. М., "Наука", 1976.

8. ხვედელიძე

სამ ჟილის რეკვიტის მეონი გამზევით სფერობენ-  
რი ცარისობი კვლეულის ეფექტის მახას-  
ამიერების გამოვლის ჩრდილი გათვალისწიფრები

6 2 8 0 9 0

ნარმოდერენცია ავფორმულების ჯევის აცტათური მახასიათებუ-  
ბის პოვნის რიცხვითი აღმოჩენის გა გამხილია ამ მახასიათებუბის  
მიახოებითი გამოვლის მესაძღვირობა ზოგონ-პიუბეს გაშრის საფუძ-  
ვებები.

T.Kvedelidze

NUMERICAL METHODS FOR CALCULATING THE PROBABILITY CHARACTERISTICS OF THE BEHAVIOUR OF AUTOMATA IN THREE REACTION TYPES OF STATIONARY RANDOM MEDIA

Summary

A numerical algorithm is presented for calculating the probability characteristics of the behaviour of automata and the possibility of an approximate calculation of these characteristics on the basis Newton-Puise expansion is discussed.

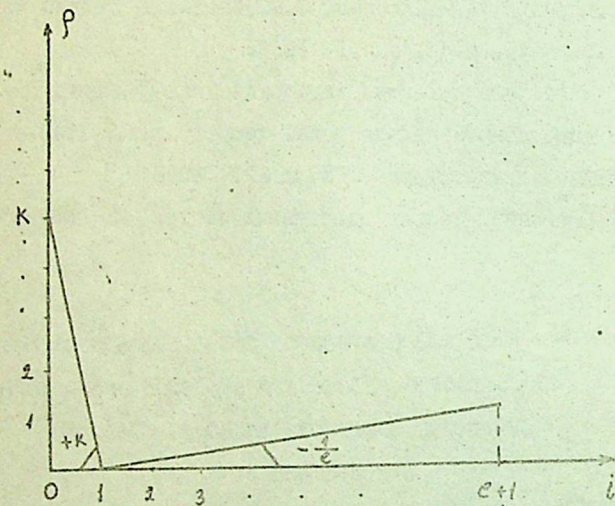


Рис. I. К -ая ( $K=1, 2, \dots$ ) диаграмма Ньютона-Пуизе

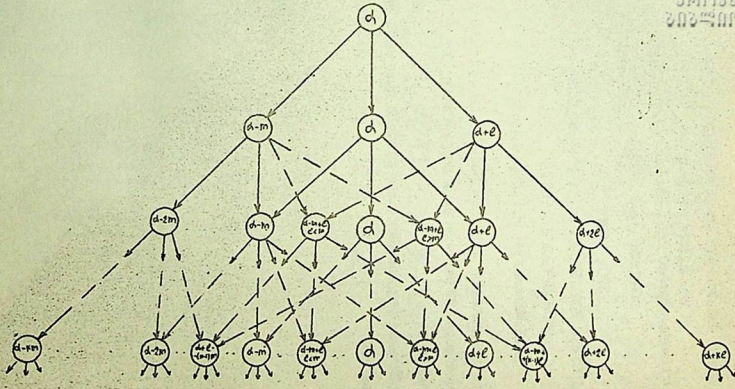


Рис.2. Граф перехода автомата  $B_2(\ell, m, 0, 0)$  в области состояний при условии  
 $d - Km \geq 0$

Труды Тбилисского государственного университета

им. И.Джавахишвили

ივ. აუვახიშვილის სახ., იბირისის სახელმწიფო

უნივერსიტეტის მწოდები

300, 1990

АЛГОРИТМ РЕШЕНИЯ ДВУХФАКТОРНОЙ МОДЕЛИ

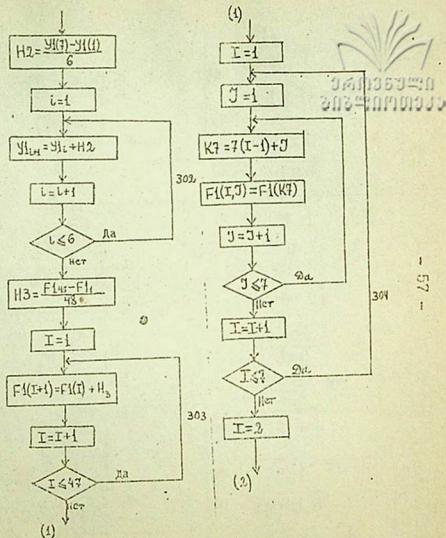
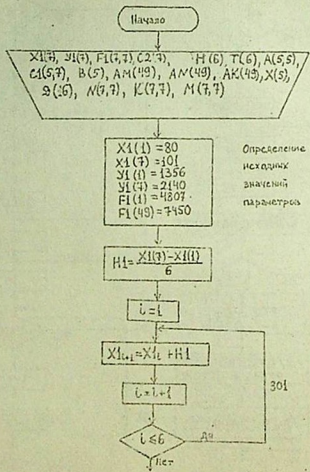
ЭКОНОМИЧЕСКОГО РОСТА

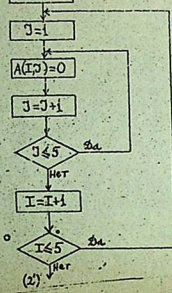
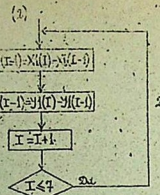
К.Т.Микеладзе, Н.Р.Николадзе

В работе представлен алгоритм решения двухфакторной модели экономического роста. Алгоритм осуществляет разработку задачи, поставленной в /1/ на ЭВМ.

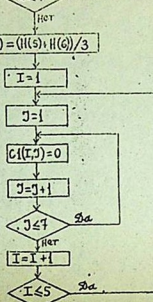
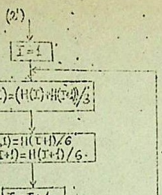
Ниже приведена укрупненная блок-схема и программа решения задачи на ЭВМ.

Упрощенная блок-схема решения  
задачи на ЭВМ

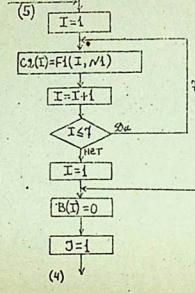
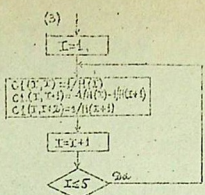




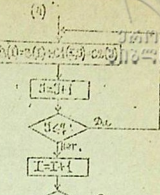
20



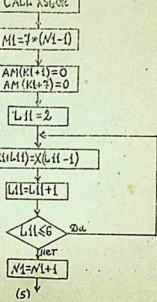
30



50

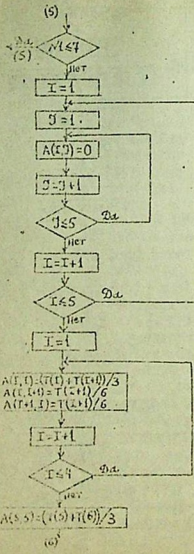


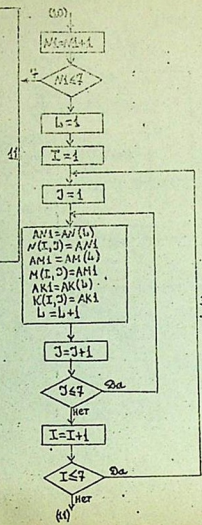
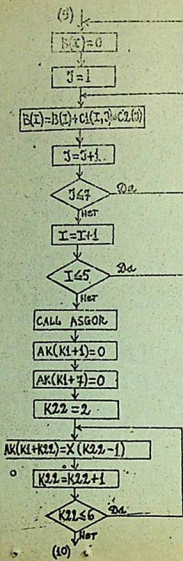
60



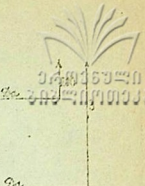
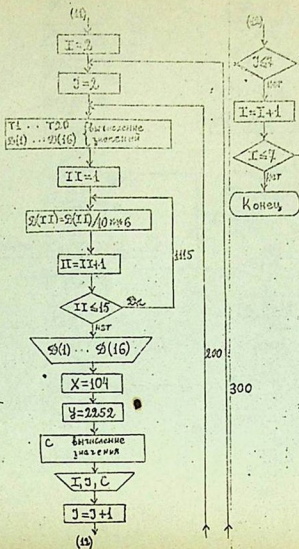
40

3





300



100

100

Программа решения задачи  
на Э В М

```

PROGRAM GAUSI
DIMENSION X1(7), Y1(7), F1(7,7), C2(N), H(6), T(6), A(5,5)
DIMENSION C1(5,7), B(5), AM(Y5), AN(Y5), AK(Y5), X(5), D(16)
DIMENSION N(7,7), K(7,7), M(7,7)
REAL N, K, M
X1(1) = 468
X1(7) = 520
Y1(1) = 480
Y1(7) = 768
F1(1) = 235
F1(49) = 260
H1 = (X1(7) - X1(1))/6
DO 301 I=1,6
    X1(I+1) = X1(I) + H1
    H2 = (Y1(7) - Y1(1))/6
    DO 302 I=1,6
        Y1(I+1) = Y1(I) + H2
        H3 = (F1(49) - F1(1))/48
        DO 303 I=1,47
            F1(I+1) = F1(I) + H3
            DO 304 I=1,7
                DO 304 J=1,7
                    K7 = 7*(I-1)+J
                    F1(I,J) = F1(K7)
                    DO 20 I=2,7
                        H(I-1) = X1(I) - X1(I-1)
                        T(I-1) = Y1(I) - Y1(I-1)
                        DO 30 I=1,5
                            DO 30 J=1,5

```

```

30 A(I,J) = 0
      DO 40 I=1,4
          A(I,I) = (H(I) + H(I+1))/3.
          A(I+1,I) = H(I+1)/6.
          A(I,I+1) = H(I+1)/6
          A(5,5) = (H(5) + H(6))/3.
          DO 50 I=1,5
              DO 50 J=1,7
                  C1(I,J) = 0
                  DO 60 I=1,5
                      C1(I,I) = 1/H(I)
                      C1(I,I+1) = -1/H(I) - 1/H(I+1)
                      C1(I,I+2) = 1/H(I+1)
                      DO 1 N1=1,7
                          DO 70 I=1,7
                              C2(I) = F1(I,N1)
                              DO 3 I=1,5
                                  B(I) = 0.
                                  DO 3 J=1,7
                                      B(I) = B(I) + C1(I,J)*C2(J)
                                      CALL ASGOR (A,B,X,S,1)
                                      K1 = 7*(N1-1)
                                      AM(K1+1) = 0
                                      AM(K1+7) = 0
                                      DO 401 L11=2,6
                                          AM(K1+L11) = X(L11-1)
                                          CONTINUE
                                          DO 80 I=1,5
                                              DO 80 J=1,5
                                                  A(I,J) = 0

```

```

DO 90 I=1,4
A(I,I) = (T(I) + T(I+1))/3.
A(I,I+1) = T(I+1)/6.
A(I+1,I) = T(I+1)/6.
90 A(S,S) = (T(S) + T(G))/3.
DO 100 I=1,5
DO 100 J=1,7
C1(I,J) = 0
100 DO 110 I=1,5
C1(I,I) = 1/T(I)
C1(I,I+1) = -1/T(I) - 1/T(I+1)
110 C1(I,I+2) = 1/T(I+1)
DO 4 N1=1,7
DO 120 I=1,7
C2(I) = F1(I,N1)
120 CONTINUE
DO 6 I=1,5
B(I) = 0.
DO 6 J=1,7
6 B(I) = B(I) + C1(I,J) * C2(J)
CALL ASGOR(A,B,X,5,1)
K1 = 7*(N1-1)
AN(K1+1) = 0
AN(K1+7) = 0
DO 4 L111 = 2,6
AN(K1+L111) = X(L111-1)
4 CONTINUE
DO 7 N1=1,7
K1 = 7*(N1-1)
DO 77 K2=1,7
77 C2(K2) = AM(K1+K2)

```

```

DO 11 I=1,5
B(I) = 0.
DO 11 J=1,7
B(I) = B(I) + C1(I,J) * C2(J)
CALL ASGOR(A,B,X,5,1)
AK(K1+1) = 0
AK(K1+7) = 0
DO 7 K22 = 2,6
AK(K1+K22) = X(K22-1)
CONTINUE
L = 1
DO 700 I=1,7
DO 700 J=1,7
AN1 = AN(L)
N(I,J) = AN1
AM1 = AM(L)
M(I,J) = AM1
AK1 = AK(L)
K(I,J) = AK1
L = L+1
CONTINUE
DO 200 I=2,7
DO 300 J=2,7
700 T1 = (K(I-1,J-1) - K(I,J-1) - K(I-1,J)
+ K(I,J)) / (H(I-1) + T(J-1))
T3 = (K(I,J-1) - K(I,J)) / H(I-1)
T4 = (M(J-1,I-1) - M(J,I-1) - M(J-1,I) +
M(J,I)) / (H(I-1) * T(J-1))
T5 = (K(I-1,J-1) - K(I-1,J) + K(I,J-1) - K(I,J)) /
* H(I-1)
T6 = (M(J-1,I) - M(J,I)) / H(I-1)
62

```

$$\begin{aligned}
T7 &= (K(I-1,J) - K(I,J)) / T(J-1) \\
T8 &= (M(J,I-1) - M(J,I)) / T(J-1) \\
T9 &= (K(I-1,J-1) - K(I-1,J)) / K(I-1) \\
T10 &= (N(I-1,J-1) - N(I,J-1)) / N(I-1,J) + \\
&\quad * N(I,J)) / (N(I-1,J) * T(J-1)) \\
T11 &= (K(I-1,J-1) - K(I,J-1)) / T(J-1) \\
T12 &= (N(I,J-1) - N(I,J)) / N(I-1,J) \\
T13 &= (F1(I-1,J-1) - F1(I-1,J)) / F1(I,J-1) + \\
&\quad * F1(I,J)) / (N(I-1,J) * T(J-1)) \\
T14 &= (N(I-1,J) - N(I,J)) / N(I-1,J) \\
T15 &= (M(J-1,I-1) - M(J-1,I)) / T(J-1) \\
T16 &= (N(I-1,J-1) - N(I-1,J)) / N(I-1,J) \\
T17 &= (F1(I-1,J) - F1(I,J)) / N(I-1,J) \\
T18 &= (N(I-1,J) - N(I,J)) / T(J-1) \\
T19 &= (M(J-1,I-1) - M(J,I-1)) / T(J-1) \\
T20 &= (F1(I,J-1) - F1(I,J)) / T(J-1) \\
D(1) &= T1/36 \\
D(2) &= (Y1(J) * T1)/12 + T3/12 \\
D(3) &= (Y1(J) * Y1(J) * T1)/12 + (Y1(J) * T3)/6 + \\
&\quad * T4/6 - (T(J-1) * T5)/36 \\
D(4) &= (Y1(J) * Y1(J) * Y1(J) * T1)/36 + (Y1(J) * Y1(J) * \\
&\quad * T3)/12 + (Y1(J) * T4)/6 - (Y1(J) * T(J-1) * T5)/ \\
&\quad * 36 + T6/6 \\
D(5) &= (X1(I) * T1)/12 + T7/12 \\
D(6) &= (X1(I) * Y1(J) * T1)/4 + (Y1(J) * T7)/4 + \\
&\quad * (X1(I) * T3)/4 + K(I,J)/4 \\
D(7) &= (X1(I) * Y1(J) * Y1(J) * T1)/4 + (X1(I) * \\
&\quad * Y1(J) * T3)/2 + (X1(I) * T9)/2 - (X1(I) * T(J-1) * T5)/ \\
&\quad * 12 + (Y1(J) * Y1(J) * T7)/4 + T8/2 - (T(J-1) * K(I,J-1) * \\
&\quad * K(I,J))/12 + (Y1(J) * K(I,J))/2 \\
AD1 &= (X1(I) * Y1(J) * Y1(J) * Y1(J) * T1)/12 + (X1(I) * \\
&\quad * Y1(J) * Y1(J) * T3)/4 + (X1(I) * Y1(J) * \\
&\quad * Y1(J) * T4)/2 - (X1(I) * X1(I) * Y1(J) * T(J-1) * T5)/ \\
&\quad * 12 + (X1(I) * X1(I) * T6)/2
\end{aligned}$$

$$\begin{aligned}
&\quad * (X1(I) * Y1(J) * T(J-1) * T5)/12 \\
AD2 &= (X1(I) * T6)/2 + (Y1(J) * Y1(J) * Y1(J) * T7)/12 \\
&\quad * 12 + (Y1(J) * T8)/2 - (Y1(J) * T(J-1) * (K(I-1,J) + \\
&\quad * K(I,J)))/12 + (Y1(J) * Y1(J) * K(I,J))/4 + M(J,T)/2 \\
D(8) &= AD1 + AD2 \\
D(9) &= (X1(I) * X1(I) * T1)/12 + (X1(I) * T7)/6 + \\
&\quad * T10/6 - (N(I-1) * T11)/36 - (N(I-1,J) * T7)/18 \\
AD1 &= (X1(I) * X1(I) * Y1(J) * T1)/4 + (X1(I) * X1(I) * \\
&\quad * T3)/4 + (X1(I) * Y1(J) * T7)/2 + (X1(I) * K(I,J))/2 \\
AD2 &= (Y1(J) * T10)/2 + T12/2 - (Y1(J) * N(I-1,J) * \\
&\quad * T11)/12 - (N(I-1,J) * K(I,J-1))/12 - (Y1(J) * \\
&\quad * N(I-1,J) * T7)/6 - (N(I-1,J) * K(I,J))/6 \\
D(10) &= AD1 + AD2 \\
AD1 &= (X1(I) * X1(I) * Y1(J) * Y1(J) * T1)/4 + \\
&\quad * (X1(I) * X1(I) * Y1(J) * T3)/2 + (X1(I) * X1(I) * T4)/ \\
&\quad * 2 - (X1(I) * X1(I) * T(J-1) * T5)/12 + (X1(I) * \\
&\quad * Y1(J) * Y1(J) * T7)/2 + X1(I) * Y1(J) * K(I,J) \\
AD2 &= X1(I) * T8 - (X1(I) * T(J-1) * (K(I-1,J) + \\
&\quad * K(I,J)))/6 + (Y1(J) * Y1(J) * T10)/2 + Y1(J) * T12 + \\
&\quad * T13 - (T(J-1) * T14)/6 - (T(J-1) * T12)/3 - (Y1(J) * \\
&\quad * Y1(J) * N(I-1,J) * T11)/12 - (Y1(J) * N(I-1,J) * K(I,J-1))/ \\
&\quad * 6 - (N(I-1,J) * T15)/6 \\
AD3 &= (N(I-1,J) * T(J-1) * (K(I-1,J-1) + K(I,J-1)))/ \\
&\quad * 36 - (Y1(J) * Y1(J) * N(I-1,J) * T7)/6 - (Y1(J) * \\
&\quad * N(I-1,J) * K(I,J))/3 - (N(I-1,J) * T8)/3 + (N(I-1,J) * \\
&\quad * T(J-1) * (K(I-1,J) + K(I,J)))/18 \\
D(11) &= AD1 + AD2 + AD3 \\
AD1 &= (X1(I) * X1(I) * Y1(J) * Y1(J) * Y1(J) * T1)/12 + \\
&\quad * (X1(I) * X1(I) * Y1(J) * Y1(J) * T3)/4 + (X1(I) * X1(I) * \\
&\quad * Y1(J) * T4)/2 - (X1(I) * X1(I) * Y1(J) * T(J-1) * T5)/ \\
&\quad * 12 + (X1(I) * X1(I) * T6)/2
\end{aligned}$$

```

AD2 = (X1(I)*Y1(J)*Y1(J)*Y1(J)*T7)/6 +
* (X1(I)*Y1(J)*Y1(J)*K(I,J))/2 + X1(I)*Y1(J)*
* T8 - (X1(I)*Y1(J)*T(J-1)*(K(I-1,J)+K(I,J)))/
* 6 + X1(I)*M(J,I) + (Y1(J)*Y1(J)*Y1(J)*T10)/6
AD3 = (Y1(J)*Y1(J)*T12)/2 + Y1(J)*T13 -
* (Y1(J)*T(J-1)*T16)/6 - (Y1(J)*T(J-1)*T12)/
* 3 + T17 - (Y1(J)*Y1(J)*Y1(J)*H(I-1)*T11)/36 -
* (Y1(J)*Y1(J)*H(I-1)*K(I,J-1))/12 - (Y1(J)*
* H(I-1)*T15)/6
AD4 = (Y1(J)*H(I-1)*T(J-1)*(K(I-1,J-1) +
* K(I,J-1)))/36 + (H(I-1)*M(J-1,I))/6 -
* (Y1(J)*Y1(J)*Y1(J)*H(I-1)*T7)/18 - (Y1(J)*
* Y1(J)*H(I-1)*K(I,J))/6 - (Y1(J)*H(I-1)*
* T8)/3 + (Y1(J)*H(I-1)*T(J-1)*(K(I-1,J) +
* K(I,J)))/18 - (H(I-1)*M(J,I))/3
D(12) = AD1 + AD2 + AD3 + AD4
D(13) = (X1(I)*X1(I)*X1(I)*T1)/36 + (X1(I)*
* X1(I)*T7)/12 + (X1(I)*T10)/6 - (X1(I)*
* H(I-1)*T11)/36 - (X1(I)*H(I-1)*T7)/
* 18 + T18/6
AD1 = (X1(I)*X1(I)*X1(I)*Y1(J)*T1)/12 +
* (X1(I)*X1(I)*X1(I)*T3)/12 + (X1(I)*X1(I)*
* Y1(J)*T7)/4 + (X1(I)*X1(I)*K(I,J))/4 +
* (X1(I)*Y1(J)*T10)/2
AD2 = (X1(I)*T12)/2 - (X1(I)*Y1(J)*H(I-1)*
* T11)/12 - (X1(I)*Y1(J)*H(I-1)*T7)/6 -
* (X1(I)*H(I-1)*K(I,J-1))/12 - (X1(I)*
* H(I-1)*K(I,J))/6 + (Y1(J)*N(I-1,J))/(2*
* T(J-1)) + N(I,J)/2
D(14) = AD1 + AD2
AD1 = (X1(I)*X1(I)*X1(I)*Y1(J)*Y1(J)*T1)/12 +

```

```

* (X1(I)*X1(I)*X1(I)*Y1(J)*T3)/6 + (X1(I)*
* X1(I)*X1(I)*T19)/(6*K(I-1)) - (X1(I)*X1(I)*
* X1(I)*M(J-1,I))/(2*K(I-1)*T(J-1))
AD2 = (X1(I)*X1(I)*X1(I)*M(J,I))/(6*K(I-1)*
* T(J-1)) - (X1(I)*X1(I)*X1(I)*T(J-1)*T5)/36 +
* (X1(I)*X1(I)*Y1(J)*Y1(J)*T7)/4 + (X1(I)*
* X1(I)*Y1(J)*K(I,J))/2 + (X1(I)*X1(I)*T8)/2 -
* (X1(I)*X1(I)*T(J-1)*(K(I-1,J)+K(I,J)))/12
AD3 = (X1(I)*Y1(J)*Y1(J)*T12)/2 + X1(I)*
* Y1(J)*T13 - (X1(I)*T(J-1)*
* T16)/6 - (X1(I)*T(J-1)*T12)/3 - (X1(I)*
* Y1(J)*Y1(J)*H(I-1)*T11)/12 - (X1(I)*
* Y1(J)*H(I-1)*K(I,J-1))/6 - (X1(I)*H(I-1)*
* T15)/6
AD4 = (X1(I)*H(I-1)*T(J-1)*(K(I-1,J-1) +
* K(I,J-1)))/36 - (X1(I)*Y1(J)*Y1(J)*H(I-1)*
* T7)/6 - (X1(I)*Y1(J)*H(I-1)*K(I,J))/3 -
* (X1(I)*H(I-1)*T8)/3
AD5 = (X1(I)*H(I-1)*T(J-1)*(K(I-1,J) +
* K(I,J)))/18 + (Y1(J)*Y1(J)*T18)/2 + Y1(J)*
* M(I,J) + T20 - (T(J-1)*N(I-1,J))/6 - (T(J-1)*
* N(I,J))/3
D(15) = AD1 + AD2 + AD3 + AD4 + AD5
AD1 = (X1(I)*X1(I)*X1(I)*Y1(J)*Y1(J)*Y1(J)*
* T1)/36 + (X1(I)*X1(I)*X1(I)*Y1(J)*Y1(J)*
* T3)/12 + (X1(I)*X1(I)*X1(I)*Y1(J)*T4)/6 -
* (X1(I)*X1(I)*X1(I)*Y1(J)*T(J-1)*T5)/36
AD2 = (X1(I)*X1(I)*X1(I)*T6)/6 + (X1(I)*
* X1(I)*Y1(J)*Y1(J)*Y1(J)*T7)/12 + (X1(I)*
* X1(I)*Y1(J)*Y1(J)*K(I,J))/4 + (X1(I)*X1(I)*
* Y1(J)*T8)/2 - (X1(I)*X1(I)*Y1(J)*T(J-1)*
* (K(I-1,J) + K(I,J)))/12

```

$$\begin{aligned}
AD3 &= (X1(I) * X1(I) + M(I,I)) / 2 + (X1(I) * \\
&\quad * Y1(J) * Y1(J) * Y1(J) * T10) / 6 + (X1(I) * Y1(J) * \\
&\quad * Y1(J) * T12) / 2 + X1(I) * Y1(J) * T13 - (X1(I) * \\
&\quad * Y1(J) * T(J-1) * T16) / 6 - (X1(I) * Y1(J) * \\
&\quad * T(J-1) * T12) / 3 \\
AD4 &= X1(I) * T17 - (X1(I) * Y1(J) * Y1(J) * \\
&\quad * Y1(J) * H(I-1) * T11) / 36 - (X1(I) * Y1(J) * \\
&\quad * Y1(J) * H(I-1) * K(I, J-1)) / 12 - (X1(I) * \\
&\quad * Y1(J) * H(I-1) * T19) / 6 + (X1(I) * Y1(J) * \\
&\quad * H(I-1) * T(T-1) * (K(J-1, J-1) + K(I, J-1))) / 36 \\
AD5 &= (X1(I) * H(I-1) * M(J-1, I)) / 6 - (Y1(I) * \\
&\quad * Y1(J) * Y1(J) * Y1(J) * H(I-1) * T7) / 18 - \\
&\quad * (X1(I) * Y1(J) * Y1(J) * H(I-1) * K(I, J)) / 6 - \\
&\quad * (X1(I) * Y1(J) * H(I-1) * T8) / 3 \\
AD6 &= ((X1(I) * Y1(J) * H(I-1) * T(T-1) * \\
&\quad * (K(I-1, J) + K(I, J))) / 18 - (X1(I) * H(I-1) * \\
&\quad * M(J, I)) / 3 + (Y1(J) * Y1(J) * Y1(J) * T18) / 6 + \\
&\quad * (Y1(J) * Y1(J) * N(I, J)) / 2 + Y1(J) * T20 - \\
&\quad * (Y1(J) * T(J-1) * M(I-1, J)) / 6 - (Y1(J) * T(J-1) * \\
&\quad * N(I, J)) / 3) / 10 ** 6 + F1(I, J) * 16 / 15 \\
D(16) &= (AD1 + AD2 + AD3 + AD4 + AD5) / 10 ** 6 + AD6
\end{aligned}$$

DO 1115 II = 1, 15  
 $D(II) = D(II) / 10 ** 6$

1115 CONTINUE  
PRINT 500, I, J, D(1), D(2), D(3), D(4), D(5), D(6), D(7), D(8)  
500 FORMAT (2I5/E10.3, 'X3Y3-', E10.3, 'X3Y2+', E10.3,  
\* 'X3Y1-', E10.3, 'X3-', E10.3, 'X2Y3+', E10.3, 'X2Y2-',  
\* E10.3, 'X2Y1+', E10.3, 'X2+',)  
PRINT 500, D(9), D(10), D(11), D(12), D(13), D(14), D(15), D(16)  
500 FORMAT (E10.3, 'X1Y3-', E10.3, 'X1Y2+', E10.3,  
\* 'X1Y1-', E10.3, 'X1-', E10.3, 'Y3+', E10.3, 'Y2-',  
\* E10.3, 'Y1+', E10.3)

$X = 52.7$   
 $Y = 809$   
C = D(1) + X \* X \* X \* Y \* Y \* Y - D(2) \* X \* Y \* X \* Y \* Y +  
\* D(3) \* X \* X \* X \* Y - D(4) \* X \* X \* X - D(5) \* X \* X \* Y \* Y \* Y +  
\* D(6) \* X \* X \* Y \* Y - D(7) \* X \* X \* Y + D(8) \* X \* X \* Y -  
\* D(9) \* X \* Y \* Y \* Y - D(10) \* X \* Y \* Y + D(11) \* X \* Y -  
\* D(12) \* X - D(13) \* Y \* Y \* Y + D(14) \* Y \* Y -  
\* D(15) \* Y + D(16)  
PRINT 900, I, J, C  
900 FORMAT (2I5/E10.3)  
300 CONTINUE  
200 CONTINUE  
STOP  
END

Вышеопредложенная программа осуществляет вычисление количественных взаимосвязей между динамическими рядами объемов основных производственных фондов, производственных ресурсов и валового общественного продукта. Полученные результаты дают возможность провести ретроспективный анализ экономических показателей и разработать их надежные прогнозы.

Поступила 11.1.1990

Проблемная лаборатория физической кибернетики

#### Литература

1. Н. Николадзе, К. Николадзе. Двухфакторная модель экономического роста. Труды ТГУ, 293, сер. хиб. и прикл. мат., 1990.
2. Дж. Альберг, Э. Нильсон, Дж. Уоли. Теория сплайнов и ее применение. М., "Мир", 1972.
3. С. А. Стрельц. Сплайны и их применение - экономика и математические методы. Вып. 3, 1971.
4. О. Б. Стечкин, Ю. Н. Суботин. Сплайны в вычислительной математике. М., "Наука", 1976.

Д. Г. ГУРГАСОУ, б. Б. БОЗОРОВУ

ОЗНАМЕНОВАНО ВРЕДНЫМ ПРИЧИНОВЛЕНИЕМ  
АРХИВНЫХ ДОКУМЕНТОВ

Б. С. Б. У. О. Ъ

СОВЕТ ПО УЧЕБНОМУ ИСПЫТАНИЮ  
МОСКОВСКОГО УНИВЕРСИТЕТА

K.Mikeladze, N.Nikoladze

AN ALGORITHM OF THE SOLUTION OF A TWO-FACTOR  
MODEL OF ECONOMIC EXPANSION

Summary

An algorithm of the solution of a two-factor model of economic expansion is presented.



Труды Тбилисского государственного университета

км. И. Чавахишвили

೭೩. ಆರ್ಥಿಕವಿಷಯದಲ್ಲಿ ಸಾರ್ಥಕ ವಿಜ್ಞಾನ ಪ್ರಯತ್ನಗಳನ್ನು ಮಾಡಿ.

ପ୍ରକାଶନ କମିଶନ୍ ଦ୍ୱାରା ମୁଦ୍ରଣ କରାଯାଇଥିଲା

300, 1990

## ОБ АЛГОРИТМЕ РЕШЕНИЯ ОДНОЙ ГРАНИЧНОЙ ЗАДАЧИ

## ГЕОМЕТРИЧЕСКИ НЕЛИНЕЙНОЙ ТЕОРИИ

М. И. Кезеуашвили

В настоящей работе строится алгоритм решения задачи изгиба наружной силой однородного анизотропного слабо изогнутого тела в физически линейной, но геометрически нелинейной постановке. Такая постановка интересна тем, что многие из новых материалов допускают большие перемещения и углы поворота, иногда винтить до разрушения, подчиняющегося при этом линейному закону Гука.

Пусть в декартовой системе координат  $\xi, \eta, \zeta$ ,  
дано однородное слабо изогнутое анизотропное тело, ограничен-  
ное боковой поверхностью:

$$F(\xi_1 + \frac{1}{2} K S_1^2, \eta_1) = 0$$

и плоскостями  $\zeta_1=0$  (нижнее закрепленное основание),  $\zeta_2=\ell$  (верхнее свободное основание), где  $K$  — малый параметр, квадратом и высшими степенями которого мы пренебрегаем.

Начало координат поместим в центре инерции нижнего закрепленного основания, а оси  $O_5$  и  $O_7$ , направим по главным осям инерции указанного основания, поперечное сечение которого обозначим через  $S'$ , а его границу через  $L$ .

Будем также считать, что боковая поверхность тела свобод-

на от внешних усилий, а усилия, приложенные к верхнему основанию  $S_2 = \ell$ , статически эквивалентны изгибающей паре сил с моментом  $M_0$  и направлены параллельно оси  $O\gamma_1$ .

Требуется в области, занятой телом, определить компоненты тензора напряжений и вектора смещения, удовлетворяющие всем известным условиям теории упругости.

Введем новую систему координат:

$$\xi = \xi_1 + \frac{1}{2} K S_1^2, \quad \eta = \gamma_1, \quad S = S_1, \quad (I)$$

тогда в пространстве  $\xi O \xi \eta$  рассматриваемое тело переходит в призматическое, ограниченное поверхностью  $F(\xi, \eta) = 0$ .

Если обозначим через  $x, y, z$  координаты точки тела после деформации, тогда

$$x = \xi + u, \quad y = \eta + v, \quad z = \zeta + w, \quad (2)$$

где  $u, v, w$  — компоненты смещения, которые являются функциями от координат  $x, y, z$ .

Соотношения между производными по координатам  $\xi, \eta, \zeta$  и  $x, y, z$  с точностью до  $K^2$  с учетом равенств (I) и (2) устанавливаются формулами:

$$\frac{\partial}{\partial x} = \left( 1 - \frac{\partial u}{\partial \xi} - K S \frac{\partial w}{\partial \xi} \right) \frac{\partial}{\partial \xi} - \frac{\partial v}{\partial \xi} \frac{\partial}{\partial \eta} - \frac{\partial w}{\partial \xi} \frac{\partial}{\partial S}, \quad (3)$$

$$\frac{\partial}{\partial y} = - \left( \frac{\partial u}{\partial \eta} + K S \frac{\partial w}{\partial \eta} \right) \frac{\partial}{\partial \xi} + \left( 1 - \frac{\partial v}{\partial \eta} \right) \frac{\partial}{\partial \eta} - \frac{\partial w}{\partial \eta} \frac{\partial}{\partial S},$$

$$\begin{aligned} \frac{\partial}{\partial z} = & \left[ - \frac{\partial u}{\partial S} + K S \left( 1 - \frac{\partial u}{\partial \xi} - \frac{\partial w}{\partial \xi} \right) \right] \frac{\partial}{\partial \xi} - \left( \frac{\partial v}{\partial S} + K S \frac{\partial v}{\partial \xi} \right) \frac{\partial}{\partial \eta} + \\ & + \left( 1 - \frac{\partial w}{\partial S} - K S \frac{\partial w}{\partial \xi} \right) \frac{\partial}{\partial S}. \end{aligned}$$

Зависимость между компонентами тензора деформации и компонентами вектора смещения в координатах конечного состояния в вышеуказанной постановке имеет вид:

$$\epsilon_{xx} = \frac{\partial u}{\partial x} - \frac{1}{2} \left[ \left( \frac{\partial u}{\partial x} \right)^2 + \left( \frac{\partial v}{\partial x} \right)^2 + \left( \frac{\partial w}{\partial x} \right)^2 \right], \quad (4)$$

$$\epsilon_{yz} = \frac{1}{2} \left( \frac{\partial v}{\partial z} + \frac{\partial w}{\partial y} \right) - \frac{1}{2} \left( \frac{\partial u}{\partial y} \frac{\partial u}{\partial z} + \frac{\partial v}{\partial y} \frac{\partial v}{\partial z} + \frac{\partial w}{\partial y} \frac{\partial w}{\partial z} \right).$$

Решение поставленной задачи в смещениях будем искать в следующем виде:

$$u = \frac{\beta}{2} (\xi_1 \xi^2 - \xi_2 \eta^2 + \zeta^2) + \beta K u_1 + \beta^2 u_2 + \beta^2 K u_3, \quad (5)$$

$$v = \beta (\xi_2 \xi \eta + \frac{1}{2} \xi_3 \xi^2) + \beta K v_1 + \beta^2 v_2 + \beta^2 K v_3,$$

$$w = -\beta \xi \zeta + \beta K w_1 + \beta^2 w_2 + \beta^2 K w_3,$$

где  $\beta = M_o (EI_i)^{-1}$  — малый параметр,  $\xi_i$  ( $i = 1, 2, 3$ ),  $E$  — упругие константы,  $u_1, v_1, w_1$  и  $u_2, v_2, w_2$  — известные компоненты смещения, построенные в работах /1/ и /2/, а  $u_3, v_3, w_3$  — искомые компоненты смещения, вызванные от учета слабой изогнутости оси данного тела при его изгибе парой сил, т.е. в вычислениях будем сохранять члены не только порядка  $\beta$ ,  $\beta_K$ ,  $\beta^2$ , но и порядка  $\beta^2 K$ .

Для компонентов деформации, соответствующих смещениям (5), с учетом формул (3) и (4), с принятой нами точностью, получим:



$$\begin{aligned} E_{xx} = & \beta G_1 \xi + \beta K \frac{\partial U_L}{\partial \xi} + \frac{1}{2} \beta^2 \left[ 2 \frac{\partial U_L}{\partial \xi} + G_2 \gamma^2 - (G_3 + 3G_1^2) \xi^2 + 5^2 \right] + \\ & + K \beta^2 \left( \frac{\partial U_L}{\partial \xi} + G_1 \xi^2 \right), \end{aligned}$$

$$\begin{aligned} \dot{\varepsilon}_{yy} &= \beta \varepsilon_2 \xi + \beta \kappa \frac{\partial v_t}{\partial \eta} + \frac{1}{2} \beta^2 \left( 2 \frac{\partial v_2}{\partial \eta} + \varepsilon_2 \gamma^2 + 2 \varepsilon_2 \varepsilon_3 \xi \gamma - 3 \varepsilon_2^2 \xi^2 \right) + \beta^2 \kappa \frac{\partial v_3}{\partial \eta}, \\ \varepsilon_{zz} &= -\beta (\xi + \kappa \gamma^2) + \beta \kappa \frac{\partial w_t}{\partial \zeta} + \frac{1}{2} \beta^2 \left( 2 \frac{\partial w_2}{\partial \zeta} + \gamma^2 - 3 \xi^2 \right) + \kappa \beta^2 \left[ \frac{\partial w_3}{\partial \zeta} - \right. \\ &\quad \left. - \xi \gamma (2 \gamma + 1 - \varepsilon_1 - \varepsilon_1 \gamma) \right], \end{aligned}$$

$$\begin{aligned} \epsilon_{xy} = & \frac{1}{2} \beta G_3 \xi + \frac{1}{2} \beta K \left( \frac{\partial u_1}{\partial \eta} + \frac{\partial v_1}{\partial \xi} \right) + \frac{1}{2} \beta^2 \left[ \frac{\partial u_2}{\partial \eta} + \frac{\partial v_2}{\partial \xi} + G_2 (G_3 - G_2) \xi \eta - \right. \\ & \left. - G_3 (G_1 + 2G_2) \xi^2 \right] + \frac{1}{2} \beta^2 K \left[ \frac{\partial u_3}{\partial \eta} + \frac{\partial v_3}{\partial \xi} + 5^2 (G_2 \eta + G_3 \xi) \right], \end{aligned} \quad (6)$$

$$\begin{aligned} E_{xz} = & \frac{1}{2}\beta K \left( \frac{\partial u_1}{\partial \xi} + \frac{\partial w_1}{\partial \xi} + \epsilon_1 \xi \zeta \right) + \frac{1}{2}\beta^2 \left[ \frac{\partial u_2}{\partial \xi} + \frac{\partial w_2}{\partial \xi} - \zeta(1+\epsilon_2) \right] + \\ & + \frac{1}{2}\beta^2 \left\{ \frac{\partial u_3}{\partial \xi} + \frac{\partial w_3}{\partial \xi} + 5 \left[ \xi^2 (\bar{\epsilon}_1 - \epsilon_3^2 - 2\epsilon_1^2) - \epsilon_2 \epsilon_3 \xi \eta - 5^2 \right] \right\}, \end{aligned}$$

$$\epsilon_{yz} = \frac{1}{2} \beta K \left[ \frac{\partial v_1}{\partial \xi} + \frac{\partial w_1}{\partial \eta} + 5(\epsilon_2 \gamma + \epsilon_3 \xi) \right] + \frac{1}{2} \beta^2 \left[ \frac{\partial v_2}{\partial \xi} + \frac{\partial w_2}{\partial \eta} - 5(\epsilon_2 \gamma + \epsilon_3 \xi) \right] + \frac{1}{2} \beta^2 K \left\{ \frac{\partial v_3}{\partial \xi} + \frac{\partial w_3}{\partial \eta} + \xi \zeta [ \epsilon_2 \gamma + \epsilon_3 \xi (\eta - \xi) - 2\epsilon_2 (\epsilon_2 \gamma + \epsilon_3 \xi) ] \right\}.$$

Введем обозначения:

$$J_{11} = \frac{1}{2} \left[ (3G_1 + G_3^2) H + 3G_2^2 H + 2G_3(G_1 + 2G_3) Q + 3G \right] \xi^{-2} - G_2 [G_3 H + Q(G_1 - G_2)] \xi \eta - \frac{1}{2} G_2^2 (H + H) \eta^2, \quad (7)$$

$$A_{22} = \frac{1}{2} \left[ (3\epsilon_1 + \epsilon_3^2) H + 3\epsilon_2^2 B + 2\epsilon_3 (\epsilon_1 + 2\epsilon_2) R + 3F \right] \xi^2 \epsilon_2 [\epsilon_3 B + R(\epsilon_1 - \epsilon_2)] \xi \eta - \frac{1}{2} \epsilon_2^2 (H + B) \eta^2,$$

$$A_{12} = \frac{1}{2} \left[ (3\epsilon_1 + \epsilon_3^2) Q + 3\epsilon_2^2 R + 2\epsilon_3 (\epsilon_1 + 2\epsilon_2) D + 3T \right] \xi^2 \epsilon_2 [\epsilon_3 R + D(\epsilon_1 - \epsilon_2)] \xi \eta - \frac{1}{2} \epsilon_2^2 (Q + R) \eta^2,$$

$$A_{33} = \frac{1}{2} \left[ (3\epsilon_1 + \epsilon_3^2) G + 3\epsilon_2^2 F + 2\epsilon_3 (\epsilon_1 + 2\epsilon_2) T + 3C \right] \xi^2 \epsilon_2 [\epsilon_3 F + T(\epsilon_1 - \epsilon_2)] \xi \eta - \frac{1}{2} \epsilon_2^2 (G + F) \eta^2,$$

$$A_{13} = \xi (M\epsilon_1 + N\epsilon_3) + N\epsilon_2 \eta, \quad A_{23} = \xi (N\epsilon_1 + L\epsilon_3) + L\epsilon_2 \eta;$$

$$B_{11} = [(\epsilon_1 - 2)G + H\epsilon_1 + Q\epsilon_3] \xi + Q\epsilon_2 \eta, \quad C_{11} = -\frac{1}{2} (H + G),$$

$$B_{22} = [(\epsilon_1 - 2)F + H\epsilon_1 + R\epsilon_3] \xi + R\epsilon_2 \eta, \quad C_{22} = -\frac{1}{2} (H + F),$$

$$B_{33} = [(\epsilon_1 - 2)C + G\epsilon_1 + T\epsilon_3] \xi + T\epsilon_2 \eta, \quad C_{33} = -\frac{1}{2} (G + C),$$

$$B_{12} = [(\epsilon_1 - 2)T + Q\epsilon_1 + D\epsilon_3] \xi + D\epsilon_2 \eta, \quad C_{12} = -\frac{1}{2} (Q + T),$$

$$B_{13} = [M(1 + \epsilon_1) + N\epsilon_3] \xi + N\epsilon_2 \eta, \quad B_{23} = [N(1 + \epsilon_1) + L\epsilon_3] \xi + L\epsilon_2 \eta,$$

$$E_{11} = (\epsilon_1 - 1)\xi G, \quad E_{22} = (\epsilon_1 - 1)\xi F, \quad E_{12} = (\epsilon_1 - 1)\xi T, \quad E_{33} = (\epsilon_1 - 1)\xi C,$$

$$E_{13} = [M(\epsilon_1 - \epsilon_3^2 - 2\epsilon_1^2) + N\epsilon_3(1 - \epsilon_1) - 2N\epsilon_2\epsilon_3] \xi^2 + \epsilon_2(N - M\epsilon_3 - 2N\epsilon_2) \xi \eta.$$

$$E_{23} = [N(\epsilon_1 - \epsilon_3^2 - 2\epsilon_1^2) + L\epsilon_3(1 - \epsilon_1) - 2L\epsilon_2\epsilon_3] \xi^2 + \epsilon_2(L - N\epsilon_3 - 2L\epsilon_2) \xi \eta,$$

где  $A, B, C, \dots, R, T$  — упругие постоянные.

С учетом этих обозначений и равенств (6) для компонентов напряжений, определенных по линейному закону Гука, получим:

$$\mathcal{T}_x = \beta K \left[ \tau_{11}^{(1)} - G \xi^2 \right] + \beta^2 \left[ \tau_{11}^{(2)} - H_{11} - C_{11} \xi^2 \right] + \beta^2 K \left[ B_{11} \xi^2 + E_{11} \xi + \tau_{11}^{(3)} \right],$$

$$\mathcal{T}_y = \beta K \left[ \tau_{22}^{(1)} - F \xi^2 \right] + \beta^2 \left[ \tau_{22}^{(2)} - H_{22} - C_{22} \xi^2 \right] + \beta^2 K \left[ B_{22} \xi^2 + E_{22} \xi + \tau_{22}^{(3)} \right],$$

$$\mathcal{T}_z = \beta K \left[ \tau_{33}^{(1)} - D \xi^2 \right] + \beta^2 \left[ \tau_{33}^{(2)} - H_{33} - C_{33} \xi^2 \right] + \beta^2 K \left[ B_{33} \xi^2 + E_{33} \xi + \tau_{33}^{(3)} \right] - \alpha E \xi, \quad (8)$$

$$\mathcal{T}_y = \beta K \left[ \tau_{12}^{(1)} - T \xi^2 \right] + \beta^2 \left[ \tau_{12}^{(2)} - H_{12} - C_{12} \xi^2 \right] + \beta^2 K \left[ B_{12} \xi^2 + E_{12} \xi + \tau_{12}^{(3)} \right],$$

$$\mathcal{T}_z = \beta K \left[ \tau_{13}^{(1)} + H_{13} \xi \right] + \beta^2 \left[ \tau_{13}^{(2)} - B_{13} \xi \right] + \beta^2 K \left[ E_{13} \xi - M \xi^3 + \tau_{13}^{(3)} \right],$$

$$\mathcal{T}_x = \beta K \left[ \tau_{23}^{(1)} + H_{23} \xi \right] + \beta^2 \left[ \tau_{23}^{(2)} - B_{23} \xi \right] + \beta^2 K \left[ E_{23} \xi - N \xi^3 + \tau_{23}^{(3)} \right],$$

где  $\tau_{11}^{(3)}, \tau_{22}^{(3)}, \dots, \tau_{33}^{(3)}$  — искомые компоненты напряжения, соответствующие смещениям  $u_3, v_3, w_3$ , а  $\tau_{11}^{(1)}, \tau_{22}^{(1)}$ , ...,  $\tau_{23}^{(1)}$  и  $\tau_{11}^{(2)}, \tau_{22}^{(2)}, \dots, \tau_{23}^{(2)}$  — компоненты напряжения, соответствующие смещениям  $u_1, v_1, w_1$  и  $u_2, v_2, w_2$ , которые по данным работ /1/ и /2/ равны:

$$\tau_{11}^{(1)} = G \xi^2 + f_{11} = G \left[ \xi^2 + \frac{1}{2} \left( \frac{E L}{m^2} - \tilde{\epsilon}_1 \right) \xi^2 - \left( \frac{E N}{m^2} + \tilde{\epsilon}_3 \right) \xi \eta - \tilde{\epsilon}_2 \eta^2 \right] + E \frac{\partial^2 \Phi^*}{\partial \eta^2} - U_o^* + (M \varphi + \frac{1}{2} N \xi^2 - M \xi \eta) \tau_o^*,$$

$$\tau_{22}^{(1)} = F \xi^2 + f_{22} = F \left[ \xi^2 + \frac{1}{2} \left( \frac{E L}{m^2} - \tilde{\epsilon}_1 \right) \xi^2 - \left( \frac{E N}{m^2} + \tilde{\epsilon}_3 \right) \xi \eta - \tilde{\epsilon}_2 \eta^2 \right] + E \frac{\partial^2 \Phi^*}{\partial \xi^2} - V_o^* + (\lambda \varphi - \frac{1}{2} N \eta^2 + \lambda \xi \eta) \tau_o^*,$$

$$\tau_{12}^{(1)} = T \xi^2 + f_{12} = T \left[ \xi^2 + \frac{1}{2} \left( \frac{E L}{m^2} - \tilde{\epsilon}_1 \right) \xi^2 - \left( \frac{E N}{m^2} + \tilde{\epsilon}_3 \right) \xi \eta - \tilde{\epsilon}_2 \eta^2 \right] - E \frac{\partial^2 \Phi^*}{\partial \xi \partial \eta} + N \xi \eta \varphi,$$

$$\tau_{33}^{(1)} = C \xi^2 + f_{33} = C \left[ \xi^2 + \frac{1}{2} \left( \frac{E L}{m^2} - \tilde{\epsilon}_1 \right) \xi^2 - \left( \frac{E N}{m^2} + \tilde{\epsilon}_3 \right) \xi \eta - \tilde{\epsilon}_2 \eta^2 \right] + \tilde{\epsilon}_2 \left( E \frac{\partial^2 \Phi^*}{\partial \eta^2} - U_o^* \right) + \tilde{\epsilon}_2 \left( E \frac{\partial^2 \Phi^*}{\partial \xi^2} - V_o^* \right) - E \tilde{\epsilon}_3 \frac{\partial^2 \Phi^*}{\partial \xi \partial \eta} + [\tilde{\epsilon}_1 M + \tilde{\epsilon}_2 L + \tilde{\epsilon}_3 N - E] \varphi +$$

$$+ \tilde{G}_2 (\tilde{L} \xi \eta - \frac{1}{\lambda} N \eta^2) + \tilde{G}_3 (\frac{1}{\lambda} N \xi^2 - M \xi \eta) \Big] r_o^*,$$

$$\tau_{13}^{(1)} = f_{13} \tilde{\zeta} = \left[ (E - M \tilde{G}_1 - N \tilde{G}_3) \xi - N \tilde{G}_3 \eta - (M \frac{\partial \varphi}{\partial \xi} + N \frac{\partial \varphi}{\partial \eta} + N \xi - M \eta) r_o^* \right] \tilde{\zeta},$$

$$\tau_{23}^{(1)} = f_{23} \tilde{\zeta} = \left[ (-N \tilde{G}_1 - L \tilde{G}_3) \xi - L \tilde{G}_2 \eta - (L \frac{\partial \varphi}{\partial \eta} + N \frac{\partial \varphi}{\partial \xi} + L \xi - N \eta) r_o^* \right] \tilde{\zeta},$$

$$\begin{aligned} \tau_{11}^{(2)} = C_{11} \tilde{\zeta}^2 + \varphi_{11} &= C_{11} \tilde{\zeta}^2 + \frac{\partial^2 \varphi^{**}}{\partial \eta^2} - 2M (2C_o \varphi + d_o \omega^{**}) - 2C_o N \xi^2 + \\ &+ \left[ 2(M \tilde{G}_3 + \frac{NE}{\lambda}) \xi \eta - N \tilde{G}_1 \xi^2 \right] d_o + \int \left( \frac{\partial H_{11}}{\partial \xi} + \frac{\partial H_{12}}{\partial \eta} + B_{13} \right) d\xi, \end{aligned}$$

$$\begin{aligned} \tau_{22}^{(2)} = C_{22} \tilde{\zeta}^2 + \varphi_{22} &= C_{22} \tilde{\zeta}^2 + \frac{\partial^2 \varphi^{**}}{\partial \xi^2} - 2L (2C_o \varphi + d_o \omega^{**}) + 2C_o N \eta^2 + \\ &+ \left[ (N \tilde{G}_3 + E) \eta^2 - 2L \tilde{G}_1 \xi \eta \right] d_o + \int \left( \frac{\partial H_{12}}{\partial \xi} + \frac{\partial H_{22}}{\partial \eta} + B_{23} \right) d\eta, \quad (9) \end{aligned}$$

$$\tau_{12}^{(2)} = C_{12} \tilde{\zeta}^2 + \varphi_{12} = C_{12} \tilde{\zeta}^2 - \frac{\partial^2 \varphi^{**}}{\partial \xi \partial \eta} - 2N (2C_o \varphi + d_o \omega^{**}) + 2C_o (M \eta^2 - L \xi^2),$$

$$\begin{aligned} \tau_{33}^{(2)} = C_{33} \tilde{\zeta}^2 + \varphi_{33} &= C_{33} \tilde{\zeta}^2 + G_1 \frac{\partial^2 \varphi^{**}}{\partial \eta^2} + G_2 \frac{\partial^2 \varphi^{**}}{\partial \xi^2} - G_3 \frac{\partial^2 \varphi^{**}}{\partial \xi \partial \eta} - 2(2C_o \varphi + \\ &+ d_o \omega^{**}) (M \tilde{G}_1 + L \tilde{G}_2 + N \tilde{G}_3 - E) - 2C_o \left[ (N \tilde{G}_1 + L \tilde{G}_3) \xi^2 - (N \tilde{G}_2 + M \tilde{G}_3) \eta^2 \right] + \\ &+ d_o G_1 \left[ 2(M \tilde{G}_3 + \frac{NE}{\lambda}) \xi \eta - N \tilde{G}_1 \xi^2 \right] + d_o G_2 \left[ (N \tilde{G}_3 + E) \eta^2 - 2L \tilde{G}_1 \xi \eta \right] + \\ &+ d_o E \left[ G_1 (\xi^2 + \xi \eta) + (G_2 - \frac{E}{\lambda}) \eta^2 \right] - \frac{1}{\lambda} (G + C) G_3 \xi \eta + \frac{G_3^2}{8G_1 G_2} (G + C) (G_1 \xi^2 + G_2 \eta^2) + \\ &+ G_1 \int \left( \frac{\partial H_{11}}{\partial \xi} + \frac{\partial H_{12}}{\partial \eta} + B_{13} \right) d\xi + G_2 \int \left( \frac{\partial H_{12}}{\partial \xi} + \frac{\partial H_{22}}{\partial \eta} + B_{23} \right) d\eta, \end{aligned}$$

$$\begin{aligned} \tau_{13}^{(2)} = \varphi_{13} \tilde{\zeta} &= \left\{ 2N \frac{\partial}{\partial \eta} (2C_o \varphi + d_o \omega^{**}) + 2M \frac{\partial}{\partial \xi} (2C_o \varphi + d_o \omega^{**}) + \right. \\ &\left. + 4C_o (N \xi - M \eta) - 2d_o \left[ (M \tilde{G}_3 + \frac{NE}{\lambda}) \eta - N \tilde{G}_1 \xi \right] + \frac{1}{E} \left[ 2(M \tilde{G}_1 \xi + N \tilde{G}_2 \eta) + \right. \right. \end{aligned}$$

$$+ \frac{\xi_3^2}{4G_1 G_2} (G+C)(M\xi_1 \xi + N\xi_3 \eta) \} \xi + N\xi - M\eta \} \xi,$$

$$\tau_{23}^{(2)} = \varphi_{23} \xi = \left\{ 2G \frac{\partial}{\partial \eta} (2C_0 \varphi + d_0 \omega^{**}) + 2N \frac{\partial}{\partial \xi} (2C_0 \varphi + d_0 \omega^{**}) + \right.$$

$$+ 4C_0 (\xi \xi - N\eta) - 2d_0 [(N\xi_3 + E)\eta - M\xi_1 \xi] + \frac{1}{E} [2(Nd_1 \xi + \lambda C_0 \eta) +$$

$$+ \frac{\xi_3^2 (G+C)}{4G_1 G_2} (N\xi_1 \xi + M\xi_3 \eta)] + M\xi - N\eta \} \xi,$$

где функции  $\varphi^*$ ,  $\varphi^{**}$ ,  $\omega^*$ ,  $\omega^{**}$  удовлетворяют определенным граничным условиям, а  $C_0$ ,  $d_0$ ,  $M_0^*$ ,  $V_0^*$  имеют определенные значения.

Подставляя значения компонентов напряжения (8) в уравнения равновесия и используя равенства (3), (9), а также результаты работ /1/ и /2/, получим следующую систему уравнений:

$$\frac{\partial \tau_{11}^{(3)}}{\partial \xi} + \frac{\partial \tau_{12}^{(3)}}{\partial \eta} + \frac{\partial \tau_{13}^{(3)}}{\partial \xi} + \left( \frac{\partial B_{11}}{\partial \xi} + \frac{\partial B_{13}}{\partial \eta} - 3M + \frac{\partial U_3}{\partial \xi} \right) \xi^2 + \frac{\partial E_{11}}{\partial \xi} \xi + \frac{\partial U_0}{\partial \xi} = 0, \quad (10)$$

$$\frac{\partial \tau_{12}^{(3)}}{\partial \xi} + \frac{\partial \tau_{22}^{(3)}}{\partial \eta} + \frac{\partial \tau_{23}^{(3)}}{\partial \xi} + \left( \frac{\partial B_{12}}{\partial \xi} + \frac{\partial B_{22}}{\partial \eta} - 3N + \frac{\partial V_3}{\partial \eta} \right) \xi^2 + \frac{\partial E_{12}}{\partial \xi} \xi + \frac{\partial V_0}{\partial \eta} = 0,$$

$$\frac{\partial \tau_{13}^{(3)}}{\partial \xi} + \frac{\partial \tau_{23}^{(3)}}{\partial \eta} + \frac{\partial \tau_{33}^{(3)}}{\partial \xi} + \Theta_0 \xi + E_{33} = 0,$$

где введены обозначения:

$$\frac{\partial U_3}{\partial \xi} = - \frac{\partial U_{13}}{\partial \xi} - \frac{\partial B_{13}}{\partial \xi} - 2G + \frac{\partial \varphi_{13}}{\partial \xi} - \frac{\partial f_{13}}{\partial \xi},$$

$$\frac{\partial V_c}{\partial \xi} = G_2 \eta \frac{\partial f_{12}}{\partial \xi} - G_2 \xi \frac{\partial f_{11}}{\partial \eta} - G_3 \xi \frac{\partial f_{11}}{\partial \xi} - (G_2 \eta + G_3 \xi) \frac{\partial f_{11}}{\partial \eta} + \xi (f_{13} + f_{11,3}) + E_{13},$$

$$\frac{\partial V_a}{\partial \eta} = - \frac{\partial f_{23}}{\partial \xi} - \frac{\partial B_{23}}{\partial \xi} - 2T + \frac{\partial \Psi_{23}}{\partial \xi} - \frac{\partial f_{23}}{\partial \xi},$$

$$\frac{\partial V_o}{\partial \eta} = G_2 \eta \frac{\partial f_{22}}{\partial \xi} - G_2 \xi \frac{\partial f_{21}}{\partial \eta} - G_3 \xi \frac{\partial f_{21}}{\partial \xi} - (G_2 \eta + G_3 \xi) \frac{\partial f_{21}}{\partial \eta} + \xi (f_{23} + f_{21,3}) + E_{23},$$

$$C_o(\xi, \eta) = \frac{\partial E_{13}}{\partial \xi} + \frac{\partial E_{23}}{\partial \eta} - (G_2 \eta + G_3 \xi) \left( \frac{\partial A_{13}}{\partial \eta} + \frac{\partial f_{13}}{\partial \eta} \right) - G_2 \xi \left( \frac{\partial A_{13}}{\partial \xi} + \frac{\partial f_{13}}{\partial \xi} \right) +$$

$$+ G_2 \eta \left( \frac{\partial A_{23}}{\partial \xi} + \frac{\partial f_{23}}{\partial \xi} \right) - G_2 \xi \left( \frac{\partial A_{23}}{\partial \eta} + \frac{\partial f_{23}}{\partial \eta} \right) + \frac{\partial \Psi_{23}}{\partial \xi} - \frac{\partial f_{23}}{\partial \xi} - \frac{\partial \Omega_{23}}{\partial \xi} +$$

$$+ (G_2 E - E - 2C) \xi + 2 D_{33} + f_{13} + f_{13}.$$

Зависимость между направляющими косинусами нормали деформированной и недеформированной поверхности с точностью до  $K$ ,  $\beta$ ,  $\beta K$  будет иметь вид:

$$\cos n_x^* = \cos n_x^* \xi + \beta \{ \xi \cos n_x^* \xi [ -G_1 + G_2 \cos^2 n_x^* \xi + G_3 \cos n_x^* \xi \cos n_x^* \eta + G_2 \cos^2 n_x^* \eta ] - (G_2 \eta + G_3 \xi) \cos n_x^* \eta \}, \quad (12)$$

$$\cos n_y^* = \cos n_y^* \eta + \beta \{ \xi \eta \cos n_y^* \xi + \xi [ G_1 \cos^2 n_y^* \xi + G_3 \cos n_y^* \xi \cos n_y^* \eta + G_2 \cos^2 n_y^* \eta - G_1 ] \cos n_y^* \eta \},$$

$$\cos n_z^* = -\beta \xi \cos n_z^* \xi + K \xi \cos n_z^* \xi + \beta K \xi \{ \xi [(1-G_1) + G_2 \cos^2 n_z^* \xi + G_3 \cos n_z^* \xi \cos n_z^* \eta + G_2 \cos^2 n_z^* \eta + G_1] \cos n_z^* \xi - (G_2 \eta + G_3 \xi) \cos n_z^* \eta \}$$

Учитывая равенства (8) и (12), получим следующие гравитационные условия для рассматриваемого тела на контуре  $\mathcal{L}$ :

$$\begin{aligned} \tau_{11}^{(3)} \cos n_1^{\wedge} \xi + \tau_{12}^{(3)} \cos n_1^{\wedge} \eta &= [(P_2^{(1)} - B_{11}) \xi^2 - E_{11} \xi + P_0^{(1)}] \cos n_1^{\wedge} \xi + \\ &+ [(P_2^{(2)} - B_{12}) \xi^2 - E_{12} \xi + P_0^{(2)}] \cos n_1^{\wedge} \eta, \end{aligned} \quad (13)$$

$$\begin{aligned} \tau_{12}^{(3)} \cos n_1^{\wedge} \xi + \tau_{22}^{(3)} \cos n_1^{\wedge} \eta &= [(Q_2^{(1)} - B_{12}) \xi^2 - E_{12} \xi + Q_0^{(1)}] \cos n_1^{\wedge} \xi + \\ &+ [(Q_2^{(2)} - B_{22}) \xi^2 - E_{22} \xi + Q_0^{(2)}] \cos n_1^{\wedge} \eta, \end{aligned}$$

$$\begin{aligned} \tau_{13}^{(3)} \cos n_1^{\wedge} \xi + \tau_{23}^{(3)} \cos n_1^{\wedge} \eta &= [(C_{33} - C + M) \xi^3 + R_1^{(1)} \xi] \cos n_1^{\wedge} \xi + \\ &+ [N \xi^3 + R_1^{(2)} \xi] \cos n_1^{\wedge} \eta, \end{aligned}$$

где

$$P_2^{(1)} = -G \xi_1 \xi + T \xi_2 \eta + B_{13} + H_{13} - \varphi_{13} + f_{13},$$

$$P_0^{(1)} = \xi_1 \xi f_{11} - \xi_2 \eta f_{12},$$

$$P_2^{(2)} = -G(\xi_2 \eta + \xi_3 \xi) - \xi_2 \xi T,$$

$$P_0^{(2)} = (\xi_2 \eta + \xi_3 \xi) f_{11} + \xi_2 \xi f_{12},$$

$$Q_2^{(1)} = -T \xi_1 \xi + F \xi_2 \eta + B_{23} + H_{23} - \varphi_{23} + f_{23},$$

$$Q_0^{(1)} = -T(\xi_2 \eta + \xi_3 \xi) - \xi_2 \xi F,$$

$$Q_0^{(2)} = \xi_1 \xi f_{21} - \xi_2 \eta \varphi_{22},$$

$$Q_0^{(2)} = (\xi_2 \eta + \xi_3 \xi) f_{21} + \xi_2 \xi f_{22},$$

$$R_1^{(1)} = \xi_1 \xi (H_{13} + f_{13}) - \xi_2 \eta (H_{23} + f_{23}) + \xi^2 E (1 - \xi) - \varphi_{33} + H_{33} + f_{33} - E_{13},$$

$$R_1^{(2)} = \xi_2 \xi (H_{23} + f_{23}) + (\xi_2 \eta + \xi_3 \xi) (H_{13} + f_{13} - E \xi) - E_{23}.$$

Решение задачи в компонентах напряжений будем искать в виде /3/:

$$\begin{aligned} \tau_{11}^{(3)} = & -B_{11} 5^2 E_{11} \xi - M \omega - \frac{E \xi^2 d}{2} + \int \xi (M b_2 + N M_2) d\xi + \sum_{K=0}^1 \xi^{2K} \left[ E \frac{\partial^2 \Phi_{2K}}{\partial \eta^2} - \right. \\ & - U_{2K} + M (P_{2K} f + q_{2K} \psi + r_{2K} \varphi) - \left( \frac{E}{6} \xi^3 - \frac{m^2}{\lambda} \tilde{G}_3 \xi \gamma^2 \right) P_{2K} - \frac{1}{2\omega} (N E + \right. \\ & \left. \left. + \tilde{G}_3 m^2 \right) \xi \gamma^2 q_{2K} + \xi \left( \frac{1}{2} N \xi - M \eta \right) r_{2K} \right], \end{aligned}$$

$$\begin{aligned} \tau_{12}^{(3)} = & -B_{12} 5^2 E_{12} \xi - N \omega + \sum_{K=0}^1 \xi^{2K} \left[ N (P_{2K} f + q_{2K} \psi + r_{2K} \varphi) - E \frac{\partial^2 \Phi_{2K}}{\partial \xi \partial \eta} \right], \\ \tau_{33}^{(3)} = & -B_{33} 5^2 E_{33} \xi + (E - G_1 M - G_2 L - G_3 N) \omega - \left[ \frac{E}{2} (\tilde{G}_2 \gamma^2 + 2\tilde{G}_1 \xi^2 - \frac{E - N G_3}{M} \xi^2) + \right. \\ & + \frac{G_2}{M} (E N + G_3 m^2) \xi \eta - \frac{1}{2} S E \int d\xi + \tilde{G}_1 \int (M b_2 + N M_2) d\xi + \tilde{G}_2 \int (L M_2 + N L_2) d\eta + \\ & + E \beta_{33} \Phi_2 + \sum_{K=0}^1 \xi^{2K} \left\{ \tilde{G}_1 \left( E \frac{\partial^2 \Phi_{2K}}{\partial \eta^2} - U_{2K} \right) + \tilde{G}_2 \left( E \frac{\partial^2 \Phi_{2K}}{\partial \xi^2} - V_{2K} \right) - E \tilde{G}_3 \frac{\partial^2 \Phi_{2K}}{\partial \xi \partial \eta} + \right. \\ & + (G_1 M + G_2 L + G_3 N - E) (P_{2K} f + q_{2K} \psi + r_{2K} \varphi) + \left[ \frac{E}{3} \left( \frac{G_2 N}{\lambda} \eta^3 + \frac{E - 2 M G_1 - G_3 N}{2 M} \xi^3 \right) + \right. \\ & + \tilde{G}_2 \left( \tilde{G}_1 \frac{m^2}{\lambda} - \frac{E}{2} \right) \xi \eta^2 - \frac{G_2}{2 M} (E N + G_3 m^2) \xi^2 \eta \right] P_{2K} + \left[ \tilde{G}_1 \left( \tilde{G}_2 \frac{m^2}{2 M} - \frac{E}{2} \right) \xi^2 \eta - \right. \\ & \left. - \frac{G_1}{2\omega} (N E + G_3 m^2) \xi \eta^2 + \frac{E}{3} \left( \frac{G_2 N}{M} \xi^3 + \frac{E - 2 M G_1 - G_3 N}{2 M} \eta^3 \right) \right] q_{2K} + \left[ \tilde{G}_2 \eta (E \xi - \right. \\ & \left. - \frac{1}{2} N \eta) + \tilde{G}_1 \xi \left( \frac{1}{2} N \xi - M \eta \right) \right] r_{2K} - \frac{E \xi^2}{(2K+1)(2K+2)} \left[ P_{2K} \xi + q_{2K} \eta \right] \}, \end{aligned}$$

$$\begin{aligned} \tau_{13}^{(3)} = & (M - C + C_{13}) 5^3 + \left( M \frac{\partial \omega}{\partial \xi} + N \frac{\partial \omega}{\partial \eta} + E \xi d - M b_2 - N M_2 \right) 5 + \\ & + \sum_{K=0}^1 \frac{\xi^{2K+1}}{2K+1} \left[ \left( \frac{E}{2} \xi^2 \tilde{G}_2 \frac{m^2}{\lambda} \eta^2 - M \frac{\partial f}{\partial \xi} - N \frac{\partial f}{\partial \eta} \right) P_{2K} + \frac{1}{2\omega} (N E \eta^2 + \right. \\ & \left. + m^2 \tilde{G}_3 \eta^2 - M \frac{\partial \psi}{\partial \xi} - N \frac{\partial \psi}{\partial \eta} \right) q_{2K} + \left( M \eta - N \xi - M \frac{\partial \varphi}{\partial \xi} - N \frac{\partial \varphi}{\partial \eta} \right) r_{2K} \right], \end{aligned}$$

$$\begin{aligned} \tau_{23}^{(3)} = & N \xi^3 + \left[ \lambda \frac{\partial \omega}{\partial \eta} + N \frac{\partial \omega}{\partial \xi} + \frac{1}{M} (NE + G_3 m^2) \xi d - LM - NL_2 \right] \xi + \\ & + \sum_{K=0}^1 \frac{\xi^{2K+1}}{2K+1} \left[ \left( \frac{NE}{2M} \xi^2 + G_3 \frac{m^2}{2M} \xi^2 - \lambda \frac{\partial f}{\partial \eta} - N \frac{\partial f}{\partial \xi} \right) P_{2K} + \left( \frac{E}{2} \eta^2 - \right. \right. \\ & \left. \left. - G_1 \frac{m^2}{M} \xi^2 - \lambda \frac{\partial \varphi}{\partial \eta} - N \frac{\partial \varphi}{\partial \xi} \right) q_{2K} + (M\eta - L\xi - \lambda \frac{\partial \varphi}{\partial \eta} - N \frac{\partial \varphi}{\partial \xi}) \tau_{2K} \right], \end{aligned}$$

где  $m^2 = ML - N^2$ ,  $\Psi(\xi, \eta)$  – функция кручения однородного анизотропного призматического тела,  $f(\xi, \eta)$ ,  $\varphi(\xi, \eta)$  – известные функции /4/, а  $P_{2K}$ ,  $q_{2K}$ ,  $\tau_{2K}$  ( $K=0,1$ ).  $d$  – постоянные, подлежащие определению.

Можно проверкой показать, что напряжения (I4) будут удовлетворять всем условиям поставленной задачи, если функции  $\Phi_{2K}$  ( $K=0,1$ ),  $\omega$  являются решениями следующих граничных задач:

$$\begin{aligned} 1^o \quad E \Delta_1^{(0)} \Phi = & - (\beta_{11} M + \beta_{12} L + \beta_{13} N + E G_1) \left( P_0 \frac{\partial^2 f}{\partial \xi^2} + q_0 \frac{\partial^2 \varphi}{\partial \eta^2} + \tilde{q}_0 \frac{\partial^2 \varphi}{\partial \xi^2} \right) - (\beta_{22} M + \beta_{23} L + \\ & + \beta_{33} N + E G_2) \left( P_0 \frac{\partial^2 f}{\partial \xi^2} + q_0 \frac{\partial^2 \varphi}{\partial \xi^2} + \tilde{q}_0 \frac{\partial^2 \varphi}{\partial \eta^2} \right) + (\beta_{13} M + \beta_{23} L + \beta_{33} N + E G_3) \left( P_0 \frac{\partial^2 f}{\partial \xi \partial \eta} + \right. \\ & \left. + q_0 \frac{\partial^2 \varphi}{\partial \xi \partial \eta} + \tilde{q}_0 \frac{\partial^2 \varphi}{\partial \xi \partial \eta} \right) + \frac{\partial^2}{\partial \eta^2} (\beta_{11} U_0 + \beta_{12} V_0) + \frac{\partial^2}{\partial \xi^2} (\beta_{12} U_0 + \beta_{22} V_0) - \\ & - \frac{\partial^2}{\partial \xi \partial \eta} (\beta_{13} U_0 + \beta_{23} V_0) + \left[ E \left( \beta_{12} + G_2 \frac{E - N G_3}{M} \right) - 2G_2 \left( E G_1 + \beta_{11} \frac{m^2}{L} \right) - \right. \\ & \left. - \frac{\beta_{13}}{M} (N E + G_3 m^2) \right] \xi P_0 + \left[ 2\beta_{23} G_1 \frac{m^2}{M} + G_1 E \left( G_3 + 2G_2 \frac{N}{M} \right) + \frac{\beta_{11}}{L} (N E + \right. \end{aligned}$$

$$\begin{aligned}
 & + \xi_3 m^2) \int \xi q_o + \left[ E \left( \beta_{12} + \xi_1 \frac{E - \xi_3 N}{\lambda} \right) - \frac{\beta_{13}}{\lambda} (NE + \xi_3 m^2) - 2\xi_1 \left( \beta_{22} \frac{m^2}{M} + \right. \right. \\
 & \left. \left. + E \xi_2 \right) \right] \eta q_o + \left[ 2\xi_2 \beta_{13} \frac{m^2}{\lambda} + \frac{\beta_{22}}{M} (NE + \xi_3 m^2) + \xi_2 E \left( \xi_3 + 2\xi_1 \frac{N}{\lambda} \right) \eta P_o + \right. \\
 & \left. + (L \beta_{23} - M \beta_{13}) \right] \eta \int \left( M \beta_M + L \beta_{12} + N \beta_{13} + \xi_3 E \right) \frac{\partial^2 \omega}{\partial \eta^2} + \left( L \beta_{22} + M \beta_{12} + \right. \\
 & \left. + N \beta_{23} + \xi_2 E \right) \frac{\partial^2 \omega}{\partial \xi^2} - \left( M \beta_{13} + L \beta_{23} + N \beta_{33} + \xi_3 E \right) \frac{\partial^2 \omega}{\partial \xi \partial \eta} - \\
 & - \left[ \frac{\beta_{23}}{M} \left( EN + m^2 \xi_3 \right) - \beta_{12} E + E \xi_2 \left( 2\xi_1 - \frac{E - N \xi_3}{M} \right) \right] d\eta - \\
 & - \beta_{11} \frac{\partial^2}{\partial \eta^2} \int (M b_2 + N M_2) d\xi - \beta_{22} \frac{\partial^2}{\partial \xi^2} \int (L M_2 + N b_2) d\eta + \\
 & + \beta_{13} \left( M \frac{\partial b_2}{\partial \eta} + N \frac{\partial M_2}{\partial \eta} \right) + \beta_{23} \left( L \frac{\partial M_2}{\partial \xi} + N \frac{\partial b_2}{\partial \xi} \right) - \beta_{12} \left( M \frac{\partial b_2}{\partial \xi} + N \frac{\partial M_2}{\partial \xi} + \right. \\
 & \left. + L \frac{\partial M_2}{\partial \eta} + N \frac{\partial b_2}{\partial \eta} \right) - E \beta_{33} \left( \xi_3 \frac{\partial^2 \Phi_2}{\partial \xi \partial \eta} - \xi_2 \frac{\partial^2 \Phi_1}{\partial \xi^2} - \xi_1 \frac{\partial^2 \Phi_3}{\partial \eta^2} \right)
 \end{aligned}$$

в области S,

$$\begin{aligned}
 E \frac{\partial \Phi_o}{\partial \eta} = & \int \int \left[ P_o^{(1)} + U_o - M(P_o f + q_o \varphi + r_o \psi) + \left( \frac{E}{6} \xi^3 - \frac{m^2}{\lambda} \xi_2 \xi \eta^2 \right) P_o + \frac{1}{2\lambda} (NE + \right. \\
 & \left. + \xi_3 m^2) \xi \eta^2 q_o - \xi \left( \frac{1}{2} N \xi - M \eta \right) r_o + M \omega + \frac{1}{2} \xi^2 d - \int (M \omega_2 + \right. \\
 & \left. + N M_2) d\xi \right] \cos n \hat{\xi} + \int \left[ P_o^{(2)} - N(P_o f + q_o \varphi + r_o \psi - \omega) \right] \cos n \hat{\eta} \} dS' \\
 E \frac{\partial \Phi_o}{\partial \xi} = & - \int \int \left[ Q_o^{(2)} + V_o - L(P_o f + q_o \varphi + r_o \psi) + \left( \frac{E}{6} \eta^3 - \xi_1 \frac{m^2}{M} \xi^2 \eta \right) q_o + \frac{1}{2M} (NE +
 \right.
 \end{aligned}$$

$$+\xi_3 m^2) \xi^2 \eta P_o + \eta (\frac{1}{2} N \eta - \lambda \xi) \tau_o + \lambda \omega - \frac{1}{M} (E N + m^2 \xi_3) \xi \eta d - \\ - \int_{-\pi}^{\pi} (\lambda M_2 + N \lambda_2) d\eta \left[ \cos n \hat{\eta} \eta + \left[ Q_c^{(0)} - N(P_o f + q_o \varphi + \tau_o \psi - \omega) \right] \cos n \hat{\xi} \xi \right] ds$$

на контуре  $\lambda$ :

$$\therefore E \Delta_i^{(2)} \Phi = -(\beta_{11} M + \beta_{12} \lambda + \beta_{13} N + E \xi_1) \left( P_o \frac{\partial^2 f}{\partial \eta^2} + q_o \frac{\partial^2 \varphi}{\partial \eta^2} + \tau_o \frac{\partial^2 \psi}{\partial \eta^2} \right) - (\beta_{12} M + \beta_{22} \lambda + \\ + \beta_{23} N + E \xi_2) \left( P_o \frac{\partial^2 f}{\partial \xi^2} + q_o \frac{\partial^2 \varphi}{\partial \xi^2} + \tau_o \frac{\partial^2 \psi}{\partial \xi^2} \right) + (\beta_{13} M + \beta_{23} \lambda + \beta_{33} N + E \xi_3) \left( P_o \frac{\partial^2 f}{\partial \xi \partial \eta} + \right. \\ \left. + q_o \frac{\partial^2 \varphi}{\partial \xi \partial \eta} + \tau_o \frac{\partial^2 \psi}{\partial \xi \partial \eta} \right) + \frac{\partial^2}{\partial \eta^2} \left( \beta_{11} U_o + \beta_{12} V_o \right) + \frac{\partial^2}{\partial \xi^2} \left( \beta_{12} U_o + \beta_{22} V_o \right) - \\ - \frac{\partial^2}{\partial \xi \partial \eta} \left( \beta_{13} U_o + \beta_{23} V_o \right) + \left[ E \left( \beta_{12} + \xi_2 \frac{E - N \xi_3}{M} \right) - 2 \xi_2 \left( E \xi_1 + \beta_{11} \frac{m^2}{\lambda} \right) - \right. \\ \left. - \frac{\beta_{13}}{M} (N E + \xi_3 m^2) \right] \xi P_o + \left[ 2 \beta_{23} \xi_1 \frac{m^2}{M} + \xi_1 E \left( \xi_3 + 2 \xi_2 \frac{N}{M} \right) + \frac{\beta_{11}}{\lambda} (N E + \xi_3 m^2) \right] \xi q_o + \\ + \left[ E \left( \beta_{12} + \xi_2 \frac{E - N \xi_3}{\lambda} \right) - \frac{\beta_{12}}{\lambda} (N E + \xi_3 m^2) - 2 \xi_1 \left( \beta_{12} \frac{m^2}{M} + E \xi_2 \right) \right] \eta q_o + \\ + \left[ 2 \xi_2 \beta_{13} \frac{m^2}{\lambda} + \frac{\beta_{13}}{M} (N E + \xi_3 m^2) + \xi_2 E \left( \xi_3 + d \xi_1 \frac{N}{\lambda} \right) \right] \eta P_o + (2 \beta_{13} - M \beta_{12}) \tau_o$$

в области  $S$ ,

$$E \frac{\partial \varphi_o}{\partial \eta} = \int_0^S \left[ \left[ P_o^{(0)} + U_o - M(P_o f + q_o \varphi + \tau_o \psi) + \left( \frac{E}{6} \xi^3 - \frac{m^2}{\lambda} \xi \cdot \eta^2 \right) P_o + \frac{d}{2 \lambda} (N E^2 + \right. \right. \\ \left. \left. + \xi_3 m^2) \xi^2 \eta \right] - \xi \left( \frac{1}{2} N \xi - M \eta \right) \eta P_o \right] \cos n \hat{\eta} \eta + \left[ P_o^{(0)} - N(P_o f + q_o \varphi + \right. \\ \left. + \tau_o \psi) \right] \cos n \hat{\xi} \xi \right] ds,$$

$$E \frac{\partial \Phi_3}{\partial \xi} = - \int \left[ \left( Q_2^{(2)} + V_2 - b(P_2 f + q_2 \psi) + \tilde{r}_2 \varphi \right) \cdot \left( \frac{E}{6} \eta^3 - 5 \frac{m^2}{M} \xi^2 \eta \right) q_2 + \frac{1}{2M} (NE + \right. \right. \\ \left. \left. + G_3 m^2) \xi^2 \eta P_2 + \eta \left( \frac{1}{2} N \eta - b \xi \right) \tilde{r}_2 \int \cos n \hat{\xi} + \left[ Q_2^{(2)} - N(P_2 f + q_2 \psi + \right. \right. \\ \left. \left. + \tilde{r}_2 \varphi) \right] \int \cos n \hat{\xi} \right] dS$$

на контуре  $L$ ;

$$\begin{aligned}
3^{\circ} \Delta_1 \omega = & \frac{\partial E_{13}}{\partial \xi} - \frac{\partial H_{33}}{\partial \xi} + \frac{\partial E_{23}}{\partial \eta} + \frac{\partial \Phi_{33}}{\partial \xi} - \frac{\partial f_{33}}{\partial \xi} - \tilde{\epsilon}_{15} \left( \frac{\partial H_{13}}{\partial \xi} + \frac{\partial f_{13}}{\partial \xi} \right) - \\
& - \tilde{\epsilon}_{25} \left( \frac{\partial H_{23}}{\partial \eta} + \frac{\partial f_{23}}{\partial \eta} \right) - (\tilde{\epsilon}_2 \eta + \tilde{\epsilon}_3 \xi) \left( \frac{\partial H_{13}}{\partial \eta} + \frac{\partial f_{13}}{\partial \eta} \right) + \tilde{\epsilon}_2 \eta \left( \frac{\partial H_{23}}{\partial \xi} + \frac{\partial f_{23}}{\partial \xi} \right) + \\
& + f_{13} + f_{23} - [E(1-\tilde{\epsilon}_1) + 2C] \xi - 2 \int \tilde{\epsilon}_1 \left( E \frac{\partial^2 \Phi_2}{\partial \eta^2} - U_2 \right) + \tilde{\epsilon}_2 \left( E \frac{\partial^2 \Phi_2}{\partial \xi^2} - V_2 \right) - \\
& - E \tilde{\epsilon}_3 \frac{\partial^2 \Phi_2}{\partial \xi \partial \eta} + (\tilde{\epsilon}_1 M + \tilde{\epsilon}_2 L + \tilde{\epsilon}_3 N - E) (P_2 f + q_2 \varphi + r_2 \psi) + \frac{E}{3} \left( \frac{E - 2L \tilde{\epsilon}_2 - \tilde{\epsilon}_3 N}{2L} \eta^3 + \right. \\
& \left. + \tilde{\epsilon}_1 \frac{N}{M} \xi^3 \right) q_2 + \frac{E}{3} \left( \frac{E - 2M \tilde{\epsilon}_1 - \tilde{\epsilon}_3 N}{2M} \xi^3 + \tilde{\epsilon}_2 \frac{N}{L} \eta^3 \right) + \left[ \tilde{\epsilon}_2 \left( \tilde{\epsilon}_1 \frac{m^2}{L} - \frac{E}{2} \right) \xi \eta^2 + \right. \\
& \left. - \frac{\tilde{\epsilon}_2}{2M} (E \eta + \tilde{\epsilon}_3 m^2) \xi^2 \eta \right] P_2 + \left[ \tilde{\epsilon}_1 \left( \tilde{\epsilon}_2 \frac{m^2}{M} - \frac{E}{2} \right) \xi^2 \eta - \frac{\tilde{\epsilon}_1}{2L} (NE + \tilde{\epsilon}_3 m^2) \xi \eta^3 \right] q_2 + \\
& + \left[ \tilde{\epsilon}_2 \eta \left( \lambda \xi - \frac{1}{\alpha} N \eta \right) + \tilde{\epsilon}_1 \xi \left( \frac{1}{\alpha} N \xi - M \eta \right) \right] r_2 - M \frac{\partial b_2}{\partial \xi} - N \frac{\partial M_2}{\partial \xi} - L \frac{\partial M_2}{\partial \eta} - N \frac{\partial b_2}{\partial \eta}
\end{aligned}$$

в области  $S'$ ,

$$\frac{d_1\omega}{dn} = [R_1^{(1)} - dE\xi + M\omega_2 + NM_2] \cos n, \xi + \\ + [R_1^{(2)} - \frac{d}{M}(EN + G_3 m^2)\xi + \omega M_2 + N\omega_2] \cos n, \eta$$

на контуре  $\mathcal{L}$ , где

$$L_2 = -\frac{2}{E} \int^{\xi} \left\{ \beta_{11} \left( E \frac{\partial^2 \Phi_3}{\partial \eta^2} - U_2 \right) + \beta_{12} \left( E \frac{\partial^2 \Phi_3}{\partial \xi^2} - V_2 \right) - \beta_{13} E \frac{\partial^2 \Phi_3}{\partial \xi \partial \eta} + \frac{E}{2} \beta_{33} \frac{\partial^2 \Phi_3}{\partial \xi^2} + \right. \\ \left. + (M\beta_{11} + L\beta_{22} + N\beta_{13} + E\delta_1) (P_2 f + q_2 \psi + r_2 \varphi) - \frac{E}{6} \eta^3 (\beta_{12} - \delta_1 \delta_2 + \delta_1 \frac{E - G_3 N}{6L}) \dot{\varphi}_2 \right\}$$

$$\begin{aligned}
 & -\frac{E}{6}(\beta_{11}-\tilde{\sigma}_1^2+\tilde{\sigma}_1)\frac{E-G_3N}{M}\xi^3P_2 + [\beta_{12}\xi(\frac{1}{\lambda}NE-M\eta)+\beta_{22}\eta(\lambda\xi-\frac{1}{\lambda}N\eta)]\gamma_2 - \\
 & -\frac{1}{2M}\beta_{12}(NE+\tilde{\sigma}_3m^2)\xi^3\eta P_2 + \tilde{\sigma}_2(\beta_{11}\frac{m^2}{\lambda}+\frac{E}{\lambda}\tilde{\sigma}_1)\xi\eta^2P_2 - \frac{1}{3}E\frac{\tilde{\sigma}_1^2N}{M}\xi^3\eta_2 - \\
 & -\frac{1}{3}E\tilde{\sigma}_1\tilde{\sigma}_2\frac{N}{\lambda}\eta^3P_2 - \frac{1}{2\lambda}\beta_{11}(NE+\tilde{\sigma}_3m^2)\xi\eta^2\eta_2 + \tilde{\sigma}_1(\beta_{11}\frac{m^2}{M}+\frac{E\tilde{\sigma}_1}{2})\xi^2\eta_2 + h(\eta), \\
 M_d = & -\frac{2}{E}\int \int \beta_{12}\left(E\frac{\partial^2\Phi_2}{\partial\eta^2}-U_2\right) + \beta_{22}\left(E\frac{\partial^2\Phi_2}{\partial\xi^2}-V_2\right) - \beta_{23}E\frac{\partial^2\Phi_2}{\partial\xi\partial\eta} + \frac{E}{\lambda}\beta_{33}\frac{\partial^2\Phi_2}{\partial\eta^2} + \\
 & + (M\beta_{12}+\lambda\beta_{23}+N\beta_{23}+\tilde{\sigma}_2E)(P_2f+q_2\varphi+r_2\psi) - \frac{E}{6}(\beta_{12}-\tilde{\sigma}_1\tilde{\sigma}_2+\tilde{\sigma}_2\frac{E-G_3N}{M})\xi^3P_2 - \\
 & - \frac{E}{6}(\beta_{22}-\tilde{\sigma}_2^2+\tilde{\sigma}_2\frac{E-G_3N}{\lambda})\eta^3\eta_2 + \tilde{\sigma}_2(\beta_{22}\frac{m^2}{\lambda}+\frac{\tilde{\sigma}_2E}{\lambda})\xi\eta^2P_2 - \frac{1}{2M}\beta_{22}(NE+ \\
 & + \tilde{\sigma}_3m^2)\xi^2\eta P_2 - \frac{1}{3}E\frac{\tilde{\sigma}_2^2N}{M}\xi^3\eta_2 + \tilde{\sigma}_2(\beta_{22}\frac{m^2}{M}+\frac{E\tilde{\sigma}_2}{2})\xi^2\eta_2 - \frac{1}{2\lambda}\beta_{12}(NE+ \\
 & + \tilde{\sigma}_3m^2)\xi\eta^2\eta_2 - \frac{1}{3}E\tilde{\sigma}_1\tilde{\sigma}_2\frac{N}{M}\xi^3\eta_2 + [\beta_{12}\xi(\frac{1}{\lambda}NE-M\eta)+\beta_{22}\eta(\lambda\xi-\frac{1}{\lambda}N\eta)]\gamma_2 + h(\xi),
 \end{aligned}$$

где неизвестные функции  $h(\eta)$  и  $h(\xi)$  определяются из условия:

$$\begin{aligned}
 \frac{\partial M_d}{\partial\xi} + \frac{\partial M_d}{\partial\eta} = & -\frac{2}{E}\int \beta_{13}\left(E\frac{\partial^2\Phi_2}{\partial\eta^2}-U_2\right) + \beta_{23}\left(E\frac{\partial^2\Phi_2}{\partial\xi^2}-V_2\right) - (M\beta_{13}+\lambda\beta_{23}+N\beta_{33}+ \\
 & + E\tilde{\sigma}_1)(P_2f+q_2\varphi+r_2\psi) - \frac{E}{6}(\beta_{13}-\tilde{\sigma}_1\tilde{\sigma}_3+\tilde{\sigma}_3\frac{E-G_3N}{M})\xi^3P_2 + \tilde{\sigma}_2(\beta_{13}\frac{m^2}{\lambda}+ \\
 & + \frac{\tilde{\sigma}_2E}{\lambda})\xi\eta^2P_2 - \frac{1}{2M}\beta_{13}(NE+\tilde{\sigma}_3m^2)\xi^2\eta P_2 - \frac{E}{3}\tilde{\sigma}_2\tilde{\sigma}_3\frac{N}{\lambda}\eta^3P_2 - \\
 & - \frac{E}{6}(\beta_{13}-\tilde{\sigma}_2\tilde{\sigma}_3+\tilde{\sigma}_3\frac{E-G_3N}{\lambda})\eta^3\eta_2 + \tilde{\sigma}_2(\beta_{13}\frac{m^2}{M}+\frac{E\tilde{\sigma}_3}{\lambda})\xi^2\eta\eta_2 -
 \end{aligned}$$

$$-\frac{1}{\lambda} \int_{\gamma_2} \left( \frac{NE}{\xi} + \tilde{\epsilon}_3 \frac{m^2}{M} \right) \xi \eta^2 q_2 - \frac{EN}{3M} \tilde{\epsilon}_1 \tilde{\epsilon}_3 \xi^3 q_2 + \left[ \beta_{13} \xi \left( \frac{1}{\lambda} N \xi - M \eta \right) - \right. \\ \left. - \beta_{23} \eta \left( \frac{1}{\lambda} N \eta - \lambda \xi \right) \right] q_2 \}.$$

Постоянныи  $P_{\alpha\kappa}$ ,  $q_{\alpha\kappa}$ ,  $\tau_{\alpha\kappa}$  ( $\kappa = 0, I$ ) определяются из условий однозначности частных производных  $\partial \varphi_{\alpha\kappa} / \partial \xi$ ,  $\partial \varphi_{\alpha\kappa} / \partial \eta$ , и самой функции  $\varphi_{\alpha\kappa}(\xi, \eta)$  ( $\kappa = 0, I$ ) при обходе контура  $L$  и соответственно будут равны:

$$\begin{aligned} P_o &= \frac{1}{I_\eta} \iint [f_{11} (\tilde{\epsilon}_1 + \tilde{\epsilon}_2) + \xi (f_{13} + H_{13}) + E_{13} + M \frac{\partial \omega}{\partial \xi} + N \frac{\partial \omega}{\partial \eta} - M b_2 - N M_2] d\xi d\eta, \\ Q_o &= \frac{1}{I_\xi} \iint [f_{12} (\tilde{\epsilon}_1 + \tilde{\epsilon}_2) + \xi (f_{23} + H_{23}) + E_{23} + \lambda \frac{\partial \omega}{\partial \eta} + N \frac{\partial \omega}{\partial \xi} - \lambda M_2 - N b_2] d\xi d\eta, \\ \tau_o &= \frac{1}{D} \iint \left\{ \xi \left[ 2 \tilde{\epsilon}_1 f_{12} + \xi (f_{23} + H_{23}) - \tilde{\epsilon}_3 f_{11} + E_{23} \right] - \eta \left[ f_{11} (\tilde{\epsilon}_1 + 2 \tilde{\epsilon}_2) + \right. \right. \\ &\quad \left. \left. + \tilde{\epsilon}_2 f_{22} + E_{13} + \xi H_{13} \right] + \left[ (M \eta - N \xi) \frac{\partial f}{\partial \xi} + (N \eta - \lambda \xi) \frac{\partial f}{\partial \eta} \right] \right\} P_o + \\ &\quad + \left[ (M \eta - N \xi) \frac{\partial \varphi}{\partial \xi} + (N \eta - \lambda \xi) \frac{\partial \varphi}{\partial \eta} \right] Q_o + \int \frac{1}{2M} (NE + \tilde{\epsilon}_3 m^2) \xi^3 + \left( \frac{m^2}{\lambda} \tilde{\epsilon}_2 \eta^3 - \right. \\ &\quad \left. - \frac{E}{2} \xi^2 \eta \right) \] P_o + \left[ \frac{E}{2} \eta^2 \xi - \tilde{\epsilon}_1 \frac{m^2}{M} \xi^3 - \frac{1}{2\lambda} (NE + \tilde{\epsilon}_3 m^2) \eta^3 \right] Q_o + (N \xi - \right. \\ &\quad \left. - M \eta) \frac{\partial \omega}{\partial \xi} + (\lambda \xi - N \eta) \frac{\partial \omega}{\partial \eta} + \xi (\lambda M_2 + N b_2) + \eta (M b_2 + N M_2) - \right. \\ &\quad \left. - \frac{1}{M} (EN + m^2) \xi^2 d\eta \right\} d\xi d\eta, \end{aligned}$$

$$P_2 = -GS(\tilde{\epsilon}_1 + \tilde{\epsilon}_2 + \lambda) I_\eta^{-1}, \quad q_2 = -TS(\tilde{\epsilon}_1 + \tilde{\epsilon}_2 + \lambda) I_\xi^{-1},$$

$$\tau_2 = \frac{1}{D} \iint \left\{ B_{23} + H_{23} - \varphi_{23} + f_{23} + \left[ (M \eta - N \xi) \frac{\partial f}{\partial \xi} + (N \eta - \lambda \xi) \frac{\partial f}{\partial \eta} \right] + \right.$$

$$+ \frac{1}{2M} (NE + \epsilon_3 m^2) \xi^3 - \left( \frac{E}{2} \xi^2 \gamma - \frac{m^2}{\lambda} \epsilon_2 \gamma^3 \right) \right] P_2 + \left[ (M\gamma - NE) \frac{\partial \psi}{\partial \xi} + (N\gamma - \mu_E) \frac{\partial \psi}{\partial \eta} + \frac{E}{2} \gamma^2 \xi - \epsilon_1 \frac{m^2}{M} \xi^3 - \frac{1}{2\lambda} (N + \epsilon_3 m^2) \gamma^3 \right] q_2 \} d\xi d\eta,$$

где  $S$  — площадь поперечного сечения  $S$ ,  $D$  — жесткость при кручении однородного анизотропного призматического тела, а  $I_\xi$  и  $I_\eta$  — моменты инерции основания тела относительно осей  $O\xi$  и  $O\eta$  соответственно.

Из условия существования функции  $\omega(\xi, \eta)$  получаем значение постоянной  $d$ :

$$d = \frac{1 + \epsilon_1 + \epsilon_3}{ES} \iint f_{13} d\xi d\eta + \frac{2}{ES} \iint \left\{ \epsilon_1 \left( E \frac{\partial^2 \phi_1}{\partial \eta^2} - U_1 \right) + \epsilon_1 \left( E \frac{\partial^2 \phi_2}{\partial \xi^2} - V_2 \right) - E \epsilon_3 \frac{\partial^2 \phi_2}{\partial \xi \partial \eta} + (\epsilon_1 M + \epsilon_2 \mu + \epsilon_3 N - E) (P_2 f + q_2 \psi + r_2 \varphi) - \frac{E}{3} \left( \frac{E - 2\mu \epsilon_2 - \epsilon_3 N}{2\lambda} \right) \eta^3 + + \epsilon_1 \frac{N}{M} \xi^3 \right\} q_1 - \frac{E}{3} \left( \frac{E - 2M\epsilon_1 - \epsilon_3 N}{2M} \xi^3 + \frac{\epsilon_2 N}{\lambda} \eta^3 \right) P_2 - \left[ \epsilon_1 \left( \frac{\epsilon_2 m^2}{M} - \frac{E}{2} \right) \xi \eta^2 - - \frac{\epsilon_1}{2M} (EN + \epsilon_3 m^2) \xi^2 \eta \right] P_2 - \left[ \epsilon_1 \left( \frac{\epsilon_2 m^2}{M} - \frac{E}{2} \right) \xi^2 \eta - \frac{\epsilon_1}{2\lambda} (NE + \epsilon_3 m^2) \xi \eta^3 \right] q_2 + + \frac{1}{2} N (\epsilon_1 \xi^2 - \epsilon_2 \eta^2) r_2 \} d\xi d\eta.$$

Искомые смещения  $U_3$ ,  $V_3$ ,  $W_3$ , соответствующие напряжениям (14), определим с помощью известного приема линейной теории упругости.

Наконец, отметим, что для удовлетворения торцевых условий на торце  $\xi_2 = l$  необходимо на полученные решения (14) добавить решения определенных задач Сен-Венана.

Поступила 26. I. 1990

Кафедра математического обеспечения ЭВМ

### Литература

1. М.И.Кезерашвили. К вопросу изгиба парой сил однородного анизотропного стержня со слабо изогнутой осью. Тр.ТГУ, сер. киберн.и .приклад. матем., 1987, № 272(8), 86-96.
2. К.М.Долаберидзе. Изгиб парой сил однородных геометрических нелинейных анизотропных цилиндрических брусьев. Тр. ГИИ, 1973, № 6(162), 136-139.
3. Р.Т.Зивзивадзе, Р.А.Берекашвили. Обобщение задачи Альманзи для составных анизотропных цилиндрических брусьев. Тр.ГИИ, 1984, № 9(279), 130-135.
4. А.К.Рухадзе. С.В. Бердзенишвили. О двух вспомогательных функциях для однородного анизотропного призматического бруса эллиптического сечения. Тр.ГИИ, 1984, № 9(279), 127-129.
5. კუცერაშვილი  
მთხვეობისა და მარტივი მოვლენის გრძი დასავალი  
ამოცანის აღმსაში აღმოჩენის შედეგი

რ ე გ ი ს ი ს

მოცემულია მეომეავრიული არანიზივი ერთგულოვანი თენავ გა-  
უნდრო ანიზოტროპული სხეულის მყვიდვარით ღებვის ამოცანის ამოხსნის  
აღმოჩენითი,

ამოცანა მიიღვანება სხეულის განვითარების მიმართ სამ  
სასაბური ამოცანამდე, რომელია ამოხსნამდა ნაჩვენებია,

M. Kezerashvili

ON AN ALGORITHM OF THE SOLUTION OF ONE BOUNDARY  
PROBLEM OF GEOMETRICALLY NON-LINEAR THEORY

Summary

An algorithm is presented for solving the problem of bending a geometrically non-linear slightly bent anisotropic homogeneous body by coupled force.

The solution of the problem is reduced to three boundary value problems for plane section (cross-section of a body). The solvability of these problems is shown.

им. И. Джавахишвили

ივ. ჯავახიშვილის სახ., იბირისის სახელმწიფო

## უნივერსიტეტის ძრობები

300, 1990

# УПЛОТНИЯЙЩИЙ ОПЕРАТОР ОДНОЙ СИСТЕМЫ УРАВНЕНИЙ И ЕЕ РАЗРЕШИМОСТЬ

Д.Г.Перадзе

В последнее время все большее применение в теории пластинок и оболочек находит модель Тимошенко /1/. Математически она почти не исследована, что в основном объясняется сложной нелинейностью соответствующей системы дифференциальных уравнений. Эта система в случае пластиинки имеет вид

$$\frac{\partial N_1}{\partial x_1} + \frac{\partial T}{\partial x_2} + P_1 = 0, \quad \frac{\partial T}{\partial x_1} + \frac{\partial N_2}{\partial x_2} + P_2 = 0, \quad (1)$$

$$\frac{\partial Q_1}{\partial x_1} + \frac{\partial Q_2}{\partial x_2} + \frac{\partial}{\partial x_1} \left( N_1 \frac{\partial W}{\partial x_1} + T \frac{\partial W}{\partial x_2} \right) + \frac{\partial}{\partial x_2} \left( T \frac{\partial W}{\partial x_1} + N_2 \frac{\partial W}{\partial x_2} \right) + q = 0,$$

$$\frac{\partial M_1}{\partial x_i} + \frac{\partial H}{\partial x_{n+i}} - Q_1 = 0, \quad \frac{\partial H}{\partial x_1} + \frac{\partial M_2}{\partial x_2} - Q_2 = 0,$$

$$\text{где } N_1 = \frac{Eh}{1-\nu^2} \left\{ \frac{\partial u_1}{\partial x_1} + \frac{1}{2} \left( \frac{\partial w}{\partial x_1} \right)^2 + \nu \left[ \frac{\partial u_2}{\partial x_2} + \frac{1}{2} \left( \frac{\partial w}{\partial x_2} \right)^2 \right] \right\},$$

$$N_2 = \frac{Eh}{1-\nu\lambda} \left\{ \frac{\partial u_2}{\partial x_2} + \frac{1}{2} \left( \frac{\partial w}{\partial x_2} \right)^2 + \nu \left[ \frac{\partial u_1}{\partial x_1} + \frac{1}{2} \left( \frac{\partial w}{\partial x_1} \right)^2 \right] \right\},$$

$$T = \frac{Eh}{2(1+\nu)} \left( \frac{\partial u_1}{\partial x_1} + \frac{\partial u_2}{\partial x_1} + \frac{\partial w}{\partial x_1} \frac{\partial w}{\partial x_2} \right), \quad Q_1 = \kappa^2 \frac{Eh}{2(1+\nu)} \left( \frac{\partial w}{\partial x_1} + q_2 \right),$$

$$Q_1 = K^2 \frac{E\hbar}{2(4+\nu)} \left( \frac{\partial w}{\partial x_2} + Q_2 \right), \quad M_1 = D \left( \frac{\partial Q_1}{\partial x_1} + \nu \frac{\partial Q_2}{\partial x_3} \right), \quad M_2 = D \left( \frac{\partial Q_2}{\partial x_2} + \nu \frac{\partial Q_1}{\partial x_3} \right),$$

$$H = D \frac{1-\gamma}{\lambda} \left( \frac{\partial \psi_1}{\partial x_2} + \frac{\partial \psi_2}{\partial x_1} \right),$$

$u_1, u_2, w, \varphi_1, \varphi_2$  - искомые,  $P_1, P_2, q$  - заданные приложенные функции аргументов  $x_1, x_2, (x_1, x_2) \in \bar{\Omega}$ ,  $\bar{\Omega}$  - область с границей  $\partial\bar{\Omega}$ , занимаемая пластинкой в плане,  $E, h$ ,  $\nu, k, D$  - известные положительные постоянные,  $0 < \nu < \frac{1}{2}$ ,  $D = \frac{Eh^3}{12(1-\nu^2)}$ .

Дополним (I) краевыми условиями

$$u_1 = u_2 = w = \varphi_1 = \varphi_2 = 0 \quad \text{на } \partial\bar{\Omega}. \quad (2)$$

Будем искать решение (I), (2) в  $(C^{2,\alpha}(\bar{\Omega}))^5$ ,  $0 < \alpha < 1/2$ .

Под  $(C^{m,\alpha}(\bar{\Omega}))^n$  понимается пространство  $n$ -размер-

ных вектор-функций с компонентами из  $C^{m,\alpha}(\bar{\Omega})$  и нормой

$\|v\|_{l,m,\alpha} = \|v_1\|_{m,\alpha} + \|v_2\|_{m,\alpha} + \dots + \|v_n\|_{m,\alpha} \quad \text{для } v = (v_1, v_2, \dots, v_n) \in$

$\in (C^{m,\alpha}(\bar{\Omega}))^n$ , где  $\|\omega\|_{m,\alpha} = \sum_{|\ell|=0}^m \sup_{x \in \bar{\Omega}} |D^\ell \omega(x)| + \sum_{|\ell|=m} |\langle D^\ell \omega(x) \rangle_{\bar{\Omega}}^{(\alpha)}|$ ,

$$x = (x_1, x_2), \quad \ell = (\ell_1, \ell_2), \quad \langle \omega_1 \rangle_{\bar{\Omega}}^{(\alpha)} = \sup_{x, x' \in \bar{\Omega}} \frac{|\omega_1(x) - \omega_1(x')|}{|x - x'|^\alpha}.$$

Нам потребуются соотношения

$$\|\Delta^{-1}\|_{4,0,\alpha} \leq \gamma_1, \quad (3)$$

$$\|\Delta^{-1}\|_{4,\alpha} \leq \gamma_2, \quad (4)$$

$$\|(ab-I)^{-1}\|_{4,0,\alpha} \leq \gamma_3 \quad (5)$$

для норм операторов, обратных к  $\Delta$ ,  $\Delta$ ,  $ab-I$ , при однородных граничных условиях Дирихле. Здесь

$$J_2 = \begin{pmatrix} (A+jI) \frac{\partial^4}{\partial x_1^4} I^4 \frac{\partial^2}{\partial x_2^2}, & (A+jI) \frac{\partial^2}{\partial x_1 \partial x_2} \\ (A+jI) \frac{\partial^2}{\partial x_1 \partial x_2}, & j^4 \frac{\partial^2}{\partial x_1^2} + (A+jI) \frac{\partial^2}{\partial x_2^2} \end{pmatrix} \quad \begin{array}{l} \text{- оператор} \\ \text{плоской теории} \end{array}$$

упругости  $\Delta = \frac{\partial^2}{\partial x_1^2} + \frac{\partial^2}{\partial x_2^2}$ ,  $I$  — единичный оператор,  $A = -\frac{y}{1-y^2}$

$$B = \frac{1}{2(1+y)}, \quad G = \frac{y^2(1+y)}{6\kappa^2}.$$

Предполагается, что  $B^{-1}, (AB-I)^{-1}$  переводят  $(C^{0,\alpha}(\bar{\Omega}))^2$  в  $(C^{2,\alpha}(\bar{\Omega}))^2$ , а оператор  $\Delta^{-1}$  переводит  $C^{0,\alpha}(\bar{\Omega})$  в  $C^{2,\alpha}(\bar{\Omega})$ .

Введем величины

$$m_1 = \frac{2\delta_2 S}{(1-y)K^2} \left( \frac{\delta_2 S}{1-y^2} + \frac{1}{2} \right), \quad m_2 = 1 - \delta_2 S \sqrt{\frac{2(1+y)IP}{K^2 Eh}} \left( \frac{y_1}{1-y^2} + 1 \right) + \delta_2 S,$$

$$m_3 = \frac{2\delta_2(1+y)IQ_{10}K}{K^2 Eh}, \quad m_4 = \frac{y_1 S}{1-y^2} + 1, \quad m_5 = \frac{(1-y)K^2}{2\delta_2 S} - \frac{\delta_2 IP}{Eh} \left( 1,0,\alpha \right),$$

$$\eta_1 = \inf_{t \in R} \{u_t\}, \quad \eta_2 = \sup_{t \in R} \{u_t\}, \quad R = \{t \mid t > 0, m_1 t^2 - m_2 t + m_3 < 0\},$$

$$\eta_3 = \frac{-1 + \sqrt{1 + 4m_4 m_5}}{2m_4}, \quad \text{где} \quad S = \max(1, (\text{diam } \Omega)^{1-\alpha}),$$

$P = (P_1, P_2)$ , и обозначим через  $V_n(0, \rho)$  шар в  $(C^{0,\alpha}(\bar{\Omega}))^n$  с центром в нуле и радиусом  $\rho$ .

Теорема. Пусть

$$1) \quad P \in (C^{0,\alpha}(\bar{\Omega}))^2, \quad q \in C^{0,\alpha}(\bar{\Omega}),$$

$$2) \quad \partial\Omega \in C^{2,\alpha},$$

3) выполняются неравенства (3)–(5) в случае существования  $B^{-1}, \Delta^{-1}, (AB-I)^{-1}$ ,

$$4) \quad m_2 > 3m_1^{1/3} \left( \frac{m_3}{2} \right)^{2/3},$$

$$5) \quad \eta_1 < \eta_3.$$

Тогда задача (1), (2) имеет решение в  $(C^{2,\alpha}(\bar{\Omega}))^2$ .

причем  $u = (u_1, u_2) \in V_2(0, \frac{\delta_1 S H^2}{1-\lambda^2} + \frac{\delta_1 I P / 1,0, \alpha}{E h}), w \in V_1(0, \eta)$ ,

$$\varphi = (\varphi_1, \varphi_2) \in V_2(0, \delta_3 S H), \quad \text{где } \eta = \min(\alpha_2, \eta_3).$$

Доказательство. Системе (I) придадим вид

$$L u = f(w), \quad \Delta w = \varphi(u, w, \varphi), \quad (ab-I)\varphi = g(w), \quad (6)$$

где

$$f = (f_1, f_2), \quad g = (g_1, g_2), \quad f_i = -\frac{i}{2}(\lambda + \lambda_H) \frac{\partial}{\partial x_i} \left( \frac{\partial w}{\partial x_i} \right)^2 - \frac{i}{2} \partial \frac{\partial}{\partial x_i} \left( \frac{\partial w}{\partial x_j} \right)^2 - i \frac{\partial}{\partial x_j} \left( \frac{\partial w}{\partial x_i} \frac{\partial w}{\partial x_j} \right) - \delta p_i, \quad g_i = \frac{\partial w}{\partial x_i}, \quad i, j = 1, 2,$$

$$i \neq j, \quad \varphi = \varphi_1 + \varphi_2, \quad \varphi_1 = \varphi_1(u, w), \quad \varphi_2 = \varphi_2(u, \varphi),$$

$$\varphi_1 = -\delta c \left( N_1 \frac{\partial^2 w}{\partial x_1^2} + \lambda T \frac{\partial^2 w}{\partial x_1 \partial x_2} + N_2 \frac{\partial^2 w}{\partial x_2^2} \right),$$

$$\varphi_2 = \delta c \left( P_1 \frac{\partial w}{\partial x_1} + P_2 \frac{\partial w}{\partial x_2} - \eta \right) - \frac{\delta \varphi_1}{\partial x_1} - \frac{\delta \varphi_2}{\partial x_2}, \quad \delta = \frac{1}{E h}, \quad c = \frac{2(H+\nu)}{\kappa^2}.$$

В силу допущения 2) теоремы

$$L^{-1}, \Delta^{-1}, (ab-I)^{-1}, \quad (7)$$

причем

$$L^{-1}, (ab-I)^{-1} \in \mathcal{L} \left( C^{0,\alpha}(\bar{\Omega}), C^{2,\alpha}(\bar{\Omega}) \right), \quad (8)$$

$$\Delta^{-1} \in \mathcal{L} \left( C^{0,\alpha}(\bar{\Omega}), C^{2,\alpha}(\bar{\Omega}) \right),$$

где  $\mathcal{L}(X, Y)$  — пространство линейных ограниченных операторов из  $X$  в  $Y$  [3, 4].

Далее, имеем

$$u_\ell = G_{\ell 1}^1 f_1 + G_{\ell 2}^1 f_2, \quad (9)$$

$$\varphi_\ell = G_{\ell 1}^2 g_1 + G_{\ell 2}^2 g_2, \quad (10)$$

где  $\ell=1, 2$ , и использованы обозначения

$$G^{-1} = \begin{pmatrix} G_{11}^1 & G_{12}^1 \\ G_{21}^1 & G_{22}^1 \end{pmatrix}, \quad (aL - I)^{-1} = \begin{pmatrix} G_{11}^2 & G_{12}^2 \\ G_{21}^2 & G_{22}^2 \end{pmatrix}.$$

Поэтому

$$N_\ell = N_{\ell 1}(W), \quad T = T_1(W), \quad \frac{\partial \varphi_\ell}{\partial x_\ell} = M_{\ell 1}(W),$$

причем  $N_{\ell 1}$ ,  $T_1$ ,  $M_{\ell 1}$  — действующие на  $W$  операторы,  $\ell=1, 2$ , вид которых понятен.

Если воспользоваться полученными соотношениями во втором уравнении системы (6), после чего подействовать на него оператором  $\Delta^{-1}$ , то придем к уравнению

$$W = \Phi(W). \quad (II)$$

Здесь  $\Phi = \Phi_1 + \Phi_2$ ,

$$\Phi_1(W) = -\ell c \Delta^{-1} \left[ N_{11}(W) \frac{\partial^2 W}{\partial x_1^2} + 2T_1(W) \frac{\partial^2 W}{\partial x_1 \partial x_2} + N_{21}(W) \frac{\partial^2 W}{\partial x_2^2} \right],$$

$$\Phi_2(W) = \Delta^{-1} \left[ \ell c \left( P_1 \frac{\partial W}{\partial x_1} + P_2 \frac{\partial W}{\partial x_2} - q \right) - M_{11}(W) - M_{21}(W) \right].$$

Применяя /5/, покажем, что уравнение (II) при условии

$$W=0 \quad \text{на} \quad \partial\Omega \quad (I2)$$

разрешимо. Отсюда непосредственно будет следовать существование решения исходной задачи. Обоснование разрешимости (II), (I2) состоит из двух частей. В первой убедимся в том, что оператор  $\Phi$  переводит некоторый шар  $V_1(O, r)$  в себя, а

во второй части будет показано, что  $\Phi$  —  $\chi$ -уплотняющий оператор.

То, что из  $w \in C^{2,\alpha}(\bar{\Omega})$  следует  $\Phi(w) \in C^{2,\alpha}(\bar{\Omega})$ , является результатом (8) и условия I) теоремы.

\* Справедливы

Предложение I. Если  $v = (v_1, v_2) \in (C^{2,\alpha}(\bar{\Omega}))^2$ ,

$$\omega_1, \omega_2, w \in C^{2,\alpha}(\bar{\Omega}),$$

$$\Theta = \theta(v_1, v_2, \omega_1, \omega_2, w) = \sum_{i=1}^2 \sum_{j=1}^2 \theta_{ij} \frac{\partial^2 \omega_2}{\partial x_i \partial x_j},$$

где

$$\theta_{ii} = (\lambda + 2\mu) \frac{\partial v_i}{\partial x_i} + \lambda \frac{\partial v_j}{\partial x_j} + (\lambda + 2\mu) \frac{\partial w}{\partial x_i} \frac{\partial \omega_1}{\partial x_i} + \lambda \frac{\partial w}{\partial x_j} \frac{\partial \omega_1}{\partial x_j},$$

$$\theta_{ij} = \mu \left( \frac{\partial v_i}{\partial x_j} + \frac{\partial v_j}{\partial x_i} + \frac{\partial w}{\partial x_i} \frac{\partial \omega_1}{\partial x_j} + \frac{\partial w}{\partial x_j} \frac{\partial \omega_1}{\partial x_i} \right), \quad i, j = 1, 2, \quad i \neq j,$$

то

$$\theta \in C^{0,\alpha}(\bar{\Omega}) \quad \text{и} \quad |\theta|_{0,\alpha} \leq (\lambda + 2\mu) s (|v|_{1,2,\alpha} + |w|_{2,\alpha} |\omega_1|_{1,\alpha}) / |\omega_1|_{2,\alpha}.$$

Предложение 2. Если  $w \in C^{2,\alpha}(\bar{\Omega})$ .  $\theta = (\theta_1, \theta_2)$ , где

$$\theta_i = \frac{\partial w}{\partial x_i} \left[ (\lambda + 2\mu) \frac{\partial^2 w}{\partial x_i^2} + \mu \frac{\partial^2 w}{\partial x_j^2} \right] + (\lambda + \mu) \frac{\partial w}{\partial x_j} \frac{\partial^2 w}{\partial x_i \partial x_j}, \quad i, j = 1, 2, \quad i \neq j,$$

то

$$\theta \in (C^{0,\alpha}(\bar{\Omega}))^2 \quad \text{и} \quad |\theta|_{1,0,\alpha} \leq (\lambda + 2\mu) s |w|_{2,\alpha}^2.$$

Проверяются оба утверждения по общей схеме и поэтому докажем только первое из них.

Приналежность  $\theta$  пространству  $C^{0,\alpha}(\bar{\Omega})$  очевидна.

Что касается оценки нормы, то она получается так:

$$\begin{aligned}
 |\theta|_{0,\alpha} &\leq (A+2\mu) \left( \sum_{\ell_1=1}^2 \sum_{|\ell_2|=1} \sup |D^{\ell_2} v_{\ell_1}| + \right. \\
 &+ \sum_{|\ell_1|=1} \sum_{|\ell_2|=1} \sup |D^{\ell_1} w| / \sup |D^{\ell_2} \omega_1| \left. \right) \sum_{|\ell_3|=2} \sup |D^{\ell_3} \omega_2| + \\
 &+ \sum_{i=1}^2 \sum_{j=1}^2 \left( \langle \theta_{ij} \rangle_{\bar{\Omega}}^{(\alpha)} \sup \left| \frac{\partial^2 \omega_2}{\partial x_i \partial x_j} \right| + \right. \\
 &\left. + \sup |\theta_{ij}| / \left\langle \frac{\partial^2 \omega_2}{\partial x_i \partial x_j} \right\rangle_{\bar{\Omega}}^{(\alpha)} \right)^*.
 \end{aligned}$$

Если учесть, что при  $i, j = 1, 2$

$$\begin{aligned}
 \langle \theta_{ij} \rangle_{\bar{\Omega}}^{(\alpha)} &\leq (A+2\mu) (\text{diam } \bar{\Omega})^{1-\alpha} \left[ \sum_{\ell_1=1}^2 \sum_{|\ell_2|=2} \sup |D^{\ell_2} v_{\ell_1}| + \right. \\
 &+ \sum_{|\ell_1|=1} \left( \sup |D^{\ell_1} \left( \frac{\partial w}{\partial x_i} \frac{\partial \omega_1}{\partial x_j} \right)| + \sup |D^{\ell_1} \left( \frac{\partial w}{\partial x_{3-i}} \frac{\partial \omega_1}{\partial x_{3-j}} \right)| \right) \left. \right] \leq \\
 &\leq (A+2\mu) (\text{diam } \bar{\Omega})^{1-\alpha} \left[ \sum_{\ell_1=1}^2 \sum_{|\ell_2|=2} \sup |D^{\ell_2} v_{\ell_1}| + \right. \\
 &+ \sum_{|\ell_1|=2} \sum_{|\ell_2|=1} \left( \sup |D^{\ell_1} w| / \sup |D^{\ell_2} \omega_1| + \sup |D^{\ell_1} w| / \sup |D^{\ell_2} \omega_1| \right) \left. \right] \\
 &\sup |\theta_{ij}| \leq (A+2\mu) \left( \sum_{\ell_1=1}^2 \sum_{|\ell_2|=1} \sup |D^{\ell_2} v_{\ell_1}| + \right. \\
 &\left. + \sum_{|\ell_1|=1} \sum_{|\ell_2|=1} \sup |D^{\ell_1} w| / \sup |D^{\ell_2} \omega_1| \right),
 \end{aligned}$$

то получаем требуемое неравенство.

\*Здесь и далее под знаком  $\sup$  опущено  $x \in \bar{\Omega}$ .

Оценим нормы вектора  $U$  и  $\varphi$ . В силу (6), (3) и (5)

$$|U|_{1,2,\alpha} \leq \gamma_1 |f|_{1,0,\alpha} \quad \text{и} \quad |\varphi|_{1,2,\alpha} \leq \gamma_3 |g|_{1,0,\alpha}.$$

Поэтому справедливы неравенства

$$|U|_{1,2,\alpha} \leq \gamma_1 [(A+2H)S|W|_{2,\alpha} + \delta |P|_{1,0,\alpha}], \quad (I3)$$

$$|\varphi|_{1,2,\alpha} \leq \gamma_3 S|W|_{2,\alpha}, \quad (I4)$$

первое из которых выводится с помощью предложения 2, а второе элементарно.

Получим оценку нормы  $\varPhi(u)$ . Для этого рассмотрим сумму  $\varPhi = \varPhi_1 + \varPhi_2$ . Ясно, что  $\varPhi_1$  совпадает с функцией  $\theta(u, u, \frac{1}{2}W, W, W)$  из предложения I, умноженной на  $-C$ , в результате чего

$$|\varPhi_1|_{0,\alpha} \leq (A+2H)CS(|U|_{1,2,\alpha} + \frac{1}{2}|W|_{2,\alpha}^2)|W|_{2,\alpha}.$$

Очевидно, кроме того, что

$$|\varPhi_2|_{0,\alpha} \leq \delta C(S|P|_{0,\alpha}|W|_{2,\alpha} + |Q|_{1,0,\alpha}) = \delta|\varphi|_{1,2,\alpha}.$$

Используя вид оператора  $\varPhi$ , а также (4), (I3) и (I4), запишем

$$|\varPhi(W)|_{2,\alpha} \leq \gamma_2 (|\varPhi_1|_{0,\alpha} + |\varPhi_2|_{0,\alpha}) \leq m_1 |W|_{2,\alpha}^3 + (m_2 - m_3) |W|_{2,\alpha} + m_3.$$

Отсюда следует, что в случае выполнения неравенства

$$m_1 \eta^3 < m_2 \eta - m_3, \quad (I5)$$

$\varPhi$  переводит шир  $V_r(0, \eta)$  в себя.

Чтобы показать, что  $\varPhi$  в  $V_r(0, \eta)$  —  $\chi$ -уплотняющий оператор, достаточно проверить, что  $\varPhi_1$  — сжимающий оператор, а  $\varPhi_2$  — вполне непрерывный [5].

Оператор  $\varPhi_1$  будет сжимающим, если

$$|\varPhi'_1|_{2,\alpha} \leq C < 1.$$

Для получения верхней границы  $|\varPhi'_1|_{2,\alpha}$  примем во внимание, что  $\varPhi_1(w)$  совпадает с  $\Delta^{-1}\varPhi_1(u, w)$ , если компоненты  $u$  заменить выражениями, стоящими в правой части (9). Поэтому в качестве искомой верхней границы для  $|\varPhi'_1|_{2,\alpha}$  может быть взята оценка нормы  $(\Delta^{-1}\varPhi_1)' = \Delta^{-1}\varPhi'_1 \in \mathcal{L}((C^{2,\alpha}(\bar{\Omega}))^3, C^{2,\alpha}(\bar{\Omega}))$ , в которой  $|u|_{1,2,\alpha}$  в свою очередь оценивается согласно (13).

Пусть  $\delta u = (\delta u_1, \delta u_2)$  и  $\delta w$  — приращения соответственно  $u = (u_1, u_2)$  и  $w$ . В обозначениях предложения I, как нетрудно убедиться, для  $\delta\varPhi_1 = \varPhi_1(u + \delta u, w + \delta w) - \varPhi_1(u, w)$  справедливо равенство  $\delta\varPhi_1 = d\varPhi_1 + R$ , где

$$d\varPhi_1 = -\sigma [\theta(u_1, u_2, \frac{1}{2}w, \delta w, w) + \theta(\delta u_1, \delta u_2, \delta w, w, w)]. \quad (17)$$

$$|R|_{0,\alpha} = O(|\delta|_{1,2,\alpha}), \quad \delta = (\delta u, \delta w).$$

Простые, но громоздкие выкладки, аналогичные тем, которые доказывают предложение I, приводят к неравенству

$$|d\varPhi_1|_{0,\alpha} \leq \mathcal{R} |\delta|_{1,2,\alpha}, \quad \text{где}$$

$$\mathcal{R} = (\lambda + 2\mu) \operatorname{cs}(|u|_{1,2,\alpha} + |w|_{2,\alpha} + |w|_{2,\alpha}^2). \quad (18)$$

Поэтому  $|\varPhi'_1|_{2,\alpha} \leq \mathcal{R}$ . Отметим, что для оценки нормы  $d\varPhi_1$ , исходя из (17), можно было бы воспользоваться неравенством треугольника, а затем каждое слагаемое оценить согласно предложения I. Этот, естественно, несложный прием вместо (18) дает соотношение  $\mathcal{R} = (\lambda + 2\mu) \operatorname{cs}(|u|_{1,2,\alpha} + |w|_{2,\alpha} + \frac{3}{2}|w|_{2,\alpha}^2)$ , которое ухудшает окончательный результат.

Теперь можно оценить норму  $\varPhi'_1$ . Будем иметь на

основании (I8), (4) и (I3)

$$\cdot |\Phi'_1|_{2,\alpha} \leqslant \gamma_2 r \leqslant \beta \left[ m_4 |w|_{2,\alpha}^2 + |w|_{2,\alpha} + \left( \frac{1}{\beta} - m_5 \right) \right],$$

$$\text{где } \beta = \frac{\lambda \gamma_3 S}{(\lambda - \nu) K^2}.$$

Понятно, что в  $V_1(0,r)$  неравенство (I6) будет выполняться, если

$$m_4 r^2 + \gamma - (m_5 - \varepsilon) < 0, \quad (I9)$$

где  $\varepsilon > 0$  достаточно мало.

Итак, радиус шара  $V_1(0,r)$  должен удовлетворять двум требованиям (I5) и (I9), кроме того, что, разумеется, надо, чтобы был положительным

$$r > 0. \quad (20)$$

Поясним, в чем заключается назначение условий 4) и 5) теоремы. Из фигурирующих в формулировке теоремы величин  $\gamma_i$ ,  $i=1,2,3$ , первая неотрицательна, а две остальные положительны. В отношении  $\gamma_1$  и  $\gamma_2$  достоверность отмеченного вытекает из того, что функция  $y(r) = m_1 r^3 - m_2 r^2 + m_3$  в силу 4) имеет критическую точку на положительной полусоси, в которой значение ее отрицательно, и  $y(0) > 0$ ,  $\lim_{r \rightarrow \infty} y(r) = \infty$ . Неравенство же  $\gamma_3 > 0$  следует из неравенства  $m_4 > 0$ ,  $\beta m_5 > m_2 > 0$ .

Требование 5) теоремы гарантирует существование такого малого  $\varepsilon$  в (I9), что пересечение  $(\gamma_1, \gamma_2)$  — множества решений систем неравенств (I5) и (20) с множеством решений (I9) будет непустым, иными словами, существует радиус, согласующийся с (I5), (I9) и (20).

Покажем, что  $\mathcal{P}_2$  — вполне непрерывный оператор. Если множество  $\{w\}$  ограничено в  $C^{2,\alpha}(\bar{\Omega})$ , то множества  $\{\frac{\partial w}{\partial x_i}\}$ ,  $i=1,2$ , компактны в  $C^{0,\alpha}(\bar{\Omega})$  [6]. Так как  $P_1 \in C^{0,\alpha}(\bar{\Omega})$ , то компактны в  $C^{0,\alpha}(\bar{\Omega})$  и  $\{P_1 \frac{\partial w}{\partial x_i}\}$ . Отсюда вытекает, что множества (мн.)  $\{\Delta^{-1}(P_1 \frac{\partial w}{\partial x_i})\}$  компактны (комп.) в  $C^{1,\alpha}(\bar{\Omega})$ . Сходные рассуждения и получаемое из (10) равенство  $M_{\ell_1}(w) = \frac{\partial}{\partial x_\ell} (G_{\ell_1}^1 \frac{\partial w}{\partial x_1} + G_{\ell_2}^1 \frac{\partial w}{\partial x_2})$  позволяют судить о компактности множеств  $\{\Delta^{-1}M_{\ell_1}(w)\}$ ,  $\ell=1,2$ .

В самом деле,

$$|w|_{2,\alpha} \leq \text{const} \implies \text{мн. } \left\{ \frac{\partial w}{\partial x_i} \right\} \text{ комп. в } C^{0,\alpha}(\bar{\Omega}) \implies$$

$$\text{мн. } \left\{ G_{\ell_1}^1 \frac{\partial w}{\partial x_1} + G_{\ell_2}^1 \frac{\partial w}{\partial x_2} \right\} \text{ комп. в } C^{1,\alpha}(\bar{\Omega}) \implies \text{мн.}$$

$$\{M_{\ell_1}(w)\}, \ell=1,2, \text{ комп. в } C^{0,\alpha}(\bar{\Omega}) \implies \text{мн.}$$

$$\{\Delta^{-1}M_{\ell_1}(w)\}, \ell=1,2, \text{ комп. в } C^{1,\alpha}(\bar{\Omega}).$$

На этом завершается доказательство разрешимости задачи (II), (I2) и принадлежности решения  $w$  шару  $V_1(0,r)$ .

Следствием этого, а также (7) и неравенств (I3), (I4) является существование решения исходной задачи (I), (2) и вхождение  $u$  и  $\psi$  в соответствующие шары. Величина  $\min(\eta_1, \eta_3)$  представляет собой точную верхнюю границу множества решений системы неравенств (I9) при  $\varepsilon=0$  с (I5) и (20).

Теорема доказана.

Замечание 1. Для выполнения требования 5) теоремы достаточно, чтобы  $m_2$  было достаточно большим или достаточно малым было бы  $m_3$ . То что последнее справедливо, видно на том примере, когда  $q=0$ . В этом случае  $m_3=0$ , в результате  $\eta_1=0$  и, понятно, 5) выполняется.

Замечание 2. Величины  $\eta_1$  и  $\eta_2$  из условия 5) могут быть найдены с помощью формулы Кардано [7].

Поступила 29.1.1990

Кафедра математического  
обеспечения ЭВМ

Литература

1. А.С. Вольмир. Нелинейная динамика пластинок и оболочек.  
"Наука", М., 1972.
2. О.А. Ладыженская, Н.Н. Уральцева. Линейные и квазилинейные  
уравнения эллиптического типа. "Наука", М., 1973.
3. К. Миронда. Уравнения с частными производными. ИМ, М., 1957.
4. C. Morrey. Multiple integrals in the calculus of variations. "Springer-  
Verlag", Berlin, Heidelberg, New York, 1966.
5. Р.Р. Ахмеров, М.И. Каменский, А.С. Потапов и др. Меры неком-  
пактности и уплотняющие операторы. "Наука", Новосибирск,  
1986.
6. Л. Берс, Ф. Джон, М. Шехтер. Уравнения с частными производны-  
ми. "Мир", М., 1966.
7. А.Г. Курош. Курс высшей алгебры. "Наука", М., 1975.

Х. ցԵՐԱԾՈ

ԸՆԿՐԱՑՄԱՆ ԽՐԱ ԽՈՍՔԵՅԻ ԸՆՎԵՐՈՅԵՑԻՆ ՇՅԱՀԱՅՈՒԹԻՒՆ  
ՉՅ ԽՈԽՈ ՃԵՄՆԵՐԵՐԵՎԱ

6 2 8 0 3 6 7

Ճանաչելութեա զգմտոյն բարձրութեան ճանաչութեան արարու-  
թի սկսեցմա, հոմանու առնեան գործոցու ըշտառմագոան. Ապեցու Յոհա-  
նովի օպերա Մարտինու պատրիարքու մատուցութա և ասածութիւն առուանու  
ժողով ամուսնու ամսցեցոմա.

D.Peradze

DENSIFYING OPERATOR FOR ONE SYSTEM OF EQUATIONS  
AND ITS SOLVABILITY

Summary

The paper deals with the nonlinear system of Timoshenko differential equations which describes plate deformation. Under some restrictions on the initial data the existence of a strong solution of a boundary value problem is proved.

03. № 260-070-00  
1990

КОНЕЧНЫЕ НЕЧЕТКИЕ ПОДМНОЖЕСТВА И ЭНТРОПИЯ

Т.Г. Гачечиладзе, Т.В. Манджапарашвили

Пусть  $\mathcal{X} = \{x_1, \dots, x_n\}$  — конечное множество элементарных случайных событий,  $P_1, \dots, P_n$  — соответствующие вероятности. Расщепим это множество:  $\mathcal{X} = \tilde{\mathcal{X}} \oplus \tilde{\mathcal{X}}^D / I$ . Это расщепление производится "поточечно". Количество информации, соответствующее нерасщепленной точке, зависит от соответствующей вероятности  $I = I(P(x))$ . Для расщепленной точки естественно предположить, что информация зависит как от вероятности, так и от соответствующего значения функции принадлежности:

$$I^\sim = I(\mu_{\tilde{\mathcal{X}}}(x), P(x)) \quad (1)$$

Аналогично для дуальной нечеткой точки

$$I^{\sim D} = I(\mu_{\tilde{\mathcal{X}}^D}(x), P(x)) = I(1 - \mu_{\tilde{\mathcal{X}}^D}(x), P(x)). \quad (2)$$

Эти функции, как мы убедимся ниже, определяются таким образом, что

$$I(P(x)) = I(\mu_{\tilde{\mathcal{X}}}(x), P(x)) + I(\mu_{\tilde{\mathcal{X}}^D}(x), P(x)). \quad (3)$$

С целью установления вида функции  $I^\sim$ , рассмотрим три ее свойства.

- 1)  $I^\sim$  как функции  $P$  непрерывна на  $(0; 1)$ .
2. Пусть даны  $\mathcal{X} = \tilde{\mathcal{X}} \oplus \tilde{\mathcal{X}}^D$  и  $\mathcal{Y} = \mathcal{Y} \oplus \mathcal{Y}^D$ . Расщепление  $\mathcal{X} \times \mathcal{Y}$  производим по известным правилам  $/I$ . Если для

некоторых  $x$  и  $y$  значения функций принадлежностей совпадают  $\mu_x(x) = \mu_y(y) = \mu$ , то у  $(\tilde{x}, \tilde{y}) \subset \tilde{\mathcal{X}} \times \tilde{\mathcal{Y}}$  будет такое же значение функции принадлежности. Мы предполагаем, что  $I^\sim$  обладает свойством:

$$I(\mu, \rho q) = I(\mu, \rho) + I(\mu, q) \quad (4)$$

для любых  $0 \leq \mu, \rho, q \leq 1$ .

3) Увеличение значения функции принадлежности влечет такое же увеличение информации соответствующего нечеткого события:

$$I(\partial\mu, \rho) = \partial I(\mu, \rho) \quad (5)$$

для любых  $0 \leq \mu, \rho \leq 1$  и неотрицательного  $\partial$ .

Теорема. Пусть  $I^\sim = I(\mu, \rho)$  — функция, удовлетворяющая условиям 1), 2), 3). Тогда  $I^\sim$  имеет вид:

$$I^\sim = I(\mu, \rho) = -K\mu \log \rho. \quad (6)$$

Доказательство. Соотношение (5) влечет:

$$I(\mu, \rho) = \mu I(1, \rho), \quad (7)$$

для любых  $0 \leq \mu, \rho \leq 1$ , а (4) для нерасщепленных множеств ( $\mu=1$ )

$$I(1, \rho, q) = I(1, \rho) + I(1, q). \quad (8)$$

Единственное непрерывное решение этого функционального уравнения, как известно [2], имеет вид:

$$I(1, \rho) = -K \log \rho, \quad (9)$$

где  $K$  — константа. Так как количество информации рассматривается как неотрицательная величина, то теорема доказана.

Вернемся к полному множеству случайных элементарных событий. Мы показали, что количество информации, соответствующее расщепленному событию  $\tilde{\mathcal{X}}_i$  определяется формулой:

$$I_i^\sim = I(\mu_i, \rho_i) = -K\mu_i \log \rho_i. \quad (10)$$

Следовательно, среднее количество информации, соответствующее расщепленному множеству  $\tilde{\mathcal{X}}$ , вычисляется по формуле:

$$\mathcal{E}(\tilde{\mathcal{X}}) = \sum_{i=1}^n P_i I_i = -K \sum_{i=1}^n \mu_i P_i \log P_i \quad (II)$$

Это энтропия нечеткого подмножества по Заде /3/. Аналогично,

$$\mathcal{E}(\tilde{\mathcal{X}}^D) = \sum_{i=1}^n P_i I_i^D = -K \sum_{i=1}^n \mu_i^D P_i \log P_i \quad (III)$$

Ясно, что

$$\mathcal{E}(\tilde{\mathcal{X}}) + \mathcal{E}(\tilde{\mathcal{X}}^D) = H(\mathcal{X}), \quad (IV)$$

где  $H(\mathcal{X})$  — энтропия Шеннона, так как  $\mu_i + \mu_i^D = 1$ ,  $i = 1, \dots, n$ .

Сделаем одно замечание. Согласно /4/ в качестве вероятности расщепленной точки рассматривается величина  $\mu_i P_i$ , а условная вероятность  $\tilde{x}_i$  при условии, что  $\tilde{x}_i \in \tilde{\mathcal{X}}$ , определяется формулой /4/:

$$P(\tilde{x}_i / \tilde{\mathcal{X}}) = \frac{\mu_i P_i}{\mathcal{P}}. \quad (V)$$

Соответствующее шенноновское количество информации

$$H(\tilde{\mathcal{X}}) = -K \sum_{i=1}^n \frac{\mu_i P_i}{\mathcal{P}} \log \frac{\mu_i P_i}{\mathcal{P}}. \quad (VI)$$

В связи с этой формулой приведем два неравенства /5/. Первое:

$$-K \sum_{i=1}^n \frac{\mu_i P_i}{\mathcal{P}} \log \frac{\mu_i P_i}{\mathcal{P}} \leq -K \sum_{i=1}^n \frac{\mu_i P_i}{\mathcal{P}} \log P_i, \quad (VII)$$

причем равенство имеет место, когда все  $\mu_i$  равны. Это неравенство можно переписать так:

$$-K \sum_{i=1}^n \frac{\mu_i P_i}{\mathcal{P}} \log \frac{\mu_i P_i}{\mathcal{P}} \leq 0, \quad (VIII)$$

т.е. хотя бы одно

$$\mu_i > \tilde{P}_i^{\sim} \quad (18)$$

Использование на  $\tilde{\mathcal{I}}$  нормированных вероятностей (14) влечет за собой необходимость определенного согласования между обычными вероятностями и функциями принадлежности. Последнее неравенство надо рассматривать в качестве условия такого согласования.

Второе неравенство таково:

$$H(\tilde{\mathcal{I}}) \leq \tilde{P}_i^{\sim} H(\mathcal{I}), \quad (19)$$

оно является прямым следствием первого.

Мы введем еще две энтропийные меры – энтропию расщепленного множества и энтропию расщепления, как результат поточечного расщепления универсального множества.

Исходя из известного свойства функции шенноновской энтропии /5/, можем написать:

$$\begin{aligned} H(\tilde{x}_1 \oplus \tilde{x}_1^D, \dots, \tilde{x}_n \oplus \tilde{x}_n^D) &\equiv H(\mu_1 P_1, \mu_1^D P_1, \dots, \mu_n P_n, \mu_n^D P_n) = \\ &= H(P_1, \dots, P_n) + \sum_{i=1}^n P_i H(\mu_i, \mu_i^D). \end{aligned} \quad (20)$$

Выражение

$$S(\tilde{\mathcal{I}}, \tilde{\mathcal{I}}^D) = H(\tilde{\mathcal{I}} \oplus \tilde{\mathcal{I}}^D) \equiv H(\tilde{x}_1 \oplus \tilde{x}_1^D, \dots, \tilde{x}_n \oplus \tilde{x}_n^D) \quad (21)$$

мы рассматриваем в качестве энтропии расщепленного множества  $\tilde{\mathcal{I}} \oplus \tilde{\mathcal{I}}^D$ , а

$$L(\tilde{\mathcal{I}}, \tilde{\mathcal{I}}^D) = \sum_{i=1}^n P_i H(\mu_i, \mu_i^D) \quad (22)$$

в качестве энтропии расщепления.

Таким образом,

$$S(\tilde{\mathcal{I}}, \tilde{\mathcal{I}}^D) = H(\mathcal{I}) + L(\tilde{\mathcal{I}}, \tilde{\mathcal{I}}^D). \quad (23)$$

Для дуальной пары /6/ и  $\sim$  полагаем:



$$P_{\tilde{x}} = P_{\tilde{x}^0} + P_{\tilde{x}^D} = P.$$

Поэтому условные вероятности (см. /4/)

$$P(\tilde{x}/\tilde{u}) = \frac{P_{\tilde{x}}}{P_{\tilde{u}}} = \mu, \quad P(\tilde{x}^D/\tilde{u}) = \frac{P_{\tilde{x}^D}}{P_{\tilde{u}}} = 1-\mu, \quad (25)$$

а условная энтропия

$$H(\tilde{x}, \tilde{x}^D/\tilde{u}) = H(\mu_{\tilde{x}}(x), 1-\mu_{\tilde{x}}(x)). \quad (26)$$

(20) можно переписать так:

$$H(\tilde{x}_1 \oplus \tilde{x}_1^D, \dots, \tilde{x}_n \oplus \tilde{x}_n^D) = \quad (27)$$

$$= H(x_1, \dots, x_n) + \sum_{i=1}^n P_i H(\tilde{x}_i, \tilde{x}_i^D/\tilde{u}).$$

Имеет место утверждение: пусть множество дуальных пар упорядочено по уровням нечеткости /6/, /7/, тогда если  $\tilde{u} \leq \tilde{v}$ , то

$$H(\tilde{x}, \tilde{x}^D/\tilde{u}) \leq H(\tilde{y}, \tilde{y}^D/\tilde{v}). \quad (28)$$

В действительности,

$$\begin{aligned} \tilde{u} \leq \tilde{v} \iff & \min(\mu_{\tilde{x}}, \mu_{\tilde{x}^D}) \leq \mu_{\tilde{y}}, \mu_{\tilde{y}^D} \leq \max(\mu_{\tilde{x}}, \mu_{\tilde{x}^D}) \implies \\ \implies & \left( \left| \frac{\mu}{2} - \mu_{\tilde{x}} \right|, \left| \frac{\mu}{2} - \mu_{\tilde{x}^D} \right| \geq \left| \frac{\mu}{2} - \mu_{\tilde{y}} \right|, \left| \frac{\mu}{2} - \mu_{\tilde{y}^D} \right| \right) \implies \\ \implies & H(\tilde{x}, \tilde{x}^D/\tilde{u}) \leq H(\tilde{y}, \tilde{y}^D/\tilde{v}). \end{aligned}$$

Поступила 8.11.1990

Проблемная лаборатория физической кибернетики

### Литература

1. Т.Гачечиладзе, Т.Манджапарашвили. Труды ТГУ, сер. киб. и прикл.мат., 279, № 9, 235, 1988.
2. J. Aczel. Lectures on functional equations and their applications. Acad. Press, N.Y., 1966.
3. L.A.Zadeh. J.Math. Anal. and Appl. 23, 421 (1968).
4. Т.Гачечиладзе, Т.Манджапарашвили. Сообщ. АН ГССР, 134, № 3, 1989.
5. А.Файнштейн. Основы теории информации. М., ИЛ, 1969.
6. R.R.Yager. Inf. and Control, 44, 236 (1980).
7. Т.Гачечиладзе, Т.Манджапарашвили. Труды ТГУ, 300, № 13, 107, 1990.

თ. გაჩეჩილაძე, თ. მანჯაპარაშვილი

სასწაული კრამი 2000 ევენიუნივერსიტეტი და იუნივერსიტეტი

ნ ე გ ი უ ბ ი

განხილულია სასწაული პრამატიკით ქვესიმრაცხელია ერთერთი  
მნიშვნელოვანი მახასიათებელი - ენფროპია. სხვარასხვა ენფროპიულ  
გონია შორის გამოყოფილია ზარეს, გერიუკასა და ე. მ, გ-ენფროპია,  
შესწავლილია მათი თვისებები.

T.Gachechiladze, T.Manjaparashvili

FINITE FUZZY SUBSETS AND ENTROPY

Summary

Entropy - one of the important characteristics of fuzzy subsets - is considered. Among different entropic measures, those of Zade, De Luca, and the so-called  $\beta$ -entropy are studied.

Труды Тбилисского государственного университета  
им. И. Джавахишвили

№3. ჯავახიშვილის სახ. იძირის სახელმწიფო  
უნივერსიტეტის გამოცემა  
300, 1990

ДУАЛЬНЫЙ ЭЛЕМЕНТ И НЕЧЕТКОСТЬ

Т.Г. Гачечиладзе, Т.В. Манджапарашвили

Рассмотрим решетку нечетких подмножеств  $\mathcal{P}(\Omega)$  /1/.

Дуальный элемент (дуальное подмножество) определяется на основе процедуры расщепления обычного множества /1/

$$\mathcal{A} = \tilde{\mathcal{A}} \oplus \tilde{\mathcal{A}}^D, \quad (I)$$

где  $\mathcal{A} \subseteq \Omega$ ,  $\tilde{\mathcal{A}}$  – нечеткое подмножество,  $\tilde{\mathcal{A}}^D$  – дуальное подмножество. Связь дуального подмножества с нечетким дополнением такова:

$$7\tilde{\mathcal{A}} = \tilde{\mathcal{A}}^D \cup \mathcal{A}^*,$$

здесь  $\mathcal{A}^* \equiv (\emptyset : \tilde{\mathcal{A}})$  – псевдодополнение элемента  $\tilde{\mathcal{A}}$  /2/. Дуальный элемент указывает на следующее: если можно утверждать, что элементы  $\mathcal{A}$  наделены в какой-то степени свойством  $\mathcal{P}$  /3./4/, то в какой-то степени они же не наделены этим свойством. Чем "ближе" /5/  $\tilde{\mathcal{A}}$  к  $\tilde{\mathcal{A}}^D$ , тем "больше" нечеткости содержится в утверждении "элементы  $\mathcal{A}$  наделены свойством  $\mathcal{P}$ ". Аналогичные идеи лежат в основе понятия нечеткости в работе /6/, где сопоставляются не  $\tilde{\mathcal{A}}$  и  $\tilde{\mathcal{A}}^D$ , а  $\tilde{\mathcal{A}}$  и  $7\tilde{\mathcal{A}}$ . Тем же дано обобщение понятия "метрического" сопоставления степеней нечеткости двух подмножеств на "неметрическое", которое сводится к определенному отношению между сопоставляемыми подмножествами. Ниже мы покажем, что

ввести эквивалентное отношение  $\varphi$ , которое, на наш взгляд, лучше подчеркивает тот факт, что нечеткость является внутренним свойством нечеткого подмножества и не зависит от псевдо-дополнения.

Основой нашего подхода, так же, как и в /5/, является понятие "между" в дистрибутивной решетке /2/.

Определение I. Пусть  $\tilde{x}$  и  $\tilde{y} \in \mathcal{P}^{\sim}(\Omega)$ .  $\tilde{x}$  не менее нечетко чем  $\tilde{y}$ ,  $(\tilde{x}\varphi\tilde{y})$ , если  $\tilde{x}\circ y$  и  $(\tilde{x}\circ y)^D = \tilde{x}^D \circ y$  находится между  $\tilde{y}$  и  $\tilde{y}^D$  в  $\mathcal{P}^{\sim}(\Omega)$ , где  $\circ$  — операция последовательного расщепления пересечения двух подмножеств /1/.

$$(\tilde{x}\varphi\tilde{y}) \iff \begin{cases} (\tilde{y}, \tilde{x}\circ y, \tilde{y}^D) \\ (\tilde{y}, \tilde{x}^D\circ y, \tilde{y}^D) \end{cases} \iff \tilde{y} \sqcap \tilde{y}^D \leq \tilde{x}\circ y \leq \tilde{y} \sqcup \tilde{y}^D$$

Ясно, что  $(\tilde{x}\varphi x)$  для  $\forall \tilde{x} \in \mathcal{P}^{\sim}(\Omega)$ .

Теорема I. Отношения  $f$  и  $\varphi$  эквивалентны на  $\mathcal{P}^{\sim}(\Omega)$ .

Доказательство. Пусть  $(\tilde{x}f\tilde{y})$ ; это означает, что

$$\begin{aligned} & \left\{ \begin{array}{l} (\tilde{y}, \tilde{x}, \tilde{y}) \\ (\tilde{y}, \tilde{x}^D, \tilde{y}) \end{array} \right\} \iff \left\{ \begin{array}{l} (I_{\tilde{y}} \wedge I_{\tilde{x}\tilde{y}}) \leq I_{\tilde{x}} \leq (I_{\tilde{y}} \vee I_{\tilde{x}\tilde{y}}) \\ (I_{\tilde{y}} \wedge I_{\tilde{x}\tilde{y}}) \leq I_{\tilde{x}^D} \leq (I_{\tilde{y}} \vee I_{\tilde{x}\tilde{y}}) \end{array} \right\} \implies \\ & \implies \left\{ \begin{array}{l} (I_{\tilde{y}} \wedge I_{\tilde{x}\tilde{y}}) \cdot I_y \leq I_{\tilde{x}} \cdot I_y \leq (I_{\tilde{y}} \vee I_{\tilde{x}\tilde{y}}) \cdot I_y \\ (I_{\tilde{y}} \wedge I_{\tilde{x}\tilde{y}}) \cdot I_y \leq I_{\tilde{x}^D} \cdot I_y \leq (I_{\tilde{y}} \vee I_{\tilde{x}\tilde{y}}) \cdot I_y \end{array} \right\} \implies \\ & \implies \left\{ \begin{array}{l} (I_{\tilde{y}} \wedge I_{\tilde{y}^D}) \leq I_{\tilde{x}} \cdot I_y \leq (I_{\tilde{y}} \vee I_{\tilde{y}^D}) \\ (I_{\tilde{y}} \wedge I_{\tilde{y}^D}) \leq I_{\tilde{x}^D} \cdot I_y \leq (I_{\tilde{y}} \vee I_{\tilde{y}^D}) \end{array} \right\} \iff \\ & \iff \left\{ \begin{array}{l} (\tilde{y}, \tilde{x}\circ y, \tilde{y}^D) \\ (\tilde{y}, \tilde{x}^D\circ y, \tilde{y}^D) \end{array} \right\} \iff (\tilde{x}\varphi\tilde{y}) \end{aligned}$$

Пусть теперь, наоборот,  $(\tilde{I}\varphi \tilde{y})$ , т.е.

$$\begin{cases} (\tilde{y}, \tilde{x} \circ y, \tilde{y}^D) \\ (\tilde{y}, \tilde{x}^D \circ y, \tilde{y}^D) \end{cases} \Leftrightarrow \begin{cases} (I_{\tilde{y}} \wedge I_{\tilde{y}^D}) \leq I_{\tilde{x}} \cdot I_y \leq (I_{\tilde{y}} \vee I_{\tilde{y}^D}) \\ (I_{\tilde{y}} \wedge I_{\tilde{y}^D}) \leq I_{\tilde{x}^D} \cdot I_y \leq (I_{\tilde{y}} \vee I_{\tilde{y}^D}) \end{cases} \Rightarrow$$

$$\Rightarrow \begin{cases} (I_{\tilde{y}} \wedge I_{\tilde{y}^D}) \leq I_{\tilde{x}} \cdot I_y + I_{\tilde{x}} \cdot I_{y^c} \leq (I_{\tilde{y}} \vee I_{\tilde{y}^D}) + (I_{\tilde{y}} \vee I_{y^c}) \\ (I_{\tilde{y}} \wedge I_{\tilde{y}^D}) \leq I_{\tilde{x}^D} \cdot I_y + I_{x^c} \cdot I_y + I_{\tilde{x}} \cdot I_{y^c} \leq (I_{\tilde{y}} \vee I_{\tilde{y}^D}) + (I_{\tilde{y}} \vee I_{y^c}). \end{cases}$$

Переход, который мы совершили, является законным по следующим причинам. Во-первых, мы усиливали первое правое неравенство, добавив к нему  $I_{\tilde{x}} \cdot I_{y^c} \leq I_{\tilde{y}} \vee I_{y^c}$ , во-вторых, чтобы выполнялось  $(\tilde{I}\varphi \tilde{y})$ , необходимо иметь  $y \equiv x$ , следовательно,  $I_{x^c} \cdot I_y = 0$ , а добавляя ко второму правому неравенству  $I_{\tilde{x}} \cdot I_{y^c} \leq I_{\tilde{y}} \vee I_{y^c}$ , мы также его усиливаем.

Таким образом,

$$\begin{cases} (\tilde{y}, \tilde{x} \circ y, \tilde{y}^D) \\ (\tilde{y}, \tilde{x}^D \circ y, \tilde{y}^D) \end{cases} \Rightarrow \begin{cases} (I_{\tilde{y}} \wedge I_{\tilde{y}^D}) \leq I_{\tilde{x}} \leq (I_{\tilde{y}} \vee I_{\tilde{y}^D}) \\ (I_{\tilde{y}} \wedge I_{\tilde{y}^D}) \leq I_{\tilde{x}^D} \leq (I_{\tilde{y}} \vee I_{\tilde{y}^D}) \end{cases} \Rightarrow$$

$$\Rightarrow \begin{cases} (\tilde{y}, \tilde{x}, \gamma \tilde{y}) \\ (\tilde{y}, \gamma \tilde{x}, \gamma \tilde{y}) \end{cases} \Leftrightarrow (\tilde{I}f \tilde{y}).$$

Лемма I. Если  $\tilde{x} \equiv y$ , то из  $(\tilde{y}, \tilde{x} \circ y, \tilde{y}^D)$  следует  $(\tilde{y} \circ \tilde{x}, \tilde{x} \circ \tilde{y}, \tilde{y}^D \circ \tilde{x})$ .

Доказательство.  $(\tilde{y}, \tilde{x} \circ y, \tilde{y}^D) \Leftrightarrow (I_{\tilde{y}} \wedge I_{\tilde{y}^D}) \leq I_{\tilde{x}} \cdot I_y \leq$

$$\leq (I_{\tilde{y}} \vee I_{\tilde{y}^D}) \Rightarrow (I_{\tilde{y}} \wedge I_{\tilde{y}^D}) \cdot I_{\tilde{x}} \leq I_{\tilde{x}} \cdot I_y \cdot I_{\tilde{x}} \leq (I_{\tilde{y}} \vee I_{\tilde{y}^D}) I_{\tilde{x}} \Rightarrow$$



$$\Rightarrow (I_{\tilde{y}} \cdot I_z \wedge_{\tilde{y} \circ z} I_z) \leq I_z \cdot I_z \leq (I_{\tilde{y}} \cdot I_z \vee I_{\tilde{y} \circ z} I_z) \iff (I_{\tilde{y} \circ z} \wedge I_{\tilde{y} \circ z}) \leq \\ \leq (I_{\tilde{y} \circ z} \vee I_{\tilde{y} \circ z}) \iff (\tilde{y} \circ z, \tilde{x} \circ z, \tilde{y}^D \circ z).$$

Теорема 2.  $\varphi$  транзитивно на  $\mathcal{P}(\Omega)$ , т.е.  $(\tilde{x}\varphi\tilde{y})$  и  $(\tilde{y}\varphi\tilde{z}) \Rightarrow (\tilde{x}\varphi\tilde{z})$ .

Доказательство.

$$(\tilde{x}\varphi\tilde{y}) \Leftrightarrow \left\{ \begin{array}{l} (\tilde{y}, \tilde{x} \circ y, \tilde{y}^D) \\ (\tilde{y}, \tilde{x}^D \circ y, y^D) \end{array} \right\} \Rightarrow \\ (\tilde{y}\varphi\tilde{z}) \Leftrightarrow \left\{ \begin{array}{l} (\tilde{z}, \tilde{y} \circ z, \tilde{z}^D) \\ (\tilde{z}, \tilde{y}^D \circ z, \tilde{z}^D) \end{array} \right\} \Rightarrow$$

$$\Rightarrow \{(\tilde{z}, y \circ z, \tilde{z}^D) \cup (\tilde{z}, (\tilde{y} \circ z)^D, \tilde{z}^D) \cup (\tilde{y}, \tilde{x} \circ y, \tilde{y}^D)\} \Rightarrow \{(\tilde{z}, \tilde{y} \circ z, \tilde{z}^D) \\ \cup (\tilde{y}, (\tilde{y} \circ z)^D, \tilde{z}^D) \cup (\tilde{y} \circ z, \tilde{x} \circ z, \tilde{y}^D \circ z)\} \Rightarrow (\tilde{z}, \tilde{x} \circ z, \tilde{z}^D).$$

Последний переход сделан на основе свойства отношения "между", обозначенного в /5/ как  $P_3$  а).\*

Аналогично можно доказать, что

\* В работе Ягера /5/ приводятся некоторые полезные свойства отношения  $(a, b, c)$  :

$$P_1: (a \beta c) \Leftrightarrow (c \beta a),$$

$$P_8: (a \beta c) \Rightarrow (a \alpha b),$$

$$P_2: (a \beta c) \cup (a \beta d) \Leftrightarrow b = c = d,$$

$P_9$ : если решетка дистрибутивная, то:

$$P_3: (a \beta c) \cup (a \beta b) \Rightarrow (a \beta c),$$

$$(a) (a \beta c) \cup (a \beta d) \cup (c \beta d) \Rightarrow (a \beta c)$$

$$P_4: (a \beta c) \cup (b \beta d) \cup b = c \Rightarrow (a \beta d),$$

$$(b) (a \beta c) \cup (a \beta d) \cup (c \beta d) \Rightarrow (a \beta d)$$

$$P_5: (a \beta c) \cup (a \beta d) \Rightarrow (b \beta d),$$

$$(c \beta d) \cup (d \beta e) \Rightarrow (c \beta e)$$

$$P_6: (a \beta a) \Leftrightarrow a = b,$$

$$P_{10}: (a \beta c) \Rightarrow a \leq c \leq a \vee d.$$

$$P_7: (a \beta a) \Leftrightarrow (b \beta a) \Leftrightarrow (a \beta b) \Leftrightarrow (b \beta a),$$

## - III -

$$\begin{cases} (\tilde{x}\varphi\tilde{y}) \\ (\tilde{y}\varphi\tilde{x}) \end{cases} \implies (\tilde{z}, (\tilde{x}\circ\tilde{z})^D, \tilde{z}^D).$$

Т.о.,

$$\begin{cases} (\tilde{x}, (\tilde{x}\circ\tilde{z}), \tilde{z}^D) \\ (\tilde{z}, (\tilde{x}\circ\tilde{z})^D, \tilde{z}^D) \end{cases} \iff (\tilde{x}\varphi\tilde{z}).$$

Теорема 3.  $\varphi$  рефлексивно на  $\mathcal{P}(\mathcal{G}): (\tilde{x}\varphi\tilde{x})$ .

Доказательство. Имеем

$$\begin{cases} (I_{\tilde{x}} \wedge I_{\tilde{x}^D}) \leq I_{\tilde{x}} \leq (I_{\tilde{x}} \vee I_{\tilde{x}^D}) \\ (I_{\tilde{x}} \wedge I_{\tilde{x}^D}) \leq I_{\tilde{x}^D} \leq (I_{\tilde{x}} \vee I_{\tilde{x}^D}) \end{cases} \Rightarrow \begin{cases} (I_{\tilde{x}} \wedge I_{\tilde{x}^D}) \leq I_{\tilde{x}} \wedge I_{\tilde{x}} \leq (I_{\tilde{x}} \vee I_{\tilde{x}^D}) \\ (I_{\tilde{x}} \wedge I_{\tilde{x}^D}) \leq I_{\tilde{x}^D} \wedge I_{\tilde{x}} \leq (I_{\tilde{x}} \vee I_{\tilde{x}^D}) \end{cases} \Rightarrow$$

$$\Rightarrow \begin{cases} (\tilde{x}, (\tilde{x}\circ\tilde{x}), \tilde{x}^D) \\ (\tilde{x}, \tilde{x}^D \circ \tilde{x}, \tilde{x}^D) \end{cases} \iff (\tilde{x}\varphi\tilde{x}).$$

Теорема 4. Если  $(\tilde{x}\varphi\tilde{y})$  и  $(\tilde{y}\varphi\tilde{x})$ , то или  $\tilde{x}\circ\tilde{y} = \tilde{y}\circ\tilde{x}$  и  $\tilde{x}^D\circ\tilde{y} = \tilde{y}^D\circ\tilde{x}$ , или  $\tilde{x}\circ\tilde{y} = \tilde{y}^D\circ\tilde{x}$  и  $\tilde{x}^D\circ\tilde{y} = \tilde{y}\circ\tilde{x}$ .

Доказательство.

$$(\tilde{x}\varphi\tilde{y}) \iff \begin{cases} (\tilde{y}, \tilde{x}\circ\tilde{y}, \tilde{y}^D) \\ (\tilde{y}, (\tilde{x}\circ\tilde{y})^D, \tilde{y}) \end{cases} \quad \text{и} \quad (\tilde{y}\varphi\tilde{x}) \iff \begin{cases} (\tilde{x}, \tilde{y}\circ\tilde{x}, \tilde{x}^D) \\ (\tilde{x}, (\tilde{y}\circ\tilde{x})^D, \tilde{x}^D) \end{cases}$$

Предположим, что  $\tilde{x}\circ\tilde{y} \neq \tilde{y}\circ\tilde{x}$ , тогда, согласно лемме I,  $P_1$  и  $P_4$ , можем написать:

$$\begin{cases} (\tilde{y}, \tilde{x}\circ\tilde{y}, \tilde{y}^D) = (\tilde{y}^D, \tilde{x}\circ\tilde{y}, \tilde{y}) \\ (\tilde{x}, \tilde{y}\circ\tilde{x}, \tilde{x}^D) = \end{cases} \Rightarrow \begin{cases} (\tilde{y}^D \circ \tilde{x}, \tilde{x}\circ\tilde{y}, \tilde{y}\circ\tilde{x}) \\ (\tilde{x}\circ\tilde{y}, \tilde{y}\circ\tilde{x}, \tilde{x}^D \circ \tilde{y}) \end{cases} \Rightarrow$$

$$\Rightarrow (\tilde{y}^D \circ \tilde{x}, \tilde{x}\circ\tilde{y}, \tilde{x}^D \circ \tilde{y}) = (\tilde{x}^D \circ \tilde{y}, \tilde{x}\circ\tilde{y}, \tilde{y}^D \circ \tilde{x}).$$

Согласно  $P_2$  имеем:

$$\begin{cases} (\tilde{x}^D \circ y, \tilde{x} \circ y, \tilde{y}^D \circ x) \\ (\tilde{x}, (\tilde{y} \circ x)^D, \tilde{x}^D) \end{cases} \implies \begin{cases} (\tilde{x}^D \circ y, \tilde{x} \circ y, \tilde{y}^D \circ x) \\ (\tilde{x} \circ y, \tilde{y}^D \circ x, \tilde{x}^D \circ y) = (\tilde{x}^D \circ y, \tilde{y}^D \circ x, \tilde{x} \circ y) \end{cases} \implies \\ \implies \tilde{x} \circ y = \tilde{y}^D \circ x.$$

Аналогично, на основе  $P_7$ ,  $P_2$ ,  $P_4$  и леммы I:

$$\begin{cases} (\tilde{y}, (\tilde{x} \circ y)^D, \tilde{y}^D) = (\tilde{y}^D, (\tilde{x} \circ y)^D, \tilde{y}) \\ (\tilde{x}, (\tilde{y} \circ x)^D, \tilde{x}^D) \end{cases} \implies \begin{cases} (\tilde{y}^D \circ x, \tilde{x}^D \circ y, \tilde{y} \circ x) \\ (\tilde{x} \circ y, \tilde{y}^D \circ x, \tilde{x}^D \circ y) \end{cases} \implies \\ \implies (\tilde{x} \circ y, \tilde{x}^D \circ y, \tilde{y} \circ x);$$

$$\begin{cases} (\tilde{x} \circ y, \tilde{x}^D \circ y, \tilde{y} \circ x) \\ (\tilde{x}, \tilde{y} \circ x, \tilde{x}^D) \end{cases} \implies \begin{cases} (\tilde{x} \circ y, \tilde{x}^D \circ y, \tilde{y} \circ x) \\ (\tilde{x} \circ y, \tilde{y} \circ x, \tilde{x}^D \circ y) \end{cases} \implies \tilde{x}^D \circ y = \tilde{x} \circ x.$$

Теперь пусть  $\tilde{x} \circ y = \tilde{y} \circ x$ , тогда

$$(\tilde{x} \circ y, \tilde{y}^D \circ x, \tilde{x}^D \circ y) = (\tilde{y} \circ x, \tilde{y}^D \circ x, \tilde{x}^D \circ y)$$

и, согласно  $P_7$ , можем написать:

$$\begin{cases} (\tilde{y} \circ x, \tilde{y}^D \circ x, \tilde{x}^D \circ y) \\ (\tilde{y} \circ x, \tilde{x}^D \circ y, \tilde{y}^D \circ x) \end{cases} \implies \tilde{x}^D \circ y = \tilde{y}^D \circ x.$$

Мы видим, что  $\varphi$  на  $\mathcal{P}(\mathcal{Q})$  не является антисимметричным и, следовательно, не является отношением частичного порядка.

Теорема 5. На  $\mathcal{P}(\mathcal{Q})$  отношение  $\varphi$  таково, что

$$(1) \quad (\tilde{x} \varphi \tilde{x}^D) \quad \text{и} \quad (\tilde{x}^D \varphi \tilde{x}),$$

$$(2) \quad (\tilde{x} \varphi \tilde{y}) \iff (\tilde{x}^D \varphi \tilde{y}) \iff (\tilde{x}^D \varphi y^D) \iff (\tilde{x} \varphi \tilde{y}^D).$$

Доказательство.

(I). Так как операция  $(\cdot)^D$  является инволюцией, то

$$(\tilde{x}^D \tilde{x}^D) \iff \begin{cases} (\tilde{x}^D, \tilde{x} \circ x, (\tilde{x}^D)^D) \\ (\tilde{x}^D, \tilde{x}^D \circ x, (\tilde{x}^D)^D) \end{cases} \implies \begin{cases} (\tilde{x}^D, \tilde{x}, \tilde{x}) \\ (\tilde{x}^D, \tilde{x}^D, \tilde{x}) \end{cases}$$

Чтобы показать, что  $(\tilde{x}^D, \tilde{x}, \tilde{x})$  имеет место, заметим, что

$(\tilde{x}^D \cap \tilde{x}) \cup \tilde{x} = \tilde{x}$  и  $(\tilde{x}^D \cup \tilde{x}) \cap \tilde{x} = \tilde{x}$ . Согласно  $P_7$   $(\tilde{x}^D, \tilde{x}, \tilde{x}) \iff (\tilde{x}^D \tilde{x}^D, \tilde{x})$ . Т.о., имеем  $(\tilde{x}^D \tilde{x}^D)$ . Чтобы показать, что  $(\tilde{x}^D \varphi \tilde{x})$ , должны иметь  $(\tilde{x}, \tilde{x}^D \circ x, \tilde{x}^D) = (\tilde{x}, \tilde{x}^D, \tilde{x}^D)$  и  $(\tilde{x}, (\tilde{x}^D \circ x)^D, \tilde{x}^D) = (\tilde{x}, (\tilde{x}^D)^D, \tilde{x}^D)$ , что опять вытекает из  $P_7$ .

(2).

$$(\tilde{x}^D \tilde{y}) = \begin{cases} (\tilde{y}, \tilde{x} \circ y, \tilde{y}^D) \\ (\tilde{y}, \tilde{x}^D \circ y, \tilde{y}^D) \end{cases}$$

т.к.  $(\tilde{x}^D)^D = \tilde{x}$ , то  $(\tilde{y}, \tilde{x} \circ y, \tilde{y}^D) \implies (\tilde{y}, (\tilde{x}^D)^D, \tilde{y}^D)$ .

Однако  $\begin{cases} (\tilde{y}, \tilde{x}^D \circ y, \tilde{y}^D) \\ (\tilde{y}, (\tilde{x}^D)^D \circ y, \tilde{y}^D) \end{cases} \iff (\tilde{x}^D \varphi \tilde{y})$ .

Чтобы имело место  $(\tilde{x}^D \varphi \tilde{y}^D)$ , должны иметь  $(\tilde{y}^D, \tilde{x}^D \circ y, (\tilde{y}^D)^D)$  и  $(\tilde{y}^D, (\tilde{x}^D)^D \circ y, (\tilde{y}^D)^D)$ , которые следуют из  $(\tilde{x}^D \tilde{y})$ :

$$(\tilde{y}, \tilde{x}^D \circ y, \tilde{y}^D) \implies (\tilde{y}^D, \tilde{x}^D \circ y, \tilde{y}) \implies (\tilde{y}^D, \tilde{x}^D \circ y, (\tilde{y}^D)^D)$$

и  $(\tilde{y}, \tilde{x} \circ y, \tilde{y}^D) \implies (\tilde{y}^D, \tilde{x} \circ y, \tilde{y}) \implies (\tilde{y}^D, (\tilde{x}^D)^D \circ y, (\tilde{y}^D)^D)$ .

Теорема 6. Если  $\tilde{x}, \tilde{y} \in \mathcal{P}(\mathcal{Q})$  и  $(\tilde{x}^D \tilde{y})$ , то  $(\tilde{x}^D(\tilde{y}^D; \tilde{y}))$  и  $(\tilde{x}^D(\tilde{y}; \tilde{y}^D))$ .

Доказательство. Имеем /1/:

$$(\tilde{y}^D; \tilde{y}) = \tilde{y}_{>\frac{1}{2}}^c \cup \tilde{y}^D, \quad (\tilde{y}; \tilde{y}^D) = \tilde{y}_{<\frac{1}{2}}^c \cup \tilde{y}.$$

$$(\tilde{\mathcal{X}}\varphi\tilde{y}) \iff \begin{cases} (\tilde{y}, \tilde{x}\circ y, \tilde{y}^D) \\ (\tilde{y}, \tilde{x}^D\circ y, \tilde{y}^D) \end{cases} \Rightarrow \begin{cases} \tilde{y}\cap\tilde{y}^D = \tilde{x}\circ y = \tilde{y}\cup\tilde{y}^D \\ \tilde{y}\cap\tilde{y}^D = \tilde{x}^D\circ y = \tilde{y}\cup\tilde{y}^D \end{cases}$$

Далее,

$$\begin{aligned} (\tilde{\mathcal{X}}\varphi(\tilde{y}^D; \tilde{y})) &= \begin{cases} ((y_{>1/2}^c \cup \tilde{y}^D), \tilde{x}\circ(y_{>1/2}^c \cup \tilde{y}^D), (y_{>1/2}^c \cup \tilde{y}^D)^D) \\ ((y_{>1/2}^c \cup \tilde{y}^D), \tilde{x}^D\circ(y_{>1/2}^c \cup \tilde{y}^D), (y_{>1/2}^c \cup \tilde{y}^D)^D) \end{cases} \Rightarrow \\ &\Rightarrow ((y_{>1/2}^c \cup \tilde{y}^D), \tilde{x}, \tilde{y}_{>1/2}) \Rightarrow \begin{cases} \tilde{y}_{>1/2} \cap (y_{>1/2}^c \cup \tilde{y}^D) = \tilde{x} = \tilde{y}_{>1/2} \cup (y_{>1/2}^c \cup \tilde{y}^D) \\ \tilde{y}_{>1/2} \cap (y_{>1/2}^c \cup \tilde{y}^D) = \tilde{x}^D = \tilde{y}_{>1/2} \cup (y_{>1/2}^c \cup \tilde{y}^D) \end{cases} \Rightarrow \\ &\Rightarrow \begin{cases} \tilde{y}_{>1/2} \cap y^D = \tilde{x} = \tilde{y}_{>1/2} \cup \tilde{y}^D \cup y_{>1/2}^c \\ \tilde{y}_{>1/2} \cap \tilde{y}^D = \tilde{x}^D = \tilde{y}_{>1/2} \cup \tilde{y}^D \cup y_{>1/2}^c \end{cases} \Rightarrow \begin{cases} \tilde{y}_{<1/2}^D = \tilde{x} = \tilde{y}_{>1/2} \cup y_{>1/2}^c \\ \tilde{y}_{<1/2}^D = \tilde{x}^D = \tilde{y}_{>1/2} \cup \tilde{y}_{>1/2}^c \end{cases} \end{aligned}$$

Это выражение может быть получено из  $(\tilde{\mathcal{X}}\varphi\tilde{y})$ :

$$\begin{cases} \tilde{y}\cap y^D = \tilde{x}\circ y = \tilde{y}\cup\tilde{y}^D \\ \tilde{y}\cap\tilde{y}^D = \tilde{x}^D\circ y = \tilde{y}\cup\tilde{y}^D \end{cases} \Rightarrow \begin{cases} \tilde{y}_{>1/2} \cap \tilde{y}^D = \tilde{x}\circ y \cup \tilde{x}\circ y^D = \tilde{y}_{>1/2} \cup \tilde{y}^D \cup y_{>1/2}^c \\ \tilde{y}_{>1/2} \cap \tilde{y}^D = \tilde{x}^D\circ y \cup \tilde{x}^D\circ y^D = \tilde{y}_{>1/2} \cup \tilde{y}^D \cup y_{>1/2}^c \end{cases}$$

т.е.  $\tilde{y}_{>1/2} \cap y^D = \tilde{y}\cap y^D$ ,  $\tilde{y}\cup\tilde{y}^D = \tilde{y}_{>1/2} \cup \tilde{y}^D$  и  
 $y^c \subseteq y_{>1/2}^c$  (а тем более  $\tilde{x}\circ y^c$  и  $\tilde{x}^D\circ y^c$   
 являются подмножествами  $y_{>1/2}^c$ ). Т.о.,  $(\tilde{\mathcal{X}}\varphi(\tilde{y}^D; \tilde{y}))$ .

$$(\tilde{\mathcal{X}}\varphi(\tilde{y}; \tilde{y}^D)) \Rightarrow \begin{cases} ((y_{\leq 1/2}^c \cup \tilde{y}), \tilde{x}\circ(y\cup y_{\leq 1/2}^c), (y_{\leq 1/2}^c \cup \tilde{y})^D) \\ ((y_{\leq 1/2}^c \cup \tilde{y}), \tilde{x}^D\circ(y\cup y_{\leq 1/2}^c), (y_{\leq 1/2}^c \cup \tilde{y})^D) \end{cases} \Rightarrow$$

$$\begin{cases} ((y_{\leq 1/2}^c \cup \tilde{y}), \tilde{x}, \tilde{y}_{>1/2}) \Rightarrow \begin{cases} \tilde{y}_{\geq 1/2} \cap (y_{\leq 1/2}^c \cup \tilde{y}) = \tilde{x} = \tilde{y}_{\geq 1/2} \cup (y_{\leq 1/2}^c \cup \tilde{y}) \\ \tilde{y}_{\geq 1/2} \cap (y_{\leq 1/2}^c \cup \tilde{y}) = \tilde{x}^D = \tilde{y}_{\geq 1/2} \cup (y_{\leq 1/2}^c \cup \tilde{y}) \end{cases} \Rightarrow \\ ((y_{\leq 1/2}^c \cup \tilde{y}), \tilde{x}^D, \tilde{y}_{>1/2}) \Rightarrow \begin{cases} \tilde{y}_{\geq 1/2} \cap (y_{\leq 1/2}^c \cup \tilde{y}) = \tilde{x}^D = \tilde{y}_{\geq 1/2} \cup (y_{\leq 1/2}^c \cup \tilde{y}) \\ \tilde{y}_{\geq 1/2} \cap (y_{\leq 1/2}^c \cup \tilde{y}) = \tilde{x} = \tilde{y}_{\geq 1/2} \cup (y_{\leq 1/2}^c \cup \tilde{y}) \end{cases} \Rightarrow \end{cases}$$

$$\Rightarrow \begin{cases} \tilde{y}^D \cap \tilde{y} \subseteq \tilde{x} \subseteq \tilde{y} \cup \tilde{y}^D \cup y^c \\ y_{\geq \frac{1}{2}} \cap \tilde{y} \subseteq \tilde{x}^D \subseteq \tilde{y} \cup \tilde{y}^D \cup y^c \end{cases} \Rightarrow \begin{cases} \tilde{y}_{\leq \frac{1}{2}} \subseteq \tilde{x} \subseteq y_{\geq \frac{1}{2}} \cup y^c \\ \tilde{y}_{\leq \frac{1}{2}} \subseteq \tilde{x}^D \subseteq \tilde{y}_{\geq \frac{1}{2}} \cup y^c \end{cases}$$

Вернемся к выражению для  $(\tilde{x}\varphi\tilde{y})$ :

$$\begin{cases} \tilde{y} \cap \tilde{y}^D \subseteq \tilde{x} \circ y \subseteq \tilde{y} \cup \tilde{y}^D \\ \tilde{y} \cap \tilde{y}^D \subseteq \tilde{x}^D \circ y \subseteq \tilde{y} \cup \tilde{y}^D \end{cases} \Rightarrow \begin{cases} \tilde{y}_{\geq \frac{1}{2}} \cap \tilde{y}^D \subseteq \tilde{x} \circ y \cup \tilde{x}^D \circ y \subseteq \tilde{y} \cup \tilde{y}^D \cup y^c \\ \tilde{y}_{\geq \frac{1}{2}} \cap \tilde{y}^D \subseteq \tilde{x}^D \circ y \cup \tilde{x} \circ y^c \subseteq \tilde{y} \cup \tilde{y}^D \cup y^c \end{cases}$$

т.к.  $\tilde{y}_{\geq \frac{1}{2}} \cap \tilde{y}^D = \tilde{y} \cap \tilde{y}^D$ ,  $\tilde{y} \cup \tilde{y}^D = \tilde{y} \cup \tilde{y}_{\geq \frac{1}{2}}$ ,  $y^c \subseteq y_{\leq \frac{1}{2}}$  (а, следова-  
тельно, и  $\tilde{x} \circ \tilde{y}^c \subseteq y_{\leq \frac{1}{2}}$ ,  $\tilde{x}^D \circ y^c \subseteq y_{\leq \frac{1}{2}}$ ).  
Т.о.,  $(\tilde{x}\varphi\tilde{y}) \Rightarrow (\tilde{x}\varphi(\tilde{y}: \tilde{y}^D))$ .

На  $\mathcal{U}^\sim$  можно определить отношение  $E$  такое, что  $(\tilde{x}E\tilde{y})$ , если  $\tilde{x}=\tilde{y}$  или  $\tilde{x}^D=\tilde{y}$ , или  $\tilde{x}=\tilde{y}^D$ .  $E$  на расщепленной степени универсального множества является отношением эквивалентности. Каждый класс эквивалентности состоит из нечеткого подмножества и соответствующего дуаль-  
ного. Если  $\tilde{x}=\tilde{x}^D$ , то класс эквивалентности состоит из одного элемента. Проверим, что  $E$  в действительности является отношением эквивалентности. Рефлексивность и симметрич-  
ность очевидны. Пусть  $(\tilde{x}E\tilde{y})$  и  $(\tilde{y}E\tilde{z})$  и пусть из перво-  
го следует, что  $\tilde{x}=\tilde{y}^D$ ; если второе означает, что  
 $\tilde{x}=\tilde{z}$ , то  $\tilde{x}=\tilde{z}^D$  (а  $\tilde{x}^D=\tilde{z}$ ) ; если  $\tilde{y}^D=\tilde{z}$   
(или  $\tilde{y}=\tilde{z}^D$ ), то  $\tilde{x}=\tilde{z}$ . Аналогично проверяются и дру-  
гие случаи. Т.о.,

$$\{(\tilde{x}E\tilde{y}) \text{ и } (\tilde{y}E\tilde{z})\} \Rightarrow \{\tilde{x}=\tilde{z}\}, \text{ или } \tilde{x}=\tilde{z}^D,$$

$$\text{или } \tilde{x}^D=\tilde{z}\} \Rightarrow \{(\tilde{x}E\tilde{z})\}.$$

Транзитивность  $E$  доказана.

Подмножество  $\mathcal{P}^*(\Omega)$ , состоящее из некоторого элемента и соответствующего дуального, будем называть дуальной парой. Согласно теореме 5, если один элемент дуальной пары более нечеткий, чем элемент другой дуальной пары, тогда любой элемент первой пары более нечеткий, чем любой элемент второй пары. Т.о., имеет смысл ввести определение нечеткости дуальной пары.

Определение 2. Пусть  $\mathcal{L}$  — множество дуальных пар с компонентами из  $\mathcal{P}^*(\Omega)$ .

Определим на  $\mathcal{L}$  отношение  $\Phi$  такое, что если для  $u^\sim$  и  $v^\sim \in \mathcal{L}$  ( $u^\sim \Phi v^\sim$ ), то  $(\tilde{x} \varphi \tilde{y})$  для  $\forall \tilde{x} \in u^\sim$  и  $\forall \tilde{y} \in v^\sim$ .

Если  $(u^\sim \Phi v^\sim)$ , то будем говорить, что дуальная пара  $u^\sim$  более нечеткая, чем пара  $v^\sim$ .

Теорема 7. Отношение  $\Phi$  на множестве  $\mathcal{L}$  дуальных пар, компоненты которых принадлежат  $\mathcal{P}^*(\Omega)$ , является частичным порядком.

Доказательство. Мы должны показать, что  $\Phi$  рефлексивно, антисимметрично, транзитивно.

- (1) Рефлексивность означает  $(u^\sim \Phi u^\sim)$ ; рассмотрим элемент  $\tilde{x} \in u^\sim$ , т.к.  $(\tilde{x} \varphi \tilde{x})$ , то  $(u^\sim \Phi u^\sim)$ .
- (2) Транзитивность означает, что  $(u^\sim \Phi v^\sim)$  и  $(v^\sim \Phi w^\sim) \Rightarrow$   
 $\Rightarrow (u^\sim \Phi w^\sim)$ .  $(u^\sim \Phi v^\sim)$  означает  $(\tilde{x} \varphi \tilde{y})$   
 для всех  $\tilde{x} \in u^\sim$  и всех  $\tilde{y} \in v^\sim$ ;  $(v^\sim \Phi w^\sim)$   
 означает  $(\tilde{y} \varphi \tilde{z})$  для всех  $\tilde{y} \in v^\sim$  и  $\tilde{z} \in w^\sim$ . Согласно

теореме 2  $(\tilde{x}\varphi\tilde{y})$  и  $(\tilde{y}\varphi\tilde{z}) \Rightarrow (\tilde{x}\varphi\tilde{z})$ , следовательно,  
 $(u^\sim\varphi v^\sim)$ .

(3) Антисимметричность означает  $(u^\sim\varphi v^\sim)$  и  $(v^\sim\varphi u^\sim) \Rightarrow u^\sim=v^\sim$ .

Имеем:

$(u^\sim\varphi v^\sim) \Rightarrow$  если  $\tilde{x} \in u^\sim$  и  $\tilde{y} \in v^\sim$  то  $(\tilde{x}\varphi\tilde{y})$ ,

$(v^\sim\varphi u^\sim) \Rightarrow$  если  $\tilde{x} \in u^\sim$  и  $\tilde{y} \in v$ , то  $(\tilde{y}\varphi\tilde{x})$ .

Согласно теореме I будем иметь  $(\tilde{x}\varphi\tilde{y})$  и  $(\tilde{y}\varphi\tilde{x})$ ,  
 что означает или  $\tilde{x}=\tilde{y}$ , или  $\tilde{x}=\tilde{y}^D$  /6/; следовательно,  
 $u^\sim=v^\sim$ .

Поступила 14.II.1990

Проблемная лабора-  
 тория физической  
 кибернетики

### Литература

1. Т.Гачечиладзе, Т.Манджапарашвили. О нечетких множествах.  
Труды ТГУ, сер. киб. и прикл. мат., 279, № 9, 235, 1988.
2. Г.Биркгоф. Теория решеток. М., 1984.
3. A.De Luca, S.Termini. J.Math. Anal.Appl. 40, 373 (1972).
4. A.De Luca, S.Termini. Inf. and Control, 24, 55 (1974).
5. R.R.Yager. Inf. and Control, 44, 236 (1980).

თ. გახეჩილაძე, თ. მანჯაფარაშვილი

გვარი ელემენტი და არამკაფიონობა

რ ე გ ი ე მ ც

არამკაფიონ ქვესიმრავლება მესერში შემოფანილია გუალური ერემენტის ცოცხა, რომელის საფუძვლები ძანაილობა მიმართება: "X არამკულ არამკაფიონ ვიზრე Y", შესწავლილია ამ მიმართების ცვისებები.

T.Gachechiladze, T.Manjaparashvili

### THE DUAL ELEMENT AND FUZZINERS

#### Summary

The notion of dual element is introduced into the lattice of fuzzy subsets. On the basis of this notion the relationship "X is no less fuzzy than Y" is considered. The properties of this relationship are studied.

## СОДЕРЖАНИЕ

1. О.И.Галицкая. Программы выявления экспертных знаний и диагностики в системе диспансерного наблюдения кардиологических больных.....	5
2. Д.Ш.Девадзе, Н.Г.Хомасуридзе. Некоторые задачи оптимального управления, связанные с упругим равновесием тел, при чистом сдвиге.....	12
3. Н.Р.Николадзе, К.Т.Микеладзе. Двухфакторная модель экономического роста.....	24
4. Т.Д.Хведелидзе. Численные методы нахождения вероятностных характеристик поведения автоматов при трех типах реакций стационарной случайной среды.....	41
5. К.Т.Микеладзе, Н.Р.Николадзе. Алгоритм решения двухфакторной модели экономического роста.....	56
6. М.И.Кезерашвили. Об алгоритме решения одной граничной задачи геометрически нелинейной теории.....	68
7. Д.Г.Перадзе. Уплотняющий оператор одной системы уравнений и ее разрешимость.....	88
8. Т.Г.Гачечиладзе, Т.В.Манджапарашвили. Конечные нечеткие подмножества и энтропия.....	101
9. Т.Г.Гачечиладзе, Т.В.Манджапарашвили. Дуальный элемент и нечеткость.....	107

८०६०१०८०

1.	ო. ცალიცეკვაბა . ეს პერიფერიული ცოდნის და გიანმოსფიქციას გამოვ- დენის პრიმარები კარიბითობისაზე ავადმყოფების გისპანსე- რიული დაკვირვების სისცემაში . . . . .	11
2.	ღ. გევაძე, ნ. ხომალიძე, სუფრა ძერის მროს სხვულთა გრე- კად ცონასწორი გენერალური სპეციალური მართვის ტოლიერით ამოცანა . . . . .	23
3.	ნ. წილაძე, კ. მიტელაძე, ეკონომიკური ბრძის თრუაქცორია- ნი რიბელი . . . . .	40
4.	ფ. ხვევავლიძე . საბო ფიბის რეაქციის მქონე შემთხვევით სფა- ციონისაუდ ტარეტობი ავფომიფების ქცევის აღმართური მახასია- თებლების გამოვლის რიცხვებით მეოდები . . . . .	53
5.	კ. ბეგერაძე, ნ. ნიკოლაძე, ეკონომიკური ბრძის თრუაქცორიანი მოველის არობასწის აღმოჩითო . . . . .	66
6.	მ. კუტერაშვილი, ტეომეფრისულად არაჩრდილი თეორიის ერთი სასა- მისართო ამოცანის არობასწის აღმოჩითოს შესახებ . . . . .	86
7.	კ. ფრესაძე . განვითარებას ერთი სისცემის გამკვირვების თა- რაფორი და მისი ამობასწავობა . . . . .	99
8.	თ. გაჩჩერილაძე, თ. მანჯაჭარაშვილი ; სასრული არამკაფიო ქვე- სიმრიცხვები და ენვირონმენტი . . . . .	106
9.	თ. გაჩჩერილაძე, თ. მანჯაჭარაშვილი . ღულური ელემენტი და არამკაფიობა . . . . .	118

C O N T E N T S

1. O.Galitskaya.	Programs for bringing expert knowledge in the system of dispensarisation of cardiological patients . . . . .	11
2. D.Devadze, N.Khomasuridze.	Some problems of optimal control connected with elastic equilibrium of bodies under pure bending . . . . .	23
3. N.Nikoladze, K.Mikeladze.	A two-factor model of economic growth . . . . .	40
4. T.Khvedelidze.	Numerical methods for calculating the probability characteristics of the behaviour of automata in the reaction types of stationary random media . . . . .	53
5. K.Mikeladze, N.Nikoladze.	An algorithm of the solution of a two-factor model of economic expansion . . . . .	67
6. M.Kezerashvili.	On an algorithm of the solution of one boundary problem of geometrically non-linear theory . . . . .	87
7. D.Peradze.	Densifying operator for one system of equations and its solvability . . . . .	100
8. T.Gachechiladze, T.Manjaparashvili.	Finite fuzzy subsets and entropy . . . . .	106
9. T.Gachechiladze, T.Manjaparashvili.	The dual element and fuzzinbers . . . . .	118

Редактор издательства Л. Абуашвили

Подписано в печать 5.11.90

Бумага 60 х 84

Усл.печ.л. 7,75 Уч.-издат.л. 4,4

Тираж 300 Заказ 615

Цена 90 коп.

Издательство Тбилисского университета,

380028, Тбилиси, пр. И. Чавчавадзе, 14.

თბილისის უნივერსიტეტის გამოცემობა,

თბილისი, 380028, ი. ჭავჭავაძის 37 სასტაცია, 14.

Типография Тбилисского университета,

380028, Тбилиси, пр. И. Чавчавадзе, 1.

თბილისის უნივერსიტეტის სამართლა,

თბილისი, 380028, ი. ჭავჭავაძის 37 სასტაცია, 1.

1  
8/3/15

